

# ECUACIONES DIFERENCIALES ORDINARIAS

$$x'(t) = 2x(t) \rightarrow x(t) = e^{2t} \text{ (porque } x'(t) = 2e^{2t} = 2x(t))$$

$x(t) = 7e^{2t}$  también es solución

$x(t) = ae^{2t}$   $a \in \mathbb{R}$  también es solución

¿Qué se necesita para determinar "a"?

Por ejemplo, si pedimos  $x(0) = 8 \Rightarrow 8 = x(0) = a \cdot e^{2 \cdot 0} = a \Rightarrow a = 8$

$\left. \begin{array}{l} x'(t) = 2x(t) \\ x(0) = 8 \end{array} \right\}$  Problema de VALORES INICIALES (PVI)

$\rightarrow$  única solución  $x(t) = 8e^{2t}$

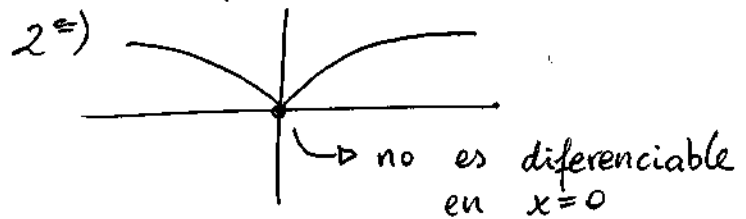
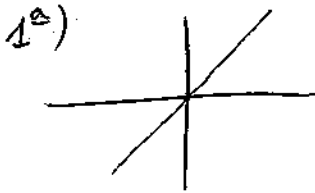
Otro ejemplo:

$$x'(t) = 3(x(t))^{2/3}$$

$\left. \begin{array}{l} x(t) = t^3 \\ x(t) = 0 \end{array} \right\}$  soluciones

$\left. \begin{array}{l} x'(t) = 3(x(t))^{2/3} \\ x(0) = 0 \end{array} \right\}$  tiene 2 soluciones distintas

En ambos casos, la ecuación es del tipo  $x'(t) = f(x(t))$



Ejemplo:  $x' = \lambda x$  ( $\leadsto x(t) = ae^{\lambda t}$ )

Crecimiento de una población

(tasa de crecimiento)  $\lambda =$  natalidad - mortalidad  
 $\uparrow$   
 típicamente

$$\frac{\Delta x}{\Delta t} \approx x'(t) = \alpha x$$

$$\frac{\frac{\Delta x}{x}}{\Delta t} \xrightarrow{\lim \Delta t \rightarrow 0} \frac{x'}{x}$$

¿Cómo se puede modificar para tener en cuenta los recursos que son limitados?

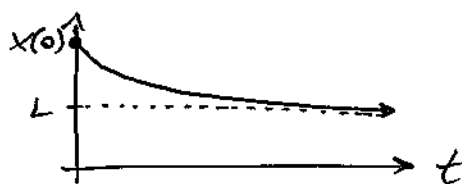
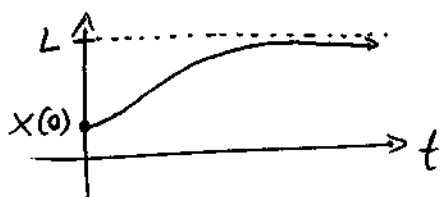
$$x'(t) = \underbrace{a \left(1 - \frac{x(t)}{L}\right)}_{\text{"}\lambda\text{"}} x(t)$$

cuando  $x \ll L \rightarrow \text{límite}$   
 $x' \approx \alpha x$

cuando  $x \approx L$

$$a \left(1 - \frac{x(t)}{L}\right) \approx 0$$

Veremos:



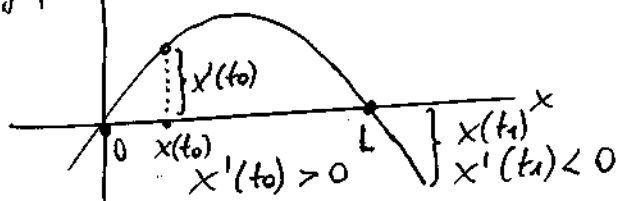
Eso se puede ver sin encontrar la solución

$$x' = f(x)$$

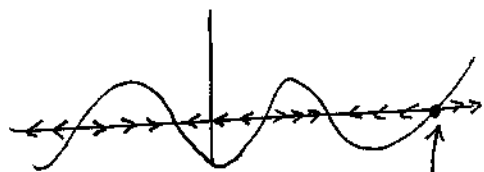
$$y = f(x) = x'$$

$$f(x) = a \left(1 - \frac{x}{L}\right) x \quad a > 0$$

→ dibujo de la derivada



Para ver el comportamiento, no necesitamos hallar las soluciones ( $x' = f(x)$ )

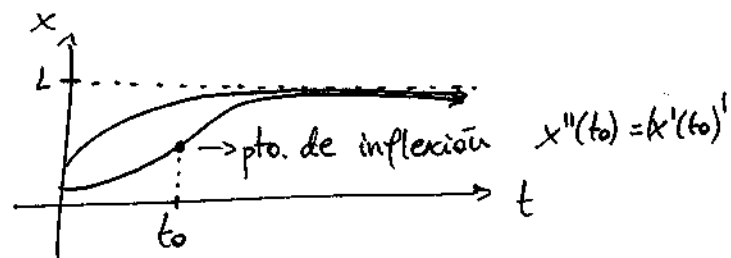
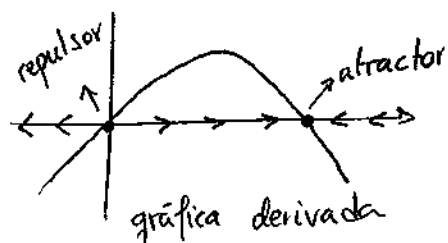


$$r \quad x(t) = r \quad x'(t) = 0 = f(r) = f(x(t))$$

Esos puntos son puntos de equilibrio (si la función empieza ahí se queda ahí). Pueden ser repulsores (inestables) o atractores (estables).

$$y' = a \left(1 - \frac{x}{L}\right) x$$

$$x' = a \left(1 - \frac{x}{L}\right) x$$



Veremos que estas son los posibles aspectos de las funciones que cumplen la ecuación diferencial

Ejercicio (resuelto próximamente)

Si consideramos el PVI:  $x' = a \left(1 - \frac{x}{L}\right) x$   $x(0) = x_0$   $0 < x_0 < L$   
¿para qué  $x_0$  se da  $\smile$  y  $\frown$ ?

Ejemplo:  $y' = xy$  ( $y'(x) = xy(x)$ )

Manipulaciones sin justificar (de momento)

$$\frac{dy}{dx} = xy \leadsto \frac{dy}{y} = x dx \leadsto \int \frac{dy}{y} = \int x dx \leadsto \ln(y) = \frac{x^2}{2} + c$$

$$\leadsto |y| = e^{\frac{x^2}{2} + c} = e^c \cdot e^{\frac{x^2}{2}} \leadsto y = \pm e^c \cdot e^{\frac{x^2}{2}} = K e^{\frac{x^2}{2}}$$

Esto se conoce como "método de separación de variables".

Ejercicio: Resolver  $x' = a \left(1 - \frac{x}{L}\right) x$  (resultado final próximamente)

En General:  $\frac{dy}{dx} = \frac{f(x)}{g(y)}$  (P)

PROPOSICIÓN: Sea  $F(x)$  una primitiva de  $f(x)$ ,  $G(y)$  una primitiva de  $g(y)$  (e.d.  $\frac{dF(x)}{dx} = f(x) \wedge \frac{dG(y)}{dy} = g(y)$ ).  
Entonces las soluciones de P cumplen:  $G(y(x)) = F(x) + C$

razón:

$$\frac{d}{dx}(G(y(x))) = \frac{dG}{dy}(y(x)) \frac{dy}{dx}(x) \stackrel{G'=g \text{ y resuelve P}}{=} g(y(x)) \cdot \frac{f(x)}{g(y(x))} = f(x) = \frac{dF(x)}{dx}(x)$$

Es decir,  $\frac{d}{dx}(G(y(x)) - F(x)) = 0 \Rightarrow G(y(x)) - F(x) = \text{constante}$

## COMENTARIOS

① Deberíamos haber supuesto algo sobre  $f(x)$  y  $g(y)$  para poder hablar de primitivas suyas, por ejemplo  $f(x), g(y)$  continuas. Eso nos asegura que existen  $F$  y  $G$  y son  $C^1$  (donde estén definidas).

②  $h'(x) = 0 \Rightarrow h$  es constante en cada intervalo en el que está definida (si  $h$  está definida en todo  $\mathbb{R}$ ,  $h$  es const. en todo  $\mathbb{R}$ )

Significado geométrico de  $y' = f(x, y)$  ( $y'(x) = f(x, y(x))$ ,  $f$  dada)

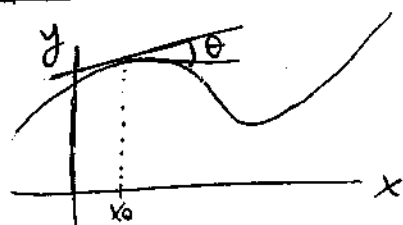
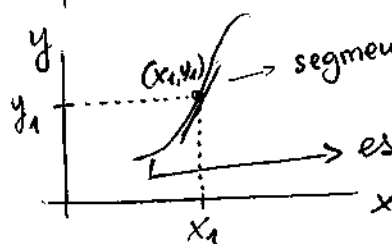


gráfico  $y = y(x)$   
 $y'(x_0) = \tan \theta =$  pendiente a la recta tangente al gráfico de  $y(x)$  en  $(x_0, y(x_0))$



segmento con pendiente  $f(x_1, y_1)$

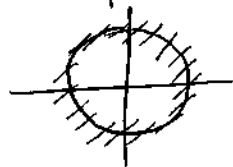
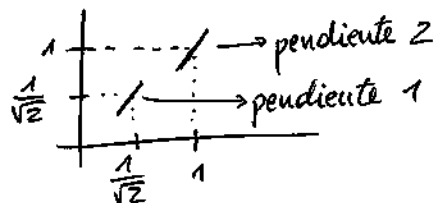
esto no puede ser una solución de  $y' = f(x, y)$  con  $y(x_1) = y_1$

CAMPO DE PENDIENTES  $\rightarrow$  ver esas pendientes para muchos puntos

Ejemplo:  $x' = t^2 + x^2$  (e.d.  $x'(t) = t^2 + x(t)^2$ )

$$f(t, x) = t^2 + x^2$$

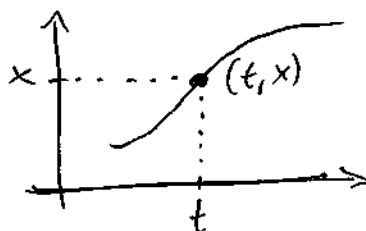
Obs: En todos los puntos  $(t, x)$  de la circunferencia unidad la pendiente es 1.



$t^2 + x^2 = 1 \rightarrow$  Isocline (misma inclinación)

Para  $y'(x) = f(x, y(x))$  Isocline  $f(x, y(x)) = c$

Ejemplo:  $x' = t^2 + x^2$  (P)



La pendiente de la recta tangente a la solución tiene pendiente  $t^2 + x^2$

## ISOCLINAS

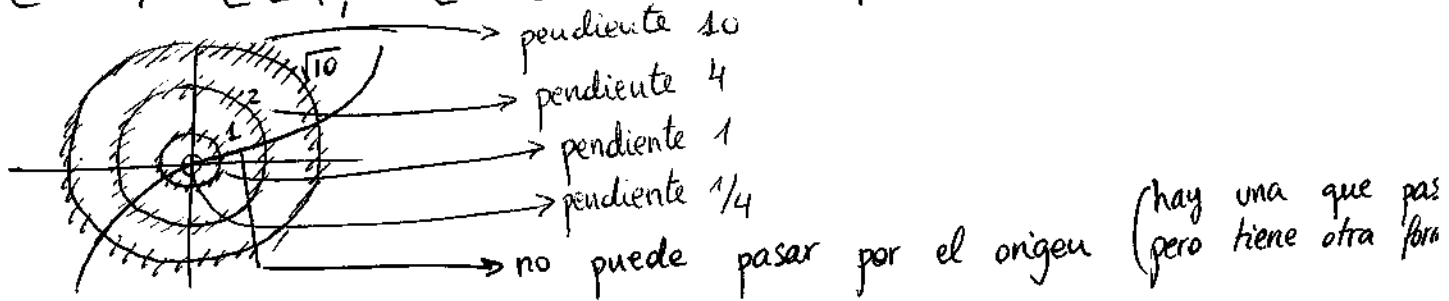
$$\{(t, x) : t^2 + x^2 = c\} := \text{Iso}(c)$$

Observación:  $\text{Iso}(c) = \emptyset$  si  $c < 0$

- $\text{Iso}(0) = \{(0,0)\}$

- $\text{Iso}(c) =$  circunferencia de radio  $\sqrt{c}$  si  $c > 0$ .

$$c = 1, \quad c = 4, \quad c = 10, \quad c = 1/4$$



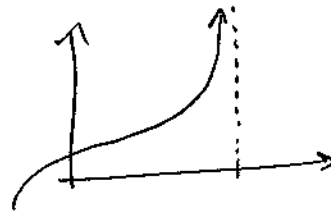
Recuerda:  $x' = t^2 + x^2$  (P)

Una solución de P tiene que ser tangente a la pendiente marcada en cada punto por el que pasa

Parece que  $x(t) \rightarrow \infty$ , ¿pero con asíntota o sin asíntota?

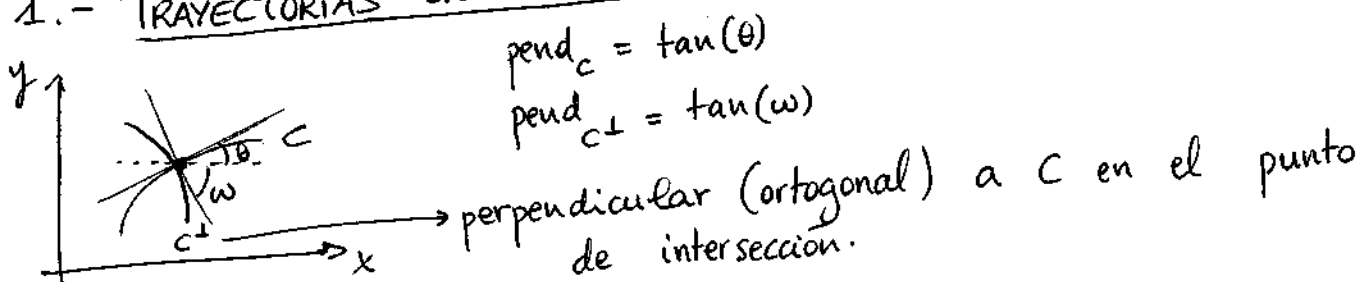


ó



## EDOs Y PROBLEMAS GEOMÉTRICOS

### 1.- TRAYECTORIAS ORTOGONALES

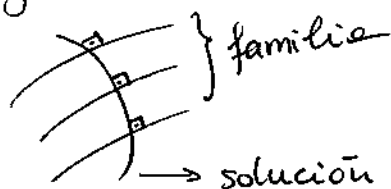


$$\omega = \theta - \frac{\pi}{2} \quad (\omega \text{ es negativo})$$

$$\tan(\omega) = \frac{\sin(\theta - \pi/2)}{\cos(\theta - \pi/2)} = \frac{-\cos(\theta)}{\sin(\theta)} = \frac{-1}{\tan(\theta)}$$

Es decir,  $\boxed{\text{pend}_C \cdot \text{pend}_{C^\perp} = -1}$

Objetivo: Dada una familia de curvas, encontrar una que sea ortogonal a todas las de la familia en sus puntos de corte



Vamos a suponer que la familia original satisface una EDO  $y' = f(x, y)$

Buscamos una EDO para las ortogonales  
pendiente de  $C^\perp$  en  $(x, y)$ ?  $\text{pend}_{C^\perp} = \frac{-1}{\text{pend}_C} = \frac{-1}{f(x, y)}$

Si  $C^\perp$  está dada por una función  $y = y(x)$ :

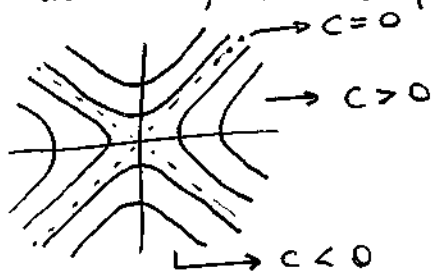
$$(x, y) = (x, y(x))$$

$$y'(x) = \text{pend}_{C^\perp} = \frac{-1}{f(x, y)}$$

EDO familia original	EDO trayectoria ortogonal
$y' = f(x, y)$	$y' = \frac{-1}{f(x, y)}$

Ejemplo: Familia  $x^2 - y^2 = c$  (hipérbolas) ( $c \neq 0$ )

Para cada  $c$ , eso define  $y$  (implícitamente) en función de  $x$ .



1er paso: Encontrar una EDO que cumplan esas curvas

$$x^2 - (y(x))^2 = c \xrightarrow{\text{derivamos}} 2x - 2y \cdot y' = 0$$

Es decir,  $\boxed{y' = \frac{x}{y} \equiv f(x, y)}$

2º paso: EDO para las trayectorias ortogonales

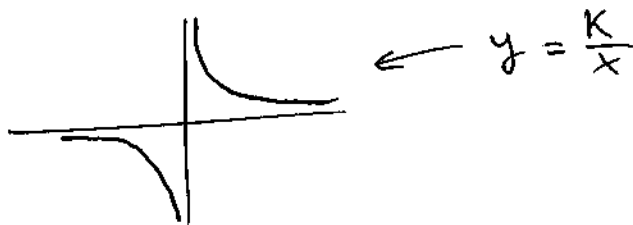
$$y' = \frac{-1}{f(x, y)} = \frac{-y}{x} \Rightarrow \boxed{y' = -\frac{y}{x}}$$

3er paso: Resolver la EDO del paso 2

$$y' = \frac{-y}{x} = \frac{dy}{dx} \xrightarrow{\text{separación variables}} \frac{dy}{y} = \frac{-dx}{x} \rightarrow \text{integrar}$$

$$\Rightarrow \ln|y| = -\ln|x| + c \Rightarrow |y| = \frac{e^c}{|x|} \text{ ó } |xy| = e^c$$

Es decir,  $|xy = k|$   $k = e^c$  ó  $k = -e^c$



Preguntas anteriores:  $x' = a\left(1 - \frac{x}{L}\right)x$

$$\int \frac{dx}{\left(1 - \frac{x}{L}\right)x} = \int a dt$$

Vemos que  $\frac{1}{\left(1 - \frac{x}{L}\right)x} = \frac{1}{x} + \frac{1}{1 - \frac{x}{L}}$  después de algún cálculo  
↓  
⇒

$$\Rightarrow \left| \frac{x}{L-x} \right| = e^c \cdot e^{at} \quad \left( k = \begin{matrix} \nearrow e^c \\ \searrow -e^{-c} \end{matrix} \right)$$

$$x(t) = \frac{L k e^{at}}{1 + k e^{at}}$$

Las soluciones son curvas logísticas

$$\begin{cases} x' = a\left(1 - \frac{x}{L}\right)x \\ x(0) = x_0 \end{cases}$$

Sacamos  $k$  sabiendo que  $x(0) = x_0$

$$x(t) = \frac{L x_0 \cdot e^{at}}{L - x_0 + x_0 e^{at}}$$

Falta ver también el posible punto de inflexión:

Reducimos el número de parámetros (quitaremos "a" y "L")

$$① y(t) \stackrel{\text{def.}}{=} \frac{x(t)}{L}$$

$$y'(t) = \frac{x'(t)}{L} = \overset{\nearrow b}{aL} (1-y)y$$

$$② z(t) \stackrel{\text{def.}}{=} y(\alpha t) \text{ con } \alpha \text{ apropiado se consigue que } z' = (1-z)z$$

$$x' = a\left(1 - \frac{x}{L}\right)x \xrightarrow{y(t) = \frac{x(t)}{L}} y' = aL(1-y)y$$

$$\Rightarrow z(t) = y(\alpha t) \text{ para eliminar "aL"}$$

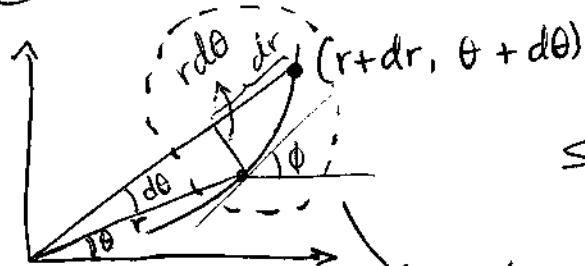
$$z'(t) = \alpha y'(\alpha t) = \alpha aL \underbrace{\left(1 - y(\alpha t)\right)}_z \underbrace{y(\alpha t)}_z$$

$$\text{con } \alpha = \frac{1}{aL} \text{ obtenemos } z' = (1-z)z$$

# Trayectoria ortogonal en coord. polares

Partimos de una familia de curvas solución de una EDO  
 $r' = h(r, \theta)$  (e.d.  $r'(\theta) = h(r(\theta), \theta)$ ) ¿Familia ortogonal?

① Pendiente de una curva en polares



pendiente =  $\tan(\phi)$

Salvo por términos de orden  $dr^2, d\theta^2$

$$\tan \phi = \frac{r d\theta}{dr} = \frac{r}{r'}$$

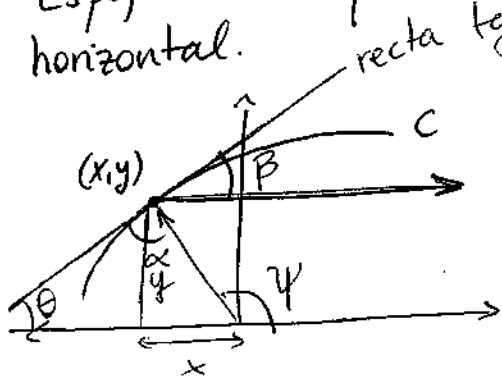
Si esa curva es solución de la EDO entonces la pendiente es  $\frac{r}{h}$  (porque  $h = r'$ )

$$\text{pend}_{c\perp} = \frac{-1}{\text{pend}_c} = \frac{-1}{r/h} = -h/r$$

$$\frac{r}{r'} \rightarrow \boxed{r' = \frac{-r^2}{h}} \text{ puede ser útil cuando aparecen expresiones } x^2 + y^2$$

Ejemplo: ej. geométrico (el espejo)

Espejo tal que si la luz parte del origen la reflejada es horizontal.



$\alpha = \beta = \theta$  (reflexión)

$$y'(x) = \tan(\theta)$$

$$\tan(\psi) = \frac{y}{x}$$

$$\psi = 2\theta$$

$$\psi + (\pi - 2\theta) = \pi$$

$$\tan(2\theta) = \frac{\sin(2\theta)}{\cos(2\theta)} = \frac{2\sin\theta\cos\theta}{\cos^2\theta - \sin^2\theta} = \frac{2\tan\theta}{1 - \tan^2\theta} = \frac{2y'}{1 - y'^2}$$

$$\frac{2y'}{1 - y'^2} = \tan(\psi) = \frac{y}{x}; \text{ e.d. } (1 - y'^2)y = 2y'x \Rightarrow yy'^2 + 2xy' - y = 0 \Rightarrow$$

$$\Rightarrow y' = \frac{-x \pm \sqrt{x^2 + y^2}}{y} \rightarrow \text{¿cuál? pues } \oplus \text{ porque la derivada de } C \text{ es } +.$$



$$\Rightarrow \boxed{y' = \frac{-x + \sqrt{x^2 + y^2}}{y}} \quad \text{cambio: } z(x) = \frac{y(x)}{x} \quad (z = \frac{y}{x})$$

$$z' = \frac{y'}{x} - \frac{y}{x^2} = \frac{1}{x} (y' - z) = \frac{1}{x} \left( \frac{-x + \sqrt{x^2 + y^2}}{y} - z \right) =$$

$$= \frac{1}{x} \left( \frac{-x}{y} + \sqrt{\left(\frac{x}{y}\right)^2 + 1} - z \right) = \frac{1}{x} \left( \frac{-1}{z} + \sqrt{\frac{1}{z^2} + 1} - z \right) \Rightarrow$$

$$\Rightarrow xz' = -z - \frac{1}{z} + \frac{1}{z}(\sqrt{1+z^2})$$

Ecuación de variables separables:

Integrar  $\rightarrow$  resultado:  $1 - \sqrt{1+z^2} = \frac{C}{x}$

Como  $z = \frac{y}{x} \rightarrow \boxed{y^2 = C^2 + 2cx}$

Ahora hay que escoger  $C$  dependiendo de un dato inicial

La ecuación que hemos obtenido es una ecuación homogénea, e.d., una EDO con  $y' = f(x,y)$  con  $f$  homogénea de grado 0

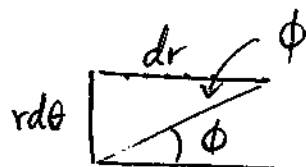
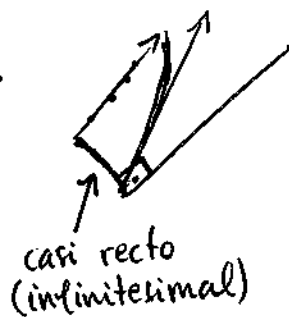
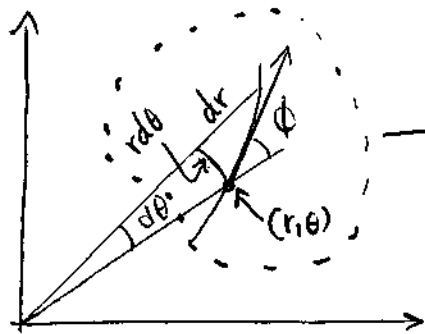
$f(\lambda x, \lambda y) = f(x,y)$   $\left( \frac{-x + \sqrt{x^2 + y^2}}{y} \right)$  es homogénea de grado 0

Entonces  $f(x,y) = f(\underbrace{(x)}_{\lambda} 1, \underbrace{(y)}_{\lambda} \frac{y}{x}) = f(1, y/x)$

Haciendo el cambio  $z = y/x$ :

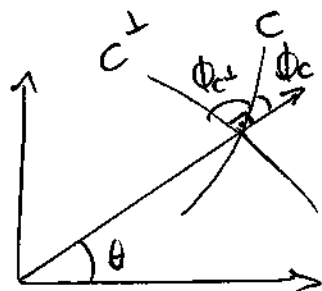
$$z' = \frac{y'}{x} - \frac{y}{x^2} = \frac{f(1, y/x)}{x} - \frac{1}{x} \cdot \frac{y}{x} = \boxed{\frac{f(1, z) - z}{x}} \quad y$$

es una ecuación de variables separables (pero a veces una ecuación de variables separables NO ES INTEGRABLE).



$$\tan \phi = \frac{r d\theta}{dr} = \frac{r}{r'}$$

$$(r' = \frac{dr}{d\theta})$$



$$\phi_{c\perp} = \frac{\pi}{2} + \phi_c$$

$$\tan(\phi_{c\perp}) = \frac{-1}{\tan(\phi_c)} = \frac{-r}{h(r, \theta)}$$

$$\frac{r}{r'} \Rightarrow r' = -\frac{r^2}{h(r, \theta)}$$

## ECUACIONES LINEALES DE ORDEN 1

### Ejemplo

$$x' = x + t \quad (x'(t) = x(t) + t)$$

①  $x' = x$  (es de variables separables)

una solución:  $e^t$

$$\textcircled{2} (e^{-t} x)' \stackrel{\text{ecuación}}{=} -e^{-t} x + e^{-t} x' = e^{-t} (-x + x') \stackrel{x' = x + t}{=} te^{-t}$$

$$y(t) = e^{-t} x(t)$$

$$y'(t) = te^{-t}$$

$$y(t) = \int te^{-t} dt = \int t d(-e^{-t}) =$$

$$= -t \cdot e^{-t} + \int e^{-t} dt = -te^{-t} - e^{-t} + c$$

con  $c$  constante

es decir,  $e^{-t} x(t) = c + e^{-t}(-1-t)$

es decir,  $x(t) = ce^t - 1 - t$

### Comentarios:

①  $-1-t$  es una solución de (ec) ("una solución particular")  
Corresponde a tomar  $c = 0$ .

②  $e^t$  es solución de la "ecuación homogénea"  $x' = x$ .

③ Esa ecuación homogénea es lineal, e.d.

- la suma de soluciones de esa ecuación es también solución.

$$\begin{cases} x' = x \\ y' = y \end{cases} \Rightarrow (x+y)' = x+y$$

- si  $x(t)$  es solución entonces  $\lambda x(t)$  es solución por cualquier.

④  $\lambda \in \mathbb{R}$  Todas las soluciones de  $x' = x$  (la homogénea) son  $x(t) = ce^t$ .

⑤  $x(t) = ce^t + (-1-t)$  dice que:

la solución general a (ec) es igual a una solución particular  $(-1-t)$  más la solución general de la homogénea.

### En general:

$$x'(t) = \alpha(t)x(t) + \beta(t), \quad \alpha, \beta \text{ continuas}$$

La ecuación homogénea asociada es:  $x'(t) = \alpha(t)x(t)$

Es lineal: suma de soluciones es solución.

$$\begin{cases} x_1'(t) = \alpha(t)x_1(t) \\ x_2'(t) = \alpha(t)x_2(t) \end{cases} \Rightarrow (x_1 + x_2)' = \alpha(x_1 + x_2)$$

y si  $x(t)$  es solución, también lo es  $\lambda x(t)$ .

Observación: Si sumo soluciones de (ec) obtengo

$$(x_1 + x_2)' = \alpha(x_1 + x_2) + 2\beta$$

¿Cuál es la solución general en este caso?

$$(1) x'(t) = \alpha(t)x(t)$$

Si  $A(t)$  cumple  $A'(t) = \alpha(t)$  entonces  $x(t) = e^{A(t)}$  que verifica que  $x' = \underbrace{e^{A(t)}}_x \cdot \underbrace{A'(t)}_{\alpha(t)}$ , e.d.,  $x' = \alpha(t)x$  ✓  
 si  $x' = \alpha x + \beta$   $A' = \alpha$

$$(2) (e^{-A(t)} x)' = (e^{-A} x' - e^{-A} \cdot A' \cdot x) \stackrel{\downarrow}{=} e^{-A} (x' - \alpha x) = e^{-A} \beta$$

$$\Rightarrow (e^{-A} x)' = e^{-A(t)} \beta(t)$$

Integrando:

$$e^{-A(t)} x(t) = \int e^{-A(t)} \beta(t) dt$$

Proposición: Supongamos que  $\alpha, \beta$  son funciones continuas en  $[a, b]$   $\alpha, \beta: [a, b] \rightarrow \mathbb{R}$ . Sean:  $A(t) \stackrel{\text{def.}}{=} \int_a^t \alpha(u) du$

$$H(t) = \int_a^t e^{-A(u)} \beta(u) du$$

Entonces:

(1)  $x(t)$  verifique  $x'(t) = \alpha(t)x(t) + \beta(t)$  para todo  $t \in [a, b]$   
 $\Leftrightarrow \exists c \in \mathbb{R}$  tal que  $x(t) = H(t)e^{A(t)} + ce^{A(t)}$

(2) Dado  $t_0 \in (a, b)$ ,  $x_0 \in \mathbb{R}$   $\exists!$   $c$  tal que  $x(t) = ce^{A(t)} + e^{A(t)} H(t)$  es solución del P.V.I.

$$\begin{cases} x'(t) = \alpha(t)x(t) + \beta(t) & t \in [a, b] \\ x(t_0) = x_0 \end{cases}$$

demonstración

(1) es el cálculo que acabamos de hacer

(2)  $x_0 = x(t_0) = ce^{A(t_0)} + e^{A(t_0)} H(t_0) \rightarrow \exists! c$  pues  $e^{A(t_0)} \neq 0$ .

■

Observación: hemos visto que para el P.V.I.  $x' = \alpha(t)x + \beta(t)$   
 $x(t_0) = x_0$   
existe solución y es única.

VISTO:

(ecuación lineal)  $x' = \alpha(t)x + \beta(t)$   $t \in [a, b]$ ,  $\alpha, \beta$  continuas

①  $x' = \alpha(t)x$  (ecuación lineal homogénea, asociada a (EL))

$x_1, x_2$  son soluciones de (ELH) en  $t \in [a, b]$  y  $\lambda_1, \lambda_2 \in \mathbb{R}$ .

Entonces  $\lambda_1 x_1(t) + \lambda_2 x_2(t)$  es solución de (ELH), e.d., el conjunto de soluciones de (ELH) es un espacio vectorial.

Además si  $A(t)$  es una primitiva de  $\alpha(t)$  (e.d.  $A' = \alpha$ ; existe por el T<sup>ma</sup> Fundamental del Cálculo; por ejemplo  $\int_a^t \alpha(u) du$   $A$  es  $C^1$ ) entonces todas las soluciones de (ELH) son las de la forma  $\lambda e^{A(t)}$ ,  $\lambda \in \mathbb{R}$  (el espacio vectorial de soluciones de (ELH) tiene dimensión 1 y  $e^{A(t)}$  es una base).

② Si  $x_1, x_2$  son soluciones de (EL), entonces  $x_1 - x_2$  es solución de (ELH) y por tanto de la forma  $\lambda e^{A(t)}$ .

Para encontrar todas las soluciones de (EL) basta encontrar una,  $\bar{x}(t)$ , con esta, se encuentran todas las soluciones de (EL) por:

$$\boxed{x(t) = \bar{x}(t) + \lambda e^{A(t)}} \quad (x = \bar{x} + \lambda e^A)$$

↑                      ↑  
solución particular    solución general de la homogénea

↓  
solución general de (EL)

Por ejemplo,  $\bar{x}(t) = e^{A(t)} \int_0^t \beta(u) e^{-A(u)} du$  es una solución particular.

③ Si  $t_0 \in [a, b]$  y  $x_0 \in \mathbb{R}$  entonces el P.V.I. :

$$\begin{cases} x' = \alpha x + \beta & \text{en } [a, b] \\ x(t_0) = x_0 \end{cases}$$

tiene solución y es única

$$(\lambda \text{ tal que } x_0 = \bar{x}(t_0) + \lambda e^{A(t_0)})$$

## TEOREMAS DE EXISTENCIA Y UNICIDAD

$$\text{v.I.) } \begin{cases} x' = f(t, x) \\ x(t_0) = x_0 \end{cases} \quad (x'(t) = f(t, x(t)))$$

Proposición (T<sup>ma</sup> ex. y unic. versión global)

Sea  $f: [a, b] \times \mathbb{R} \rightarrow \mathbb{R}$   $C^1$  y tal que  $f_x''$  es acotada, e.d.,  $\exists L \in \mathbb{R}$  tal que  $|f_x(t, x)| \leq L \quad \forall t \in [a, b] \quad \forall x \in \mathbb{R}$ .

Sea  $t_0 \in [a, b]$ ,  $x_0 \in \mathbb{R}$ . Entonces el (PVI):

$$\begin{cases} x'(t) = f(t, x(t)) \\ x(t_0) = x_0 \end{cases} \text{ tiene solución y es única.}$$

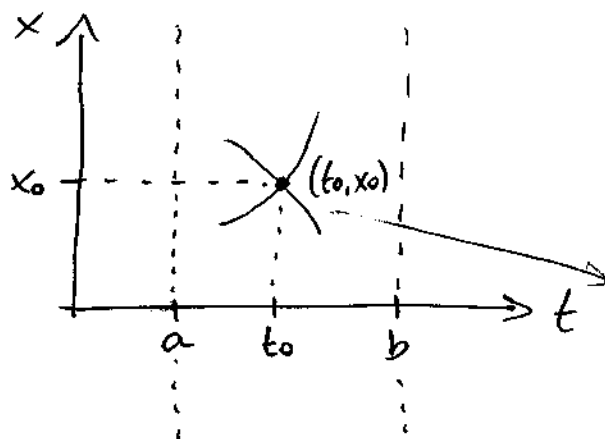
( $x: [a, b] \rightarrow \mathbb{R}$ ,  $C^1$  y tal que (PVI))

(demostración  $\rightarrow$  cuando lo hagamos en  $\mathbb{R}^n$ ).

Observación: En el caso de (EL),  $f(t, x) = \alpha(t)x + \beta(t)$  y  $f_x(t, x) = \alpha(t)$  ( $|\alpha(t)| \leq L$  continua en un compacto).

### Comentarios

① Visual



no puede haber dos soluciones del (PVI) como las del dibujo

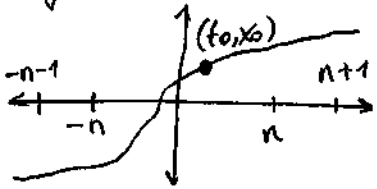
No se pueden cruzar/toc

✗ No ✗ No

Es decir, considerando el gráfico como un subconjunto del plano, dos de esos subconjuntos, o son coincidentes o son disjuntos.

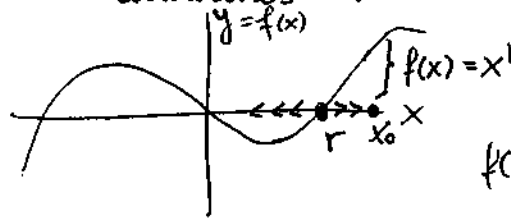
② Si  $f: \mathbb{R} \times \mathbb{R} \rightarrow \mathbb{R}$  cumple  $|f_x| \leq L$  entonces el  
 (PVI)  $\begin{cases} x' = f(t, x) & \text{en } t \in \mathbb{R} \\ x(t_0) = x_0 \end{cases}$  tiene solución y es única.

Razón: tomar  $[a, b] = [-n, n]$  y hacer que  $n \rightarrow \infty$



③ Por ejemplo, para las ecuaciones autónomas:

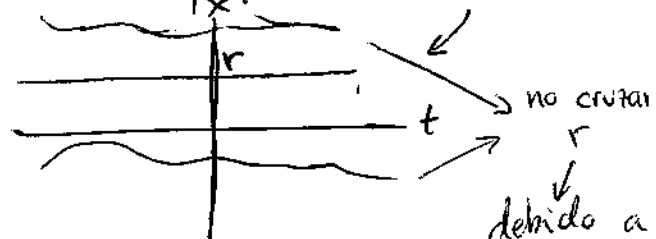
$$\begin{aligned} x' &= f(x) \\ x(t_0) &= x_0 \end{aligned}$$



$f(r) = 0 \Rightarrow x_1(t) \equiv r$  es solución

porque  $x_1'(t) = 0 = f(r) = f(x_1(t))$

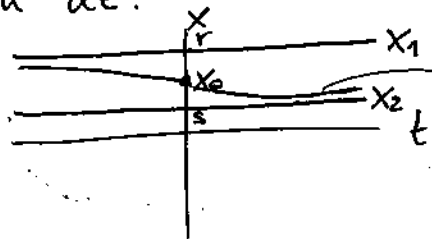
$$x_1(t_0) = r$$



$x_2(t) \equiv s$  es solución de:

$$\begin{aligned} x_2' &= f(x_2) \\ x_2(t_0) &= s \end{aligned}$$

$$\begin{aligned} x' &= f(x) \\ x(t_0) &= x_0 \end{aligned}$$



Pregunta (respuesta próximamente)

Supongamos que  $x(t)$  resuelve  $x' = f(x)$  y  $x(t) \xrightarrow{t \rightarrow \infty} a$   
 ¿Es  $f(a) = 0$ ?

Ejemplo:

$$\begin{cases} x' = x^2 \\ x(0) = 1 \end{cases}$$

$$t \in [-2, 2]$$

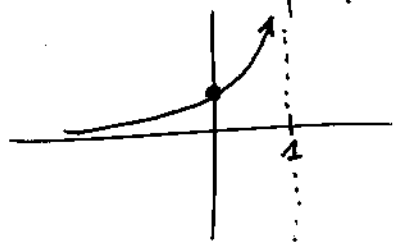
No tiene solución

Razón:  $\frac{dx}{dt} = x^2 \rightarrow \int \frac{dx}{x^2} = \int dt = t + C \Rightarrow \frac{-1}{x} = t + C \Rightarrow$

$$\Rightarrow x(t) = \frac{-1}{t+C}$$

Como  $x(0) = 1 \leadsto C = -1$

$x(t) = \frac{1}{1-t}$  pero esto no es solución en  $[-2, 2]$  porque no está definida en  $t=1$ .



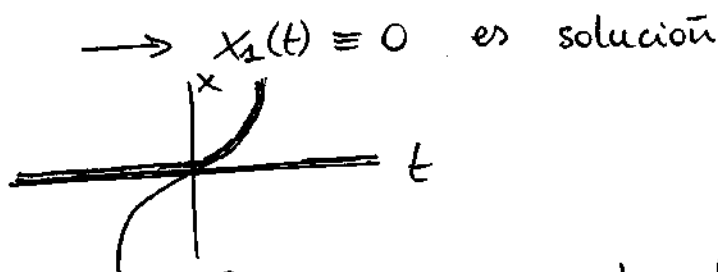
$$f(t, x) = x^2$$

$f_x = 2x$  que no está acotada en  $x \in \mathbb{R}$ .

Ejemplo:  $\begin{cases} x' = x^{2/3} \\ x(0) = 0 \end{cases}$

variables separables

$$\Rightarrow x_2(t) = (t/3)^3$$



¿Cómo conseguir otra solución?  $\rightarrow$  coger un cacho de (en rojo) cada una.



# PROPOSICIÓN (1ª de existencia y unicidad LOCAL)

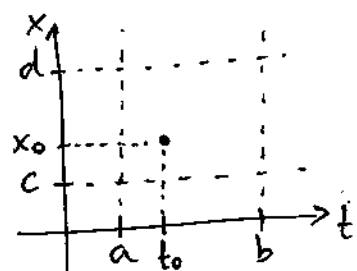
Sea  $f: [a,b] \times [c,d] \longrightarrow \mathbb{R}$  de clase  $C^1$ , y sean  $t_0 \in (a,b)$ ,  $x_0 \in (c,d)$

## ① EXISTENCIA

$$\exists \delta > 0 \text{ y } x: (t_0 - \delta, t_0 + \delta) \longrightarrow \mathbb{R} \quad C^1$$

y tal que  $x$  es solución del PVI:

$$\begin{cases} x' = f(t, x) & |t - t_0| < \delta \\ x(t_0) = x_0 & (\delta < \min(t_0 - a, b - t_0)) \end{cases}$$



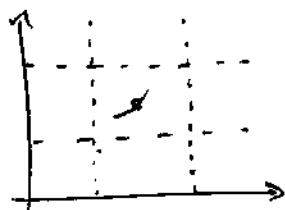
② UNICIDAD: Si  $x_1(t)$ ,  $x_2(t)$  son  $C^1$  en un intervalo  $(t_0 - \varepsilon, t_0 + \varepsilon)$

y satisfacen  $\begin{cases} x_i'(t) = f(t, x_i(t)) \\ x_i(t_0) = x_0 \end{cases}, \quad |t - t_0| < \varepsilon$   
 $(\varepsilon < \min(t_0 - a, b - t_0))$

Entonces  $x_1(t) = x_2(t) \quad \forall t$  tal que  $|t - t_0| < \varepsilon$ .

## Comentarios

①

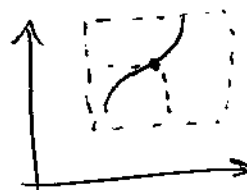
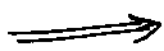
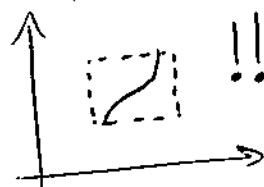


una única solución para cada punto en el rectángulo

NO  $\rightarrow$

② Otra forma de expresar la unicidad es: si dos soluciones de  $x' = f(t, x)$  coinciden en un punto  $(x_1(t_0) = x_2(t_0))$ , entonces coinciden en un intervalo alrededor de ese punto.

③ ¿qué puede pasar para que la solución no exista en todo  $[a, b]$ ?



$\rightarrow$  se puede "prolongar" la solución

④ No es necesario suponer que  $f$  es  $C^1$ .

Existencia  $\rightarrow$  basta con que  $f$  sea continua

Unicidad  $\rightarrow$  basta que  $f_x$  exista y sea continua (incluso men

## REGULARIDAD

$\mapsto [a,b] \times [c,d] \mapsto \mathbb{R}$  continua

①  $x'(t) = f(t, x(t))$  es un intervalo,  $f$  continua y  $x$  derivable, entonces:

- $x$  derivable  $\Rightarrow x$  continua
- $\left. \begin{array}{l} x(t) \text{ continua} \\ f(t, x) \text{ continua} \end{array} \right\} \Rightarrow f(t, x(t)) \text{ es continua} \Rightarrow x'(t) \text{ continua}$   
es decir,  $x$  es  $C^1$ .

② Si  $f(t, x)$  es  $C^1$  entonces  $f(t, x(t))$  es  $C^1$  pues

$$\frac{d}{dt}(f(t, x(t))) = \underbrace{f_t(t, x(t))}_{\text{continua pq } f \text{ } C^1} + \underbrace{f_x(t, x(t))}_{\text{continua por ①}} \cdot \underbrace{x'(t)}_{\text{continua por ①}}$$

Por tanto  $x''(t) = \frac{d}{dt}(x'(t)) = \frac{d}{dt}(f(t, x(t)))$ , que es continua.

Es decir  $x$  es  $C^2$ .

③ Continuando de esta forma, si  $f$  es  $C^k$ , entonces  $x$  es  $C^{k+1}$ .

## ECUACIONES EXACTAS

Supongamos que  $y$  está definida implícitamente por  $g(x, y) = \text{cte}$  con  $g \in C^1$ .

$g(x, y(x)) = \text{cte}$  Si derivamos con respecto a  $x$ :

$g_x(x, y(x)) + g_y(x, y(x)) \cdot y'(x) = 0$ , e.d.,  $y(x)$  resuelve:

$$y' = \frac{-g_x(x, y)}{g_y(x, y)} \quad (\text{EDO})$$

A esto se le puede dar la vuelta si  $y(x)$  verifica la (EDO) entonces  $g(x, y(x)) \equiv \text{cte}$ . (en intervalos) pues  $\frac{d}{dx}(g(x, y(x))) = 0$

¿cómo reconoces ecuaciones de este tipo? ( $\rightarrow$  "ecuaciones exactas")

Notación habitual:  $\frac{dy}{dx} = \frac{-g_x}{g_y} \Rightarrow g_x dx + g_y dy = 0$

Supongamos que tenemos una ecuación  $y' = -\frac{M(x,y)}{N(x,y)}$ , e.d.,  
 $M \cdot dx + N \cdot dy = 0$ . ¿Cuándo existe  $g(x,y)$  tal que  $M = g_x$ ,  
 $N = g_y$ , e.d. cuándo es exacta?  
 (En este caso la solución es  $g(x,y) = C$  en forma implícita).

Ejemplo:  $y' = \frac{-y}{x}$  e.d.  $ydx + xdy = 0$  es exacto  
 $g(x,y) = xy$   $g_x = y$ ,  $g_y = x \rightarrow$  solución  $xy = C$ , e.d.,  $y = \frac{C}{x}$

CONDICIÓN NECESARIA: Si  $Mdx + Ndy$  es exacta, y la  $g$  correspondiente es  $C^2$ , entonces  $M_y = N_x$ .

Razón: Exacta  $\Rightarrow \exists g$  tal que  $M = g_x$  y  $N = g_y$ . Entonces

$$M_y = (g_x)_y ; N_x = (g_y)_x \Rightarrow g_{xy} = g_{yx} \text{ iguales porque } g \in C^2.$$

$$\Rightarrow M_y = N_x \quad \blacksquare$$

Comentario:  $(M, N) = \nabla g$  ;  $\int_\gamma Mdx + Ndy = g(\text{final}) - g(\text{inicial})$

EXISTENCIA:  $Mdx + Ndy = 0$  ¿ $\exists g$  tal que  $g_x = M$ ,  $g_y = N$ ?

Notación:  $M + N \frac{dy}{dx} = 0$

$$\frac{dy}{dx} = -\frac{M}{N} \quad , \quad \frac{dx}{dy} = -\frac{N}{M}$$

Condición necesaria:  $M_y = N_x$

Ejemplo:  $\underbrace{(y + x^3)}_M dx + \underbrace{(x + y^3)}_N dy = 0$  (E1)  $M_y = N_x = 1 \quad \checkmark$

¿ $g$ ?  $g_x = M = y + x^3$  Integrando en  $x$  (suponiendo  $y$  constante)

$$g = yx + \frac{x^4}{4} + C(y)$$

$$g_y = N = x + y^3 = \left( yx + \frac{x^4}{4} + C(y) \right)' = x + C'(y)$$

$$\Rightarrow x + y^3 = x + C'(y) \Rightarrow C'(y) = y^3 \Rightarrow C(y) = \frac{y^4}{4} (+cte.)$$

$$xy + \frac{x^4 + y^4}{4} = C$$

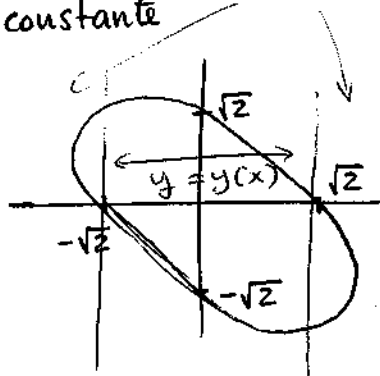
e.d., las soluciones de (E1) vienen dadas implícitamente por

$$xy + \frac{x^4 + y^4}{4} = C$$

$\uparrow$  constante       $x$  como función de  $y$

$$C=1$$

$$xy + \frac{x^4 + y^4}{4} = 1$$



### Recordatorio

Proposición: Sea  $\Omega$  un abierto, simplemente conexo en  $\mathbb{R}^2$ .

Sean  $M, N: \Omega \rightarrow \mathbb{R} \quad C^1$ . Entonces:

$\exists g: \Omega \rightarrow \mathbb{R} \quad C^2$  tal que  $M = g_x, N = g_y$  en  $\Omega \iff$

$\iff M_y = N_x$  en  $\Omega$ .

$\swarrow$  Simplemente conexo  $\leadsto$  "no tiene agujeros"

Si  $\Omega$  es acotado. Simplem. conexo  $\iff \mathbb{R}^2 \setminus \Omega$  es conexo  $\nearrow$

Consecuencia: En rectángulos  $(a,b) \times (c,d)$  funciona!

## FACTORES INTEGRANTES

$$Mdx + Ndy = 0 \quad M_y \neq N_x$$

$\Updownarrow$  si  $\mu(x,y) \neq 0$  " $\forall(x,y)$ "  $\rightarrow$  en la zona en que estamos trabajando  
 $\mu Mdx + \mu Ndy = 0$

Intentamos buscar  $\mu(x,y)$  tal que  $(\mu M)_x = (\mu N)_y$ .

Una  $\mu$  que cumpla eso es un factor integrante de  $Mdx + Ndy = 0$

$$M \frac{\partial \mu}{\partial y} - N \frac{\partial \mu}{\partial x} + (M_y - N_x)\mu = 0$$

$$\left(M \frac{\partial}{\partial y} - N \frac{\partial}{\partial x}\right)\mu + (M_y - N_x)\mu = 0$$

Habitualmente se intenta que  $\mu$  solamente dependa de una de las 2 variables, es decir  $\mu(y)$  o  $\mu(x)$ .

Ejemplo

$$\underbrace{xy}_{M}dx + \underbrace{y^2}_{N}dy = 0 \quad (E)$$

$M_y = x \neq N_x = 0 \Rightarrow$  no es exacta ¿factor integrante?

Intentar encontrar  $\mu$  que dependa solo de una variable

①  $\mu = \mu(x)? \rightarrow \mu Mdx + \mu Ndy = 0$

e.d.  $\mu(x)xydx + \mu(x)y^2dy = 0$

$$(\mu(x)xy)_y \stackrel{??}{=} (\mu(x)y^2)_x$$

$$\mu(x)x \stackrel{??}{=} \mu'(x)y^2$$

la igualdad equivale a

$$\frac{\mu'(x)}{\mu(x)} = \frac{x}{y^2}$$

IMPOSIBLE!

depende de  $y$   
también

$\mu(y)$ ?

$$(\mu(y)xy)_y \stackrel{??}{=} (\mu(y)y^2)_x$$

$$\mu'(y)xy + x\mu(y) \stackrel{??}{=} 0$$

$$\frac{\mu'(y)}{\mu(y)} = \frac{-1}{y} \Rightarrow \text{Integrando} \Rightarrow (\log|\mu|) = -\log|y|$$

$$\Rightarrow \mu(y) = \frac{1}{y} \text{ es solución}$$

es decir, (E) equivale a:  $xdx + ydy = 0$

$$\boxed{\frac{x^2 + y^2}{2} = c} \Rightarrow x^2 + y^2 = \tilde{c}$$

### Comentario

La ecuación lineal de 1<sup>er</sup> orden  $y' = a(x)y + b(x)$   
con  $A(x)$  tal que  $A'(x) = a(x)$   $\left(e^{-A(x)}\right)$

$e^{-A(x)}$  es un factor integrante de  $y'(x) = a(x)y(x) + b(x)$ .

Ejemplo:  $y'(x) = \underbrace{x^3}_{b(x)} - \underbrace{2xy(x)}_{a(x)}$  "solución general"  $\equiv$  todas las soluciones

① Buscamos solución general de la homogénea:  $y' = -2xy$   
Variables separables:  $\frac{dy}{dx} = -2xy \rightarrow \frac{dy}{y} = -2xdx \xrightarrow{\text{integrar}} y(x) = ce^{-x^2}$

② Usando  $e^{-x^2}$  (una solución de ①) volvemos a  $y' = x^3 - 2xy$   
 $z(x) = e^{-(-x^2)} y = e^{x^2} y$   $x^3 = y' + 2xy \leftarrow$

$$z' = 2xe^{x^2}y + e^{x^2}y' = e^{x^2}(2xy + y') = e^{x^2}x^3$$

$$z(x) = \int \underbrace{x^3 e^{x^2}}_{\frac{x^2}{2} \frac{d(e^{x^2})}{dx}} dx = \frac{x^2 - 1}{2} e^{x^2} + c$$

$$\underbrace{-2x^2 y}_{\frac{x^2}{2} \frac{d(e^{x^2})}{dx}}$$

$$\Rightarrow y(x) = \underbrace{\frac{x^2 - 1}{2}}_{\text{sol. particular}} + \underbrace{ce^{-x^2}}_{\text{solución general de la ec. homogénea}}$$

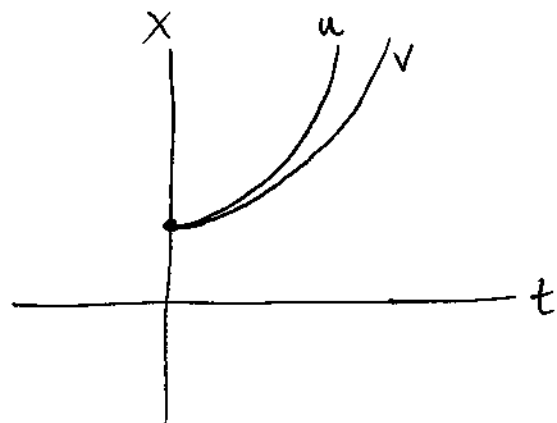
Pregunta jueves 7:

(1)  $\begin{cases} x' = t^2 + x^2 = f(t, x) \\ x(0) = 1 \end{cases}$  Campos de pendientes parecían indicar  $x(t) \nearrow \infty$  en  $t=1$  o antes ¿es cierto?

$|f_x| \leq L$  no se cumple

Vamos a comparar la solución de (1) con la de (2)  $\begin{cases} x' = x^2 \\ x(0) = 1 \end{cases}$

Sea  $u(t)$  la solución de (1) y  $v(t)$  la solución de (2).



En  $t=0$  tiene la misma pendiente (pendiente = 1).

¿podemos comparar cuantitativamente  $u$  y  $v$ ?

Sea  $z(t) = u(t) - v(t)$

Puedo conseguir  $z(t) \geq 0$ ?

$$\begin{aligned} z'(t) &= u'(t) - v'(t) = t^2 + u^2 - v^2 = t^2 + (u-v)(u+v) = \\ &= t^2 + (u+v)z \end{aligned}$$

Pero  $u(t) \geq 1$ ,  $v(t) \geq 1$  si  $t \geq 0$  (en 0 son 1 y  $u', v' > 0$  en  $t > 0$ )

$$\text{e.d., } z' \geq 2z + t^2 \Rightarrow z' - 2z \geq t^2$$

$$w(t) = e^{-2t} z(t)$$

$$\begin{aligned} w' &= -2e^{-2t} z(t) + e^{-2t} z'(t) = \\ &= e^{-2t} (z' - 2z) \geq e^{-2t} t^2 \end{aligned}$$

$$w'(t) \geq t^2$$

$$w(0) = z(0) = 1 - 1 = 0$$

$$\Rightarrow w(t) = w(0) + \int_0^t w'(s) ds \geq$$

$$\geq \int_0^t s^2 e^{-2s} ds = -e^{-2s} \left( \frac{2s^2 + 2s + 1}{4} \right) \Big|_0^t$$

$$w'(s) \geq s^2 e^{-2s}$$

$$\text{e.d. } w(t) \geq \frac{1}{4} - e^{-2t} \left( \frac{2t^2 + 2t + 1}{4} \right)$$

$$e^{-2t} z(t)$$

$$\text{e.d.} \quad \underset{\substack{\parallel \\ u-v}}{z(t)} \geq \frac{e^{2t} - (2t^2 + 2t + 1)}{4}$$

$$u(t) \geq v(t) + \frac{e^{2t} - (1 + 2t + 2t^2)}{4}$$

$\parallel \leftarrow$  hecho  
 $\frac{1}{1-t}$  anteriormente

Consecuencia: como  $v(t) \nearrow \infty$  cuando  $t \rightarrow 1$ ,  $u(t) \nearrow \infty$  en  $t=1$  o antes.

Ejercicio: encontrar otra ecuación que sea sencilla de resolver para obtener  $u(t) \leq \text{algo}$ .



# ECUACIONES DE 2º ORDEN

$$x'' = f(t, x, x')$$

Observación:  $x'' = 5x'$  es de orden 2 solo formalmente.

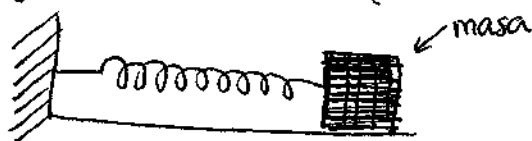
Con  $y(t) = x'(t)$  se convierte en  $y' = 5y \rightarrow y = ce^{5t} \rightarrow$   
 $\rightarrow x(t) = \int ce^{5t} dt = a + \frac{c}{5} e^{5t} = a + be^{5t} \quad \text{"x'"} \rightarrow$

¿Cómo se determinarían  $a$  y  $b$ ?

P.V.I:  $\begin{cases} x'' = 5x' \\ x(0) = 1 \\ x'(0) = 0 \end{cases} \rightarrow \begin{cases} a+b=1 \\ b=0 \end{cases} \rightarrow a=1 \rightarrow x(t) \equiv 1$

Fuente de ejemplos  $\rightarrow F = ma$  donde  $a = x''(t)$ .

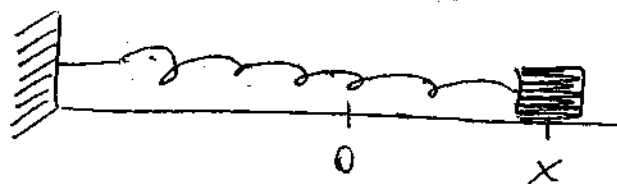
Ejemplo: muelles (oscilador armónico)



si  $x=0$  corresponde a la situación de equilibrio (e.d. todo "parado")

Si suponemos que:

- Sin fricción
- Movimientos pequeños desde el equilibrio



constante del muelle  
 $F = -Kx$

Como  $F = ma \Rightarrow \boxed{mx'' = -Kx}$  ¿Soluciones?

$$mx'' = -Kx \Rightarrow x'' = \frac{-Kx}{m}$$

$y(t) = x(at)$  (a  $\rightarrow$  diferente a la aceleración para "esconder" el  $\frac{K}{m}$ )

$$y''(t) = a^2 x''(at) = a^2 \left( \frac{-K}{m} x(at) \right) = \frac{-K}{m} a^2 y(t)$$

Eligiendo  $a = \sqrt{\frac{m}{K}}$  tenemos  $y'' = -y \rightarrow$  sen, cos son soluciones.

Además,  $y'' = -y$  es lineal:  $y_1(t), y_2(t)$  son soluciones, entonces  $\alpha_1, \alpha_2 \in \mathbb{R}$  y  $\alpha_1 y_1(t) + \alpha_2 y_2(t)$  es solución.

Entonces con  $y_1 = \text{sen}, y_2 = \text{cos} \Rightarrow \alpha_1 \text{sen}(t) + \alpha_2 \text{cos}(t)$  es solución.

Pregunta: ¿estas son todas? Sí (debido al siguiente teorema)

Proposición: (T<sup>ma</sup> existencia <sup>GLOBAL</sup> y unicidad para ec. lineales 2º ord)

Se considera la ecuación  $x'' + p(t)x' + q(t)x = r(t)$   
con  $p, q, r: [a, b] \rightarrow \mathbb{R}$  continuas.

Sean  $t_0 \in [a, b]$ ,  $x_0, x_1 \in \mathbb{R}$ .

Entonces existe una única solución al PVI:

$$\begin{cases} x'' + px' + qx = r, & t \in [a, b] \\ x(t_0) = x_0 \\ x'(t_0) = x_1 \end{cases}$$

Consecuencia:  $y(t) = \alpha \sin(t) + \beta \cos(t)$  son todas las soluciones a  $y'' = -y$ .

Razón: Dados cualquier  $y_0, y_1$ ,  $\exists \alpha, \beta$  tal que

$$y_{\alpha, \beta}(t) : \alpha \sin t + \beta \cos t \text{ cumple } \begin{cases} y_{\alpha, \beta}(0) = y_0 \\ y'_{\alpha, \beta}(0) = y_1 \end{cases} \quad \begin{pmatrix} \alpha = y_1 \\ \beta = y_0 \end{pmatrix}$$

En el momento que sepamos el valor  $y(0), y'(0) \Rightarrow$   
 $\Rightarrow y(t) = y(0) \cdot \cos t + y'(0) \sin t$

$$x'' + p(t)x' + q(t)x = 0 \quad p, q \text{ continuas en } [a, b]$$

PROPIEDADES:

- ① Es lineal: el conjunto de soluciones es un espacio vectorial ( $x_1, x_2$  sol's,  $\alpha_1, \alpha_2 \in \mathbb{R} \Rightarrow \alpha_1 x_1(t) + \alpha_2 x_2(t)$  es solución).
- ② Ese espacio vectorial tiene dimensión.

demostración: @ como en el ejemplo.

② Sea  $x_1$  la solución del PVI  $\begin{cases} x'' + p(t)x' + q(t)x = 0 \\ x(a) = 1 \\ x'(a) = 0 \end{cases}$   
y sea  $x_2(t)$  la solución pero con  $\begin{cases} x(a) = 0 \\ x'(a) = 1 \end{cases}$ .

Por existencia y unicidad  $\rightarrow x_1, x_2$  existen en  $[a, b]$ .

Además ninguna es un múltiplo de la otra (e.d. son "linealmente independientes"), pues: cualquier  $x = \alpha x_1$  cumple  $x'(a) = 0$  pero  $x_2'(a) \neq 0$  & cualquier  $x = \beta x_2$  cumple  $x(a) = 0$  pero  $x_1(a) = 1 \neq 0$ .

Consecuencia: la dimensión del espacio de soluciones es, al menos, 2.

Que es exactamente 2, se sigue de que dada cualquier solución,  $x(t)$ , de la ecuación  $x(t) = x(a)x_1(t) + x'(a)x_2(t)$ .

Por unicidad, lo de la derecha es solución con  
 $\begin{cases} \text{valor en } a \text{ igual a } x(a) \\ \text{derivada en } a \text{ igual a } x'(a) \end{cases}$

Observación: para resolver  $x'' + p(t)x' + q(t)x = 0$  basta encontrar dos soluciones linealm. independientes.

### ECUACIÓN DE ORDEN 2 COMO SISTEMAS

$$x'' = f(t, x, x')$$

$$\text{Sea } y = x' \quad (y(t) = x'(t))$$

$$\begin{bmatrix} x(t) \\ y(t) \end{bmatrix}' = \begin{bmatrix} x'(t) \\ y'(t) \end{bmatrix} \overset{\vec{y}}{=} \begin{bmatrix} y \\ f(t, x, y) \end{bmatrix} \quad \begin{matrix} \uparrow \\ y' = x'' = f(t, x, x') \end{matrix} \quad \text{"y"}$$

$$X(t) = \begin{bmatrix} x(t) \\ y(t) \end{bmatrix} \rightarrow X'(t) = F(t, X)$$

## PROPOSICIÓN (ESTRUCTURA DE SOLUCIONES DE LA EDO $x'' + p(t)x' + q(t)x = r(t)$ )

① El conjunto de soluciones de la EDO homogénea  $(x'' + px' + qx = 0)$  es un espacio vectorial de dimensión 2. Es decir, existen dos soluciones linealmente independientes,  $x_1(t)$  y  $x_2(t)$ , y todas las demás soluciones son las de la forma  $\alpha_1 x_1(t) + \alpha_2 x_2(t)$  con  $\alpha_1, \alpha_2 \in \mathbb{R}$ .

Un tal par se obtiene, por ejemplo, resolviendo los PVI:

$$\begin{cases} x'' + p(t)x' + q(t)x = 0 \\ x(t_0) = 1 \\ x'(t_0) = 0 \end{cases} \quad \& \quad \begin{cases} x'' + p(t)x' + q(t)x = 0 \\ x(t_0) = 0 \\ x'(t_0) = 1 \end{cases}$$

② Si  $x_p(t)$  <sup>particular</sup> es una solución de  $x'' + p(t)x' + q(t)x = r(t)$  entonces cualquier solución se escribe como:

$$x(t) = x_p(t) + \alpha_1 x_1(t) + \alpha_2 x_2(t) \quad \text{con } x_1, x_2 \text{ como en ①}$$

y todas esas son soluciones.

### Comentarios:

i) SIEMPRE suponemos que  $p(t), q(t), r(t)$  son continuas en un intervalo  $[\alpha, \beta]$  (y el de ① está en él).

ii) El procedimiento habitual es resolver primero la homogénea y luego buscar una solución particular.

iii) ② dice "solución general de la EDO" = una sol. particular + sol. general homogénea

### demostración

① Visto ayer a partir de existencia y unicidad.

② Si  $x(t)$  resuelve la EDO entonces  $x(t) - x_p(t)$  resuelve la EDO homogénea asociada. Por tanto  $\exists \alpha_1, \alpha_2 \in \mathbb{R}$  tal que  $x(t) - x_p(t) = \alpha_1 x_1(t) + \alpha_2 x_2(t)$ . ■

Ejemplo: EC. LINEAL DE ORD. 2 CON COEF. CONSTANTES

$$x'' + ax' + bx = 0 \quad \text{con } a, b \in \mathbb{R} \quad (p(t) = a \text{ \& } q(t) = b)$$

Supongamos este ejemplo:  $x'' + 3x' + 2x = 0$

Intentamos  $x(t) = e^{\lambda t}$ ,  $\lambda \in \mathbb{R}$ . Que sea solución quiere decir que  $(\lambda^2 + 3\lambda + 2)e^{\lambda t} \equiv 0$  (identicamente), entonces  $e^{\lambda t}$  es solución si y solo si  $\lambda^2 + 3\lambda + 2 = 0$ , es decir,  $\lambda = -1$  ó  $\lambda = -2$ .

$\Rightarrow x_1(t) = e^{-t}$ ,  $x_2(t) = e^{-2t}$  son soluciones linealmente independientes  $\Rightarrow x(t) = \alpha_1 e^{-t} + \alpha_2 e^{-2t}$  es la solución general.

En general:  $x'' + ax' + bx = 0$   $a, b \in \mathbb{R}$

$$e^{\lambda t} \text{ solución} \Leftrightarrow \lambda^2 + a\lambda + b = 0$$

• Casos: Las soluciones las llamamos  $\lambda_1, \lambda_2$

①  $\lambda_1 \neq \lambda_2$ , reales ( $a^2 - 4b > 0$ )

$x_1 = e^{\lambda_1 t}$ ,  $x_2 = e^{\lambda_2 t}$  son linealm. indep. ✓

②  $\lambda_1 \neq \lambda_2$ ,  $\lambda_1, \lambda_2 \in \mathbb{C}$  ( $a^2 - 4b < 0$ )

Como los coeficientes  $a, b$  son reales  $\lambda_2 = \overline{\lambda_1}$

Si  $\lambda_1 = \mu + i\omega$  ( $\lambda_2 = \mu - i\omega$ ) con  $\omega \neq 0$  ( $\lambda_1 \neq \lambda_2$ )

$$e^{\lambda_1 t} = e^{\mu t + i\omega t} = e^{\mu t} e^{i\omega t} = e^{\mu t} (\cos(\omega t) + i \sin(\omega t)) = (\mu, \omega \in \mathbb{R}) = e^{\mu t} \cos(\omega t) + i e^{\mu t} \sin(\omega t)$$

Afirmación:  $x_1(t) = e^{\mu t} \cos(\omega t)$   
 $x_2(t) = e^{\mu t} \sin(\omega t)$  Son soluciones (y lin. indep.)

$$\begin{array}{c} \downarrow \\ x(t) = u(t) + i v(t) \quad , \quad u, v \text{ reales} \\ \uparrow \end{array} \quad \begin{array}{c} \leftarrow \\ x'' + ax' + bx = (u'' + au' + b) + i(v'' + av' + b) \\ \rightarrow \end{array}$$
$$\begin{array}{c} \uparrow \\ 0 \end{array} \Leftrightarrow \begin{array}{c} \uparrow \\ 0 \end{array} \quad \text{y} \quad \begin{array}{c} \uparrow \\ 0 \end{array}$$

$$\textcircled{3} \quad \lambda_1 = \lambda_2 \in \mathbb{R}$$

$$x_1(t) = e^{\lambda_1 t}$$

Ejercicio:  $x_2(t) = t e^{\lambda_1 t}$  es también solución  
(y lin. indep. de  $x_1$ )

Otro ejemplo:  $\xrightarrow{\text{caso } \textcircled{2}} x'' + x' + x = 0$

$$\lambda^2 + \lambda + 1 = 0 \longrightarrow \lambda = \frac{-1 \pm \sqrt{1-4}}{2} = \frac{-1 \pm i\sqrt{3}}{2}$$

$$\mu = -\frac{1}{2}, \quad \omega = \frac{\sqrt{3}}{2}$$

$$x_1(t) = e^{-t/2} \sin\left(\frac{\sqrt{3}}{2}t\right), \quad e^{-t/2} \cos\left(\frac{\sqrt{3}}{2}t\right)$$

Ejemplo caso  $\textcircled{3}$ :  $x'' + 2x' + x = 0$

$$\lambda_1 = \lambda_2 = -1$$

Otro ejemplo:  $x'' + 3x' + 2x = t e^t$

Obs:  $\xrightarrow{\quad}$

$$\downarrow x = e^{\gamma t} \text{pol}(t) \Rightarrow x' = e^{\gamma t} \hat{\text{pol}}(t) \Rightarrow x'' = e^{\gamma t} \hat{\hat{\text{pol}}}(t) \uparrow$$

$$\text{Intentamos: } x(t) = e^t(\alpha + \beta t) \longrightarrow x' = e^t(\alpha + \beta + \beta t) \longrightarrow$$

$$\longrightarrow x'' = e^t(\alpha + 2\beta + \beta t)$$

$$x'' + 3x' + 2x = e^t(\alpha + 2\beta + \beta t) + 3e^t(\alpha + \beta + \beta t) + 2e^t(\alpha + \beta t) =$$

$$= e^t(\alpha + 2\beta + \beta t + 3\alpha + 3\beta + 3\beta t + 2\alpha + 2\beta t) =$$

$$= e^t(6\beta t + 6\alpha + 5\beta) \quad [1]$$

$$[1] = e^t \cdot t? \Rightarrow \begin{cases} 6\beta = 1 \\ 6\alpha + 5\beta = 0 \end{cases}$$

fácil de resolver  
para  $\alpha$  y  $\beta$ .

VISTO ANTERIORMENTE...

$$x'' + 3x' + 2x = te^t$$

$$\hookrightarrow \lambda_1 = -1, \lambda_2 = -2$$

Ejemplo:  $x'' + 3x' + 2x = te^{-t}$

Intentamos  $x(t) = e^{-t}(\alpha + \beta t + \gamma t^2)$  sobra (lo veremos)

$$x' = e^{-t}(-\alpha - \beta t - \gamma t^2 + \beta + 2\gamma t)$$

es necesario (como veremos)

$$x'' + 3x' + 2x = e^{-t}(4\gamma + 2\beta + 2\gamma t)$$

$$4\gamma + 2\beta = 0, 2\gamma = 1 \rightarrow \boxed{\gamma = \frac{1}{2}} \\ \boxed{\beta = -1}$$

$\alpha$  NO APARECE  
( $e^{-t}$  es solución de la homogénea y esa parte da 0).

es decir,  $x(t) = e^{-t}(t - t^2/2)$  es una solución particular

Ejemplo:  $x'' + 2x' + x = e^{-t}t$  (X)

$$x'' + 2x' + x = 0 \leadsto "e^{\lambda t}"$$

$$\lambda^2 + 2\lambda + 1 = 0 \rightarrow \lambda = -1 \text{ (doble)}$$

$\Rightarrow$  2 soluciones independientes de la homogénea son  $e^{-t}, te^{-t}$

Para buscar una solución particular de (X) tomamos

$$(\alpha + \beta t + \gamma t^2 + \delta t^3)e^{-t} \leadsto \dots$$

sobra

$\hookrightarrow$  por razones de multiplicidad

fijarse en el ejemplo anterior también

## CLAVE

$x(t) = e^{\gamma t} \text{pol}(t) \Rightarrow x'(t)$  es del mismo tipo:  $e^{\gamma t} \hat{\text{pol}}(t)$   
¿Qué familias de funciones cumplen eso?

①  $e^{\gamma t} \text{pol}(t)$ , con  $\text{pol}(t)$  un polinomio de cualquier grado.

CASO PARTICULAR: Si  $\gamma=0$  son simplemente polinomios.

②  $e^{\gamma t} (\text{pol}_1(t) \sin(\alpha t) + \text{pol}_2(t) \cos(\alpha t))$

## ALGUNAS OBSERVACIONES PARA EL CASO GENERAL PARA EC. LIN. ORDEN 2

$x'' + p(t)x' + q(t)x = r(x)$  con  $p(t), q(t), r(t)$  continuas en un intervalo  
y por tanto tenemos existencia y unicidad para el P.V.I.:

$$\begin{cases} x'' + p(t)x' + q(t)x = r(x) \\ x(t_0) = x_0 \\ x'(t_0) = y_0 \end{cases} \quad t_0 \in [\alpha, \beta]$$

① Si se tiene una solución  $x_1(t)$  de la homogénea  $x'' + p(t)x' + q(t)x = 0$   
y  $x_1(t) \neq 0 \forall t \in [\alpha, \beta]$  se puede encontrar una segunda, lin. indep.  
de la primera, de la forma  $x_2(t) = u(t)x_1(t)$  con  $u(t)$  apropiada

Razón:

$$\text{Sea } x(t) = u(t)x_1(t) \Rightarrow x' = u'x_1 + ux_1' \Rightarrow x'' = u''x_1 + 2u'x_1' + ux_1''$$
$$\Rightarrow x'' + p(t)x' + q(t)x = u(\cancel{x_1'' + p x_1' + q x_1}) + u'(2x_1' + p x_1) + u''x_1$$

$x_1$  era solución de la homogénea

Entonces  $u(t)x_1(t)$  es solución de la homogénea si y solo si

$$u''x_1 + u'(2x_1' + p x_1) = 0. \text{ Si llamamos } y(t) = u'(t) \text{ entonces}$$

$$y' = \frac{-(2x_1' + p x_1)}{x_1} y = -\left(\frac{2x_1'}{x_1} + p\right) y \Rightarrow \frac{dy}{y} = \int \left(-\frac{2x_1'}{x_1} + p\right) dt \Rightarrow$$

$$\Rightarrow y = \frac{e^{-P(t)}}{x_1^2(t)} \text{ donde } P'(t) = p(t)$$

$$\text{Entonces: } u' = y = \frac{e^{-P(t)}}{(x_1(t))^2} = u(t) = \int \frac{e^{-P}}{x_1^2}$$

una primitiva de



Afirmación:  $x_2(t) = u(t) x_1(t)$  con  $u(t)$  una primitiva de  $\frac{e^{-P(t)}}{(x_1(t))^2}$  es solución de la homogénea (visto) y es lin. indep. de  $x_1$ .

Razón: basta ver que  $u(t) \neq \text{constante}$ .

$$u'(t) = \frac{e^{-P(t)} \xleftarrow{\text{positivo}}}{(x_1(t))^2} \neq 0 \quad (\forall t \in [\alpha, \beta]) \quad \text{entonces } u \text{ no puede ser constante}$$

Si  $t_0 \in [\alpha, \beta]$

$$P(t) = \int_{t_0}^t p(s) ds$$

$$\int \frac{e^{-P}}{x_1^2} = \int_{t_0}^t \frac{e^{-P(s)}}{(x_1(s))^2} ds \quad \blacksquare$$

②  $x_1, x_2$  lin. indep., soluciones de la homogénea, se puede encontrar una solución particular de  $x'' + px' + qx = r$  de la forma  $u_1(t)x_1(t) + u_2(t)x_2(t)$ .

RECUERDO:

(\*)  $x'' + p(t)x' + q(t)x = r(t)$  con  $p, q, r$  continuas en  $[a, b]$   
 $x_1, x_2$  soluciones independientes de la homogénea (e.d. con  $r(t) = 0$ )  
 entonces se pueden encontrar  $u_1(t), u_2(t)$  tal que  
 $x(t) = u_1x_1 + u_2x_2$  es una solución particular de (\*)  
 Método llamado "Variación de las constantes".

Razón: ①  $x' = u_1x_1' + u_2x_2' + \underbrace{u_1'x_1 + u_2'x_2}_{1^\circ \text{ condición}} \stackrel{!!!}{=} 0$  (esto idénticamente cero)

$$② \quad x'' = (u_1x_1' + u_2x_2')' = u_1x_1'' + u_2x_2'' + u_1'x_1' + u_2'x_2'$$

$$\text{Entonces } x'' + px' + qx = u_1 \underbrace{(x_1'' + px_1' + qx_1)}_{0'' \text{ porque } x_1 \text{ sol. homogénea}} + u_2 \underbrace{(x_2'' + px_2' + qx_2)}_{0'' \text{ porque } x_2 \text{ sol. h}} + u_1'x_1' + u_2'x_2'$$

Es decir, 2ª condición:  $u_1'x_1' + u_2'x_2' = r$

3) Juntando las condiciones:  $u_1 x_1 + u_2 x_2$  es solución de (\*) si y solo si:

$$\begin{aligned} u_1' x_1 + u_2' x_2 &= 0 \\ u_1' x_1 + u_2' x_2 &= r \end{aligned} \quad , \text{ e.d.}, \quad \underbrace{\begin{bmatrix} x_1(t) & x_2(t) \\ x_1'(t) & x_2'(t) \end{bmatrix}}_{\substack{\text{notación} \\ \text{III} \\ W(t)}} \begin{bmatrix} u_1'(t) \\ u_2'(t) \end{bmatrix} = \begin{bmatrix} 0 \\ r(t) \end{bmatrix} \quad t \in [a, b]$$

4) Sea  $w(t) = \det W(t)$  ("Wronskiano de  $x_1$  y  $x_2$ ")

EMA: Si  $x_1, x_2$  son linealmente independientes entonces  $w(t) \neq 0 \quad \forall t \in [a, b]$   
demonstración

Si existe  $t_0 \in [a, b]$  tal que  $w(t_0) = 0$ , entonces las columnas de  $\begin{bmatrix} x_1(t_0) & x_2(t_0) \\ x_1'(t_0) & x_2'(t_0) \end{bmatrix}$  son linealmente dependientes, e.d., una es múltiplo de otra, digamos que  $\begin{bmatrix} x_2(t_0) \\ x_2'(t_0) \end{bmatrix} = c \begin{bmatrix} x_1(t_0) \\ x_1'(t_0) \end{bmatrix}$

Entonces  $x_2$  y  $c x_1$  satisfacen las mismas condiciones iniciales y por unicidad de soluciones de (P.V.I)  $x'' + p x' + q x = 0$   
 $x(t_0) = x_0$   
 $x'(t_0) = y_0$   
 $\begin{pmatrix} x_0 = c x_1(t_0) \\ y_0 = c x_1'(t_0) \end{pmatrix}$   
 se tiene  $x_2(t) = c x_1(t) \quad t \in [a, b]$   
 (Arrows in original image point from  $x_2(t_0)$  to  $x_0$  and from  $x_2'(t_0)$  to  $y_0$ )

contradicción:  $x_1, x_2$  son linealmente independientes

5) Por 4),  $W(t)$  es invertible y  $\begin{bmatrix} u_1' \\ u_2' \end{bmatrix} = W^{-1} \begin{bmatrix} 0 \\ r \end{bmatrix} \rightsquigarrow$

$$\begin{aligned} u_1' &= \frac{-x_2 r}{w} = \frac{-x_2(t) r(t)}{w(t)} \\ u_2' &= \frac{x_1 r}{w} = \frac{x_1(t) r(t)}{w(t)} \end{aligned}$$

$u_1 \rightarrow$  primitiva de  $\frac{-x_2 r}{w}$   
 (por ej.  $\int_a^t \frac{-x_2(s) r(s)}{w(s)} ds$ )

$u_2 \rightarrow$  primitiva de  $\frac{x_1 r}{w}$  ~~(por ejemplo)~~ (por ejemplo  $\int_a^t \frac{x_1(s) r(s)}{w(s)} ds$ )

## COMENTARIOS

①

LEMA 2: Si  $w(t_0) \neq 0$  para algún  $t_0 \in [a, b]$  entonces  $x_1, x_2$  son lin. indep. Como consecuencia  $w(t) \neq 0 \quad \forall t \in [a, b]$ .

demonstración

Directamente, si  $w(t_0) \neq 0$  entonces  $\begin{bmatrix} x_2(t_0) \\ x_2'(t_0) \end{bmatrix} \neq c \begin{bmatrix} x_1(t_0) \\ x_1'(t_0) \end{bmatrix} \quad \forall c \text{ const.}$   
 $\Rightarrow x_2(t) \neq c x_1(t) \quad \forall c \text{ const.}$

demonstración alternativa

Justificar, primero, que  $w(t)$  satisface  $w'(t) + p(t)w(t) = 0$  y, por tanto,  $w(t) = w(t_0) e^{-\int_{t_0}^t p(s) ds}$

Esa expresión es siempre 0 ó siempre  $\neq 0$ . ■

Observación:

$$\frac{d}{dt} \begin{vmatrix} a(t) & b(t) \\ c(t) & d(t) \end{vmatrix} = \begin{vmatrix} a'(t) & b'(t) \\ c(t) & d(t) \end{vmatrix} + \begin{vmatrix} a(t) & b(t) \\ c'(t) & d'(t) \end{vmatrix}$$

② Este método también es útil para coeficientes constantes si  $r(t)$  no es de las familias: exp. polin.  
exp. ( $\text{pol}_1 \sin + \text{pol}_2 \cos$ )

③ ~~Si~~  $x_1$  Todo esto está enunciado en intervalos compactos.  
Truco de "llenar todo" incrementando los intervalos.

## Ejemplos

$$(1-x^2)y'' - 2xy' + 2y = 0 \quad (\text{hoja 3}) \quad \text{con } x \in (-1, 1)$$

$\uparrow$   $p(p+1)$  en general

$\downarrow$  Para  $r \in \mathbb{N}$  siempre existe una (o infinitas) solución que es un polinomio de grado  $r \rightarrow$  polinomios de Legendre  $\uparrow$

$$y_1(x) = x \text{ es solución}$$

Encontrar todas las soluciones de la ecuación:

① Es homogénea  $\leadsto$  basta encontrar  $y_2(x)$  solución lin. indep. de  $y_1$

② Buscamos  $y_2(x) = u(x)y_1(x) = xu(x)$

$$y_2 \text{ es solución} \Leftrightarrow \frac{u''}{u'} = \cancel{4x^2-2} = \frac{4x^2-2}{x-x^3} \Leftrightarrow$$

$$\text{③ } \log|u'| = \int \frac{4x^2-2}{x-x^3} dx = \int \frac{3x^2-1}{x-x^3} dx + \underbrace{\int \frac{x^2-1}{x-x^3} dx}_{= \frac{-1}{x}}$$

$$\leadsto u = \frac{-1}{x} + \frac{1}{2} \log\left(\frac{1+x}{1-x}\right)$$

$$y_2 = -1 + \frac{x}{2} \log\left(\frac{1+x}{1-x}\right)$$

Obs:  $y_2 = -1 + \frac{x}{2} \log\left|\frac{1+x}{1-x}\right|$  es solución en los dos intervalos de  $|x| > 1$ . "Explota" en  $x = \pm 1$

$$y'' - \underbrace{\frac{2x}{1-x^2}}_P y' + \underbrace{\frac{2}{1-x^2}}_Q y = 0$$

$\underbrace{\hspace{10em}} \rightarrow$  singulares en  $\pm 1$  (ni existen ahí)

Ejemplo: Encontrar todas las soluciones de  $y'' - y = e^{2x}$  que cumplen  $y(0) = 0$ .

Homogénea:  $y'' - y = 0 \rightarrow \lambda^2 - 1 = 0 \rightarrow \lambda = \pm 1$

$\Rightarrow y_1(x) = e^x$ ,  $y_2(x) = e^{-x}$  son soluciones lin. indep. de  $y'' - y = 0$

Solución general de ED = sol. part ED + sol. general ED<sub>h</sub>

¿Solución particular ED? Variación de las constantes:  $\uparrow$  ya está obtenida

$$y_p(x) = u_1(x)y_1(x) + u_2(x)y_2(x)$$

$$\begin{matrix} e^x & \rightarrow & y_1 & y_2 & \begin{matrix} e^x \\ e^{-x} \end{matrix} \\ e^x & \rightarrow & y_1' & y_2' & \begin{matrix} e^{-x} \\ -e^{-x} \end{matrix} \end{matrix} \begin{bmatrix} u_1' \\ u_2' \end{bmatrix} = \begin{bmatrix} 0 \\ e^{2x} \end{bmatrix} = r(x) \Rightarrow \begin{cases} e^x u_1' + e^{-x} u_2' = 0 \\ e^x u_1' - e^{-x} u_2' = e^{2x} \end{cases} \xrightarrow{+}$$

$$\xrightarrow{+} 2u_1' e^x = e^{2x} \Rightarrow u_1' = \frac{e^x}{2} \Rightarrow u_1 = \frac{e^x}{2} \text{ por ejemplo}$$

$$\Rightarrow u_2' e^{-x} = -e^x u_1' = -\frac{e^{2x}}{2} \Rightarrow u_2' = \frac{-e^{3x}}{2} \Rightarrow u_2 = \frac{-e^{3x}}{6}$$

$$y_p = \underbrace{\frac{e^x}{2}}_{u_1} \underbrace{e^x}_{y_1} + \underbrace{\left(-\frac{e^{3x}}{6}\right)}_{u_2} \underbrace{e^{-x}}_{y_2} = \left(\frac{1}{2} - \frac{1}{6}\right) e^{2x} = \frac{1}{3} e^{2x} \checkmark \text{ (por ejemplo)}$$

SOLUCIÓN GENERAL:  $y = \frac{e^{2x}}{3} + C_1 e^x + C_2 e^{-x}$

$$0 = y(0) = \frac{1}{3} + C_1 + C_2 \Rightarrow y = \frac{e^{3x}}{3} - \frac{e^{-x}}{3} + C_1 (e^x - e^{-x})$$

$$C_2 = -\frac{1}{3} - C_1 \rightarrow \text{despejar } C_1, C_2$$

Pregunta: Solución general  $y'' - y = e^{2x} + xe^{5x}$

OBSERVACIÓN: Si  $y_j$  es solución de  $y'' + p(x)y' + q(x)y = r_j(x)$  entonces  $\alpha_1 y_1 + \alpha_2 y_2$  es solución de:  $j=1,2$   
 $y'' + p(x)y' + q(x)y = r(x)$  donde  $r(x) = \alpha_1 r_1(x) + \alpha_2 r_2(x)$

## RESONANCIA

$$-x'' + \omega_0^2 x = 0 \quad \begin{pmatrix} mx'' = -Kx \\ x'' = -\frac{K}{m}x \end{pmatrix}$$

(movimiento armónico simple)  
oscilador armónico

$$\omega_0 \neq 0$$

Solución general:  $x = a \sin(\omega_0 t) + b \cos(\omega_0 t)$   $\left( \begin{array}{l} \text{periódica de período } \frac{2\pi}{\omega_0} \\ \text{frecuencia} = \frac{\omega_0}{2\pi} \end{array} \right)$

Fuerza exterior periódica de comportamiento:

$$x'' + \omega_0^2 x = \cos(\omega t)$$

Caso  $\omega \neq \omega_0$

Solución particular? probamos " $a \cos(\omega t)$ "

( $\cos(\omega t)$  no es solución de la homogénea)

$\rightarrow a = \frac{1}{\omega_0^2 - \omega^2}$ , e.d., la solución general de la ED es

$$\frac{\cos(\omega t)}{\omega_0^2 - \omega^2} + \alpha \sin(\omega_0 t) + \beta \cos(\omega_0 t)$$

Caso  $\omega = \omega_0$  Ahora  $\cos(\omega t) \equiv \cos(\omega_0 t)$  es solución de la homogénea  
 $\uparrow$  1 pol. de grado 0

Intentamos una solución particular del tipo  $x = a t \cos(\omega_0 t) + b t \sin(\omega_0 t)$

...

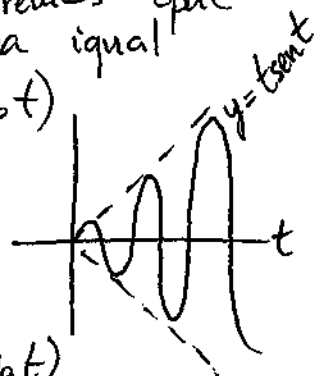
$$x'' + \omega_0^2 x = 2\omega_0 (-a \sin(\omega_0 t) + b \cos(\omega_0 t)) \stackrel{?}{=} \cos(\omega_0 t)$$

queremos que sea igual

eso requiere  $a=0$ ,  $2\omega_0 b = 1$ , e.d.,  $b = \frac{1}{2\omega_0}$

Solución particular:  $x_p(t) = \frac{t \sin(\omega_0 t)}{2\omega_0}$

Solución general:  $x(t) = \frac{t \sin(\omega_0 t)}{2\omega_0} + \alpha \cos(\omega_0 t) + \beta \sin(\omega_0 t)$



### Comentarios

Es más "limpio" resolver las ecuaciones usando  $e^{i\omega t}$ ,  $e^{-i\omega t}$  y luego separando parte real y imaginaria

$$\begin{aligned} \left( \begin{array}{l} x = e^{i\omega t} \\ ie^{-i\omega t} \end{array} \right) &\longrightarrow x' = i\omega e^{i\omega t} \\ &x'' = (i\omega)^2 e^{i\omega t} = -\omega^2 e^{i\omega t} \end{aligned}$$

↙ Pregunta:

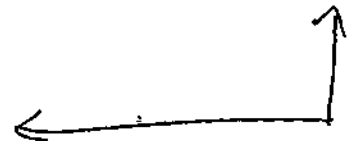
$$x'' + \omega_0^2 x = \cos(\omega t) \quad (\text{ED})$$

$$\text{Para } \omega = \omega_0 \longrightarrow x_p = \frac{t \sin(\omega_0 t)}{2\omega_0}$$

Si  $\omega \neq \omega_0$ :

$$\underbrace{\frac{\cos(\omega t)}{\omega_0^2 - \omega^2} - \frac{\cos(\omega_0 t)}{\omega_0^2 - \omega^2}}_{\text{es solución de ED}} \quad \begin{array}{l} \downarrow \\ \text{sol. de la homogénea} \end{array}$$

$$\begin{aligned} \frac{1}{\omega + \omega_0} \cdot \frac{\cos(\omega t) - \cos(\omega_0 t)}{\omega_0 - \omega} &\xrightarrow{\omega \rightarrow \omega_0} \frac{1}{2\omega_0} - \left. \frac{d}{d\omega} \cos(\omega t) \right|_{\omega = \omega_0} \\ &= \frac{t \sin(\omega_0 t)}{2\omega_0} \end{aligned}$$



# OSCILADOR ARMÓNICO AMORTIGUADO

(Pensar en un muelle)

$$x'' = \underbrace{-\omega_0^2 x}_{\substack{\uparrow \\ \text{fuerza de recuperación del muelle}}} \quad (\text{oscilador armónico simple})$$

Supongamos ahora que hay rozamiento  $\leadsto$  fuerza que es proporcional a la velocidad (para velocidades no muy grandes) en dirección contraria al movimiento.

$$x'' = -\omega_0^2 x - \mu x' \quad \text{ej: } \omega_0 > 0, \mu > 0 \quad \rightarrow \quad x'' + \mu x' + \omega_0^2 x = 0 \quad \text{ecuación lineal homogénea}$$

Solución general =  $C_1 y_1 + C_2 y_2$  con  $y_1, y_2$  sol. lin. indep.

$$\text{¿} y_1, y_2? \rightarrow \lambda^2 + \mu\lambda + \omega_0^2 = 0$$

$$\lambda = \frac{-\mu \pm \sqrt{\mu^2 - 4\omega_0^2}}{2} = -\frac{\mu}{2} \pm \sqrt{\left(\frac{\mu}{2}\right)^2 - \omega_0^2}$$

$$\boxed{\text{caso } \frac{\mu}{2} > \omega_0}$$

$$\lambda_{\pm} = -\frac{\mu}{2} \pm \sqrt{\left(\frac{\mu}{2}\right)^2 - \omega_0^2}$$

$$y_1 = y_+ = e^{\lambda_+ t} \quad \lambda_- < \lambda_+ < 0$$

$$y_2 = y_- = e^{\lambda_- t}$$

$$y_1(t), y_2(t) \rightarrow 0 \quad \text{cuando } t \rightarrow \infty$$

$$\boxed{\text{caso } \frac{\mu}{2} = \omega_0}$$

$$\lambda_+ = \lambda_- = -\frac{\mu}{2} \quad (\text{raíz doble})$$

$$y_1 = e^{-\frac{\mu}{2}t}, \quad y_2 = te^{-\frac{\mu}{2}t}$$

$$\boxed{\text{caso } \frac{\mu}{2} < \omega_0}$$

$$-\frac{\mu}{2} \pm i\sqrt{\omega_0^2 - \left(\frac{\mu}{2}\right)^2} = -\frac{\mu}{2} \pm i\omega_\mu$$

$$\Rightarrow y_1 = e^{-\frac{\mu}{2}t} \cos(\omega_\mu t), \quad y_2 = e^{-\frac{\mu}{2}t} \sin(\omega_\mu t)$$

esto tiende a 0 cuando  $t \rightarrow \infty$ .



### HoJA 3: ejercicio 13

#### Comentarios

$$x'' + \varepsilon x' + 4x = \sin(\omega t)$$

$\varepsilon > 0$  pequeño

solución del tipo  $\alpha \cos() + \beta \sin()$

### HoJA 3: ejercicio 14

$$y_1 \longrightarrow y'' + q(x)y = 0$$

$$y_2 \longrightarrow y'' + r(x)y = 0$$

Hipótesis:  $q(x) > r(x) > 0$

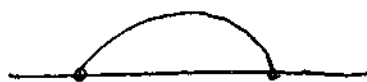
a)  $y_1, y_2 > 0$  en  $I \longrightarrow W(y_1, y_2)$  es estrictamente creciente en:

$$W = \begin{vmatrix} y_1 & y_2 \\ y_1' & y_2' \end{vmatrix} \quad W' > 0 ??$$

$$W' = \begin{vmatrix} y_1' & y_2' \\ y_1'' & y_2'' \end{vmatrix} + \begin{vmatrix} y_1 & y_2 \\ y_1'' & y_2'' \end{vmatrix} = \begin{vmatrix} y_1 & y_2 \\ -qy_1 & -ry_2 \end{vmatrix} = \underbrace{(q-r)}_{\frac{q}{0} - \frac{r}{0}} \underbrace{y_1}_{\frac{y_1}{0}} \underbrace{y_2}_{\frac{y_2}{0}} > 0$$

b)  $f \in C^1$ ,  $f(x) > 0$  si  $a < x < b$ ,  $f(a) = f(b) = 0$

$$\Rightarrow f'(a) \geq 0 \geq f'(b)$$



$$f'(a) \geq 0$$

$$\lim_{h \rightarrow 0} \frac{f(a+h) - f(a)}{h} \geq 0$$

c)  $y_1, y_2$  como en el enunciado, entonces  $y_1$  se anula al menos una vez entre cada par de ceros consecutivos de  $y_2$ .

Sean  $a < b$ ,  $y_2(a) = y_2(b) = 0$ . Podemos suponer  $y(x) > 0$  si

$a < x < b$  (sino, usamos  $-y_2$ )

Basta demostrar que  $y_1(a)y_1(b) < 0$

$W(a) < W(b)$  por el apartado (a)

$$\begin{vmatrix} y_1(a) & y_2(a) \\ y_1'(a) & y_2'(a) \end{vmatrix} \xrightarrow{\substack{\text{operaciones} \\ \text{de filas}}} \begin{vmatrix} y_1(a) & y_2'(a) \\ y_1'(a) & y_2(a) \end{vmatrix} = y_1(b)y_2'(b)$$

Afirmación:  $y_2'(a) > 0$  (es  $\geq 0$  por el apart. (b))

Esto es porque si  $y'(a) = 0$ , entonces  $y_2 \equiv 0$  unicidad  $(*)$   
 $(y_2(a) = 0, y'(a) = 0)$

pero en el enunciado pone que las soluciones son no triviales.

Mismo argumento para ver que  $y_2'(b) < 0$ .

$$y_1(a) y_2'(a) < y_1(b) y_2'(b)$$

$$\Rightarrow y_1(a) y_1(b) < 0$$

↑  
alta el  
razonamiento

$(*)$  ampliación razonamiento

$y_2$  resuelve  $\begin{cases} y'' + r(x)y = 0 \\ y(a) = 0 \\ y'(a) = 0 \end{cases}$

$\hat{y}_2 \equiv 0$  resuelve también esto

$\boxed{\text{unicidad de sol } r(x)}$   
 $\Rightarrow$  Continúa

HOJA 2 - 20

ⓐ  $2yy'' = 1 + (y')^2$

$u(y) \equiv y'$   $\frac{du}{dy} = \frac{du}{dx} \cdot \frac{dx}{dy} = y'' \cdot \frac{1}{y'} = \frac{\frac{1+(y')^2}{2y}}{y'} = \frac{1+u^2}{2yu} \Rightarrow$

$\Rightarrow \frac{du}{dy} = \frac{1+u^2}{2yu}$  variables separables  $y'' = \frac{1+(y')^2}{2y}$

# Ecuaciones Lineales con Coef. Constantes de Orden >

Ejemplo inicial:

$$y^{(IV)} - 2y^{(III)} + 4y'' + 3y = 0$$

Intentamos con  $e^{\lambda x} \rightarrow (\lambda^4 - 2\lambda^3 + 4\lambda^2 + 4\lambda + 3)e^{\lambda x} \underset{\neq 0}{=} 0$

Ecuación general:

$$y^{(n)} + a_{n-1}y^{(n-1)} + \dots + a_1y' + a_0y = 0 \quad (\text{homogénea})$$

$\rightarrow e^{\lambda x}$  es solución  $\Leftrightarrow \underbrace{\lambda^n + a_{n-1}\lambda^{n-1} + \dots + a_1\lambda + a_0}_{p(\lambda)} = 0$

$\rightarrow n$  raíces contadas con multiplicidad  $p(\lambda)$

$\lambda$  simple

$\rightarrow$  real  $\rightarrow e^{\lambda x}$  solución

$\rightarrow$  compleja  $\rightarrow \lambda = a + ib \quad b \neq 0$

soluciones:  $e^{ax} \cos(bx), e^{ax} \sin(bx)$

$(e^{\lambda x}, e^{\bar{\lambda}x})$

$\lambda$  multiplicidad  $m > 1$ :

$\rightarrow$  real  $\rightarrow e^{\lambda x}, x e^{\lambda x}, \dots, x^{m-1} e^{\lambda x}$  soluciones

$\rightarrow$  compleja  $\rightarrow \lambda = a + ib \quad b \neq 0$

$e^{ax} \cos(bx), e^{ax} \sin(bx)$

$x e^{ax} \cos(bx), x e^{ax} \sin(bx)$

$\vdots$

$x^{m-1} e^{ax} \cos(bx), x^{m-1} e^{ax} \sin(bx)$

$\lambda, \bar{\lambda}$   $m$  veces cada una ( $2m$  soluciones)

$$D = \frac{d}{dx}$$

FR = funciones regulares ( $C^\infty$ )

$$D: FR \rightarrow FR$$

$$f \mapsto Df = f'$$

operador lineal  $(\alpha f + \beta g)' = \alpha f' + \beta g'$

$$D(\alpha f + \beta g) = \alpha Df + \beta Dg$$

$$D^2 f = f'' = D(Df) \text{ lineal}$$

$$D^2: FR \xrightarrow{D} FR \xrightarrow{D} FR$$

$$f \mapsto f' \mapsto f''$$

En la ecuación anterior  $y^{(n)} + a_{n-1}y^{(n-1)} + \dots + a_1y' + a_0y = 0$

$$P(D)(y), \quad P(D) = D^n + a_{n-1}D^{n-1} + \dots + a_1D + a_0D^0 = 0$$

① Como  $D(e^{\lambda x}) = \lambda e^{\lambda x}$

$$P(D)(e^{\lambda x}) = P(\lambda)e^{\lambda x}$$

$$P(D)e^{\lambda x} = 0 \iff P(\lambda) = 0$$

② Si  $P(\lambda) = 0$  y  $\lambda$  es múltiple ( $m \geq 2$ )

entonces  $P(D)(xe^{\lambda x}) = 0$ , e.d.,  $xe^{\lambda x}$  también es solución de la EDO.

Razón:

(i)  $P(D)(e^{\lambda x}) = P(\lambda)e^{\lambda x}$

(ii)  $\frac{d}{d\lambda} \frac{d}{dx} = \frac{d}{dx} \frac{d}{d\lambda}$ , e.d.,  $\frac{d}{d\lambda} D = D \frac{d}{d\lambda}$ , y más

generalmente,  $\frac{d}{d\lambda} (a D^k) = a D^k \frac{d}{d\lambda}$

(iii)  $\frac{d}{d\lambda} (P(D)(e^{\lambda x})) \stackrel{(ii)}{=} P(D) \left( \frac{d}{d\lambda} (e^{\lambda x}) \right) = P(D)(xe^{\lambda x})$

(::) Combinando (.) y (··):

$$\begin{aligned} P(D)(xe^{\lambda x}) &\stackrel{(\cdot\cdot)}{=} \frac{d}{d\lambda} (P(D)(e^{\lambda x})) \stackrel{(\cdot)}{=} \frac{d}{d\lambda} (P(\lambda)e^{\lambda x}) = \\ &= P'(\lambda)e^{\lambda x} + P(\lambda)xe^{\lambda x} \end{aligned}$$

(::) Si  $\lambda$  es raíz de ~~orden~~ multiplicidad  $\geq 2$

$$P(\lambda) = 0, \quad P'(\lambda) = 0$$

$$\text{por } (::) : P(D)(xe^{\lambda x}) = \underbrace{(P'(\lambda) + xP(\lambda))}_{\substack{!! \\ 0 \quad !!}} e^{\lambda x}, \text{ e.d.}$$

$$P(D)(xe^{\lambda x}) = 0$$

observación: Si es de orden  $\geq 3$

$$\leadsto \left(\frac{d}{d\lambda}\right)^2 (P(D)(e^{\lambda x})) = \dots$$

# SISTEMAS DE ORDEN 1

## INTRODUCCIÓN

$$x' = f(t, x, y)$$

$$y' = g(t, x, y)$$

$$X' = F(t, X) \quad (X'(t) = F(t, X(t)))$$

$$X(t) = \begin{bmatrix} x(t) \\ y(t) \end{bmatrix}, \quad F(t, X) = \begin{bmatrix} f(t, x, y) \\ g(t, x, y) \end{bmatrix}$$

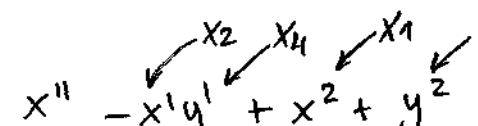
Ejemplo:  $x'' + \mu(1-x^2)x' + x = 0$  (Van der Pol)  $\mu > 0$

$$y = x'$$

$$X = \begin{bmatrix} x \\ y \end{bmatrix} \quad \begin{array}{l} x' = y \leadsto f \\ y' = (x'') = -x - \mu(1-x^2)y \leadsto g \end{array}$$

$$\begin{bmatrix} x \\ y \end{bmatrix}' = \begin{bmatrix} y \\ -x - \mu(1-x^2)y \end{bmatrix}$$

Ejemplo:  $x'' - x'y' + x^2 + y^2 = \sin(t)$   
 $y'' + 2xy' - x^2 = 0$



$$X = \begin{bmatrix} x_1 \\ x_2 \\ x_3 \\ x_4 \end{bmatrix} \quad \begin{array}{l} x_1 = x \\ x_2 = x' \\ x_3 = y \\ x_4 = y' \end{array}$$

$$x_1' = x_2$$

$$x_2' (=x'') = x_2 x_4 + x_1^2 + x_3^2 + \sin t$$

$$X' = F(X) \quad \xrightarrow[\text{t explícitamente}]{\text{no aparece}} \text{SISTEMAS AUTÓNOMOS}$$

Observación: Cualquier sistema se puede convertir en uno autónomo.

$$X' = F(t, X)$$

$$X: (\alpha, \beta) \longrightarrow \mathbb{R}^n$$

$$F: (\alpha, \beta) \times \underbrace{\Omega}_{\cap \mathbb{R}^n} \longrightarrow \mathbb{R}^n$$

$$Y \stackrel{\text{def.}}{=} \begin{bmatrix} t \\ X \end{bmatrix}, \quad Y' = \begin{bmatrix} 1 \\ \underbrace{F(t, X)}_u \end{bmatrix} = \begin{bmatrix} 1 \\ F(Y) \end{bmatrix} = G(Y)$$

Notación:

$X, Y, Z, A, B \dots$  vectores en  $\mathbb{R}^n$  o func.  $(\alpha, \beta) \xrightarrow{\mathbb{R}} \mathbb{R}^n$   
 $A, B, C \rightarrow$  matrices o funciones

## SISTEMAS LINEALES

$$x' = 2tx - e^t y + \operatorname{sen} t$$

$$y' = x - \cos t \cdot y$$

$$\begin{bmatrix} x' \\ y' \end{bmatrix} = \begin{bmatrix} 2t & -e^t \\ 1 & -\cos t \end{bmatrix} \begin{bmatrix} x \\ y \end{bmatrix} - \begin{bmatrix} \operatorname{sen} t \\ 0 \end{bmatrix}$$

$$(EDL) \quad X' = \underbrace{A(t)}_{n \times n} \underbrace{X}_{n \times 1} + \underbrace{B(t)}_{n \times 1}$$

## TEOREMA DE EXISTENCIA, UNICIDAD Y ESTRUCTURA

Sean  $A: [\alpha, \beta] \rightarrow \mathbb{R}^{n \times n}$  ambas continuas.  
 $B: [\alpha, \beta] \rightarrow \mathbb{R}^n$

Sea  $t_0 \in [\alpha, \beta]$ ,  $X_0 \in \mathbb{R}^n$ :

① Existe una solución  $X(t)$  del P.V.I  $\begin{cases} X' = A(t)X + B(t) \\ X(t_0) = X_0 \end{cases} \quad t \in [\alpha, \beta]$   
Es decir, existe  $X: [\alpha, \beta] \rightarrow \mathbb{R}^n$  derivable tal que ... "  
Además, esa solución es única.

② Para la ecuación homogénea asociada  $EDL_H: X' = A(t)X$

2.1 Existen  $X_1(t), \dots, X_n(t)$  linealm. indep.

(e.d.  $\sum_{i=1}^n c_i X_i(t) \equiv 0 \quad t \in [\alpha, \beta] \Rightarrow c_1 = c_2 = \dots = c_n = 0$ ) que son  
soluciones de  $EDL_H$  en  $t \in [\alpha, \beta]$

2.2 Si  $X_1(t), \dots, X_n(t)$  son soluciones linealm. indep de  $EDL_H$   
entonces  $X(t)$  es solución de  $EDL_H$  en  $[\alpha, \beta] \Leftrightarrow \exists c_1, c_2, \dots, c_n \in \mathbb{R}$   
tal que  $X(t) = c_1 X_1(t) + c_2 X_2(t) + \dots + c_n X_n(t)$  (por 2.1 los  
 $c_j$  son únicos).

### 3) (Estructura)

78

Si  $X_p(t)$  es una solución de  $EDL_H$  entonces  $X(t)$  es solución de  $EDL$  (en  $[\alpha, \beta]$ )  $\Leftrightarrow \exists C_1, \dots, C_n \in \mathbb{R}$  tal que

$$X = X_p + \sum_{j=1}^n C_j X_j \quad (\text{los } C_j \text{'s son únicos}).$$

#### demonstración

① No de momento  $\rightarrow$  cuando veamos el resultado general.

② 2.1 Elegimos  $t_0 \in [\alpha, \beta]$

$X_j(t)$  la solución del P.V.I. con  $X_j(t_0) = (0, 0, \dots, 0, \overset{j}{1}, 0, \dots, 0)^T = e_j$

Afirmación: Son linealm. indep., debido a que:

$$\sum C_j X_j(t) \equiv 0 \Rightarrow \sum_{j=1}^n C_j X_j(t_0) = 0, \text{ es decir, } \sum_{j=1}^n C_j e_j = 0 \Rightarrow$$

$$\Rightarrow C_1 = C_2 = \dots = C_n = 0$$

$\uparrow$  es, ..., en es base de  $\mathbb{R}^n$

2.2  $X_1, X_2, \dots, X_n$  soluciones de  $EDL_H$  linealm. indep.

$\Leftarrow$  Si  $X = \sum C_j X_j$  entonces  $X$  es solución

$\Rightarrow$  Elegimos  $t_0 \in [\alpha, \beta]$

a)  $X_1(t_0), \dots, X_n(t_0)$  lin. indep. porque si no lo fuesen existirían  $C_1, \dots, C_n$  no todas cero y tal que

$$C_1 X_1(t_0) + \dots + C_n X_n(t_0) = 0. \text{ Entonces:}$$

$$C_1 X_1(t) + \dots + C_n X_n(t) \text{ resuelve } \begin{cases} X' = A(t)X \\ X(t_0) = 0 \end{cases} \Rightarrow X(t) = 0$$

es también solución. Por unicidad  $\sum_{j=1}^n C_j X_j(t) \equiv 0$  contradicción

b) Si  $X(t)$  es solución de  $EDL_H$ , por a)  $\exists C_1, \dots, C_n$  tal que  $X(t_0) = \sum C_j X_j(t_0)$  ( $X_1(t_0), \dots, X_n(t_0)$  son vect. lin. indep. en  $\mathbb{R}^n \Rightarrow$  base).

$$\text{Por unicidad (sol. de } EDL_H) \quad X(t) = \sum_{j=1}^n C_j X_j(t) \quad t \in [\alpha, \beta]$$



RECUERDAR ③ solución general de  $X' = A(t)X + B(t)$  = sol. parti. + solución general de la homogénea

continuación demostración

Si  $X(t)$  resuelve  $X' = A(t)X + B(t)$

Si  $Y(t) \stackrel{\text{def.}}{=} X(t) - X_p(t)$

$$\begin{aligned} Y' &= X' - X_p' = (A(t)X + B(t)) - (A(t)X_p + B(t)) = \\ &= A(t)X - A(t)X_p = A(t)(X - X_p) \quad , \text{ e.d. } Y' = A(t)Y \\ \Rightarrow Y &= C_1 X_1 + C_2 X_2 + \dots + C_n X_n \quad \checkmark \end{aligned}$$

Comentarios:

② dice que el conjunto de soluciones de la EDLH es un espacio vectorial de dimensión  $n$ .

Además durante la demostración de ② vimos (básicamente) el siguiente lema.

LEMA: Sean  $X_1(t), X_2(t), \dots, X_n(t)$  soluciones de la EDLH. Son equivalentes:

1.  $X_1(t), \dots, X_n(t)$  son lin. indep. como funciones (e.d.  $\sum c_j X_j(t) \equiv 0$  en  $[\alpha, \beta] \Rightarrow c_j = 0$ ).
2.  $\exists t_0 \in [\alpha, \beta]$  tal que  $X_1(t_0), X_2(t_0), \dots, X_n(t_0)$  son vectores lin. indep.
3.  $\forall t \in [\alpha, \beta]$ ,  $X_1(t), \dots, X_n(t)$  son vectores lin. indep.

En la demostración del Tma vimos ①  $\iff$  ② y ③  
se sigue sin dificultad

### Observación

- i) El enunciado del lema sigue siendo cierto si hay  $m (\leq n)$  soluciones.
- ii)  $X_1(t_0), \dots, X_n(t_0)$  son lin. indep.  $\Leftrightarrow \det \begin{bmatrix} \uparrow & & \uparrow \\ X_1(t_0) & \dots & X_n(t_0) \\ \downarrow & & \downarrow \end{bmatrix} \neq 0$

DEFINICIÓN: El WRONSKIANO de  $X_1, \dots, X_n$  es la función

$$w(t) = \det \begin{bmatrix} \uparrow & \uparrow & & \uparrow \\ X_1(t) & X_2(t) & \dots & X_n(t) \\ \downarrow & \downarrow & & \downarrow \end{bmatrix}.$$

Lo que dice parte del lema es  $w(t) \neq 0 \quad \forall t \in [\alpha, \beta] \Leftrightarrow \exists t_0 \in [\alpha, \beta]$  tal que  $w(t_0) \neq 0$ .

Mañana adelante veremos que  $w(t)$  satisface la ecuación  $w'(t) = a(t)w(t) \quad t \in [\alpha, \beta]$  donde  $a(t) = \text{traza}(A(t))$ .

De ahí:  $w(t) = w(t_0) e^{\int_{t_0}^t a(s) ds}$  y se ve que  $w(t) \equiv 0$  o'  $w(t) \neq 0 \quad \forall t \in [\alpha, \beta]$ .

¿CÓMO ENCONTRAR UNA BASE PARA EDLH  $X_1(t), X_2(t), \dots, X_n(t)$ ?

### ► SISTEMA LINEAL CON COEF. CONSTANTES

$$X'(t) = AX(t), \quad A \in M_{n \times n} \text{ constante}$$

Probamos  $X(t) = e^{\lambda t} V \quad V \in \mathbb{R}^n \text{ constante} \quad \text{¿}\lambda, V\text{?}$   
 $\neq 0$

$$X'(t) = \lambda e^{\lambda t} V$$

¿!!?  $\rightarrow$  queremos que estas expresiones sean iguales

$$AX(t) = A(e^{\lambda t} V) = e^{\lambda t} AV$$

$$X' = AX \Leftrightarrow e^{\lambda t} (AV - \lambda V) \equiv 0 \Leftrightarrow AV = \lambda V \Leftrightarrow V \text{ es autovector de } A \text{ con autov. } \lambda$$

Ejemplo:  $X' = \underbrace{\begin{bmatrix} 2 & 0 & -1 \\ 1 & 1 & -1 \\ 0 & 0 & 1 \end{bmatrix}}_A X$

Autovalores de  $A \leadsto 1, 1, 2$  con correspondientes autovectores:

$$V_1 = \begin{bmatrix} 1 \\ 2 \\ 1 \end{bmatrix}, \quad V_2 = \begin{bmatrix} 1 \\ 0 \\ 1 \end{bmatrix}, \quad V_3 = \begin{bmatrix} 1 \\ 1 \\ 0 \end{bmatrix} \quad (\text{son linealm. indep.})$$

$$\leadsto X_1(t) = e^t V_1, \quad X_2(t) = e^t V_2, \quad X_3(t) = e^{2t} V_3$$

$\{V_1, V_2, V_3\}$  base del espacio de soluciones  $X' = AX$

es decir,  $B^{-1}AB = \underbrace{\text{diag}(1, 1, 2)}_{\text{matlab notation}}$ .

Ejemplo:  $X' = \underbrace{\begin{bmatrix} 2 & 1 \\ 0 & 2 \end{bmatrix}}_A X$

Autovalores de  $\begin{bmatrix} 2 & 1 \\ 0 & 2 \end{bmatrix} \xrightarrow{\text{triangular}} 2, 2$

$$\begin{bmatrix} 2 & 1 \\ 0 & 2 \end{bmatrix} \begin{bmatrix} a \\ b \end{bmatrix} = 2 \begin{bmatrix} a \\ b \end{bmatrix}$$

$$\begin{aligned} 2a + b &= 2a \\ 2b &= 2b \\ b &= 0 \end{aligned}$$

$\begin{bmatrix} a \\ 0 \end{bmatrix} \rightarrow \begin{bmatrix} 1 \\ 0 \end{bmatrix}$  autovector  
y no tengo más por este método

$$\Rightarrow X_1(t) = e^{2t} \begin{bmatrix} 1 \\ 0 \end{bmatrix}$$

Para buscar otra intentamos:  $X(t) = e^{2t} \left( \underbrace{C}_{\text{vector en } \mathbb{R}^2} + t \underbrace{D}_{\text{vector en } \mathbb{R}^2} \right)$

$$X' = e^{2t} (2C + D + 2tD)$$

Queremos que esto sea igual a  $\underbrace{\begin{bmatrix} 2 & 1 \\ 0 & 2 \end{bmatrix}}_A X = e^{2t} (AC + tAD)$

es decir, se necesita  $AD = 2D \Rightarrow \underbrace{A}_{\text{por el cálculo hecho arriba}} D = 2D \Rightarrow D = \begin{bmatrix} 1 \\ 0 \end{bmatrix}$

$$AC = 2C + D \Rightarrow (A - 2I)C = D \Rightarrow$$

$$\Rightarrow \underbrace{\begin{bmatrix} 0 & 1 \\ 0 & 0 \end{bmatrix}}_C \begin{bmatrix} a \\ b \end{bmatrix} = \begin{bmatrix} 1 \\ 0 \end{bmatrix} \rightarrow \begin{aligned} b &= 1 \\ a &\text{ cualquiera} \end{aligned} \Rightarrow C = \begin{bmatrix} 0 \\ 1 \end{bmatrix}$$

Conclusión,  $D = \begin{bmatrix} 1 \\ 0 \end{bmatrix}, C = \begin{bmatrix} 0 \\ 1 \end{bmatrix} \Rightarrow X_2(t) = e^{2t} \left( \begin{bmatrix} 0 \\ 1 \end{bmatrix} + t \begin{bmatrix} 1 \\ 0 \end{bmatrix} \right)$

Si, por ejemplo,  $A = \begin{bmatrix} 2 & 1 & 0 \\ 0 & 2 & 1 \\ 0 & 0 & 2 \end{bmatrix}$   $X' = AX$  se intentan:

$$X(t) = e^{2t} \left( u_1 + t u_2 + \frac{t^2}{2!} u_3 + \frac{t^3}{3!} u_4 \right)$$

$$\begin{aligned} (A - 2I) u_4 &= 0 \\ (A - 2I) u_k &= u_{k+1} \end{aligned}$$

n)  $X' = AX$  ;  $A \in M_{d \times d}$

Por el T<sup>ma</sup> de existencia y unicidad  $\exists X_1(t), \dots, X_d(t)$  soluciones linealm. indep.

Sea  $F(t) = \begin{bmatrix} \uparrow & & \uparrow \\ X_1(t) & \dots & X_d(t) \\ \downarrow & & \downarrow \end{bmatrix}$  (el wronskiano de  $X_1(t), \dots, X_d(t)$  es  $\det(F(t))$ ).

DEFINICIÓN:  $F(t)$  es una matriz fundamental de la EDO  $X' = AX$

Observación:

i) La solución general de EDLH es  $\underbrace{F(t) C}_\sum_{j=1}^d c_j X_j(t)$ , con  $C = \begin{bmatrix} c_1 \\ c_2 \\ \vdots \\ c_d \end{bmatrix}$

ii) Esto vale para  $X' = A(t)X$ .

¿  $F(t)$  ?

$$F'(t) = AF(t) \quad ; \quad \det(F(t)) \neq 0 \quad \forall t \in \mathbb{R}$$

$$\begin{bmatrix} \uparrow & & \uparrow \\ \vec{x}_1' & \dots & \vec{x}_d' \\ \downarrow & & \downarrow \end{bmatrix} = A \begin{bmatrix} \uparrow & & \uparrow \\ \vec{x}_1 & \dots & \vec{x}_d \\ \downarrow & & \downarrow \end{bmatrix} = \begin{bmatrix} \uparrow & & \uparrow \\ A\vec{x}_1 & \dots & A\vec{x}_d \\ \downarrow & & \downarrow \end{bmatrix}$$

Vamos a buscar una  $F$  especial, la que cumple  $F(0) = I$ .

$$"F(t) = e^{At}"$$

### EXPONENCIAL DE UNA MATRIZ

$$A \in M_{d \times d}$$

LEMA: La serie  $\sum_{n=0}^{\infty} \frac{A^n}{n!}$  ( $= I + A + \frac{A^2}{2!} + \dots$ )

Esto converge sea cual sea  $A$ .

demonstración

$$\textcircled{1} \text{ Definimos } \|A\| := \max_{x \neq 0} \frac{\|Ax\|_2}{\|x\|_2} = \max_{\|y\|_2=1} \|Ay\|_2 \quad x, y \text{ vectores en } \mathbb{R}^d \text{ ó } \mathbb{C}^d$$

$$\text{y } \|z\|_2 = \sqrt{|z_1|^2 + \dots + |z_d|^2}.$$

Esto es una norma y tiene una propiedad importante:  $\|AB\| \leq \|A\| \|B\|$

En particular:  $\|A^n\| \leq \|A\|^n \quad n \in \mathbb{N}$ .

$$\textcircled{2} \left\| \sum_{n=0}^{\infty} \frac{A^n}{n!} \right\| \leq \sum_{n=0}^{\infty} \frac{\|A\|^n}{n!} \leftarrow \text{converge porque } \lim_{n \rightarrow \infty} \frac{S_{n+1}}{S_n} < 1 \text{ (de hecho es cero)}$$

$$\text{Entonces } \sum_{n=0}^{\infty} \frac{A^n}{n!} \text{ converge y } \left\| \sum_{n=0}^{\infty} \frac{A^n}{n!} \right\| \leq \sum_{n=0}^{\infty} \frac{\|A\|^n}{n!} \quad \blacksquare$$

DEFINICIÓN:  $e^A = \exp(A) := \sum_{n=0}^{\infty} \frac{A^n}{n!}$

## PROPIEDADES BÁSICAS:

① Si  $A$  y  $B$  conmutan (es decir,  $AB = BA$ ) entonces:

$$e^{A+B} = e^A e^B (= e^B e^A)$$

② Si  $A$  es diagonal  $\begin{bmatrix} \lambda_1 & & 0 \\ & \ddots & \\ 0 & & \lambda_d \end{bmatrix} \leftarrow \text{diag}(\lambda_1, \dots, \lambda_d)$ , entonces:

$$e^A = \text{diag}(e^{\lambda_1}, e^{\lambda_2}, \dots, e^{\lambda_d})$$

③ Si  $A = SBS^{-1}$ , entonces  $e^A = Se^BS^{-1}$ .

④ Si  $B$  es una matriz de bloques diagonales entonces:  $B^n = \text{diag}_d(B_1^n, B_2^n, \dots, B_m^n)$

$$e^B = \text{diag}_d(e^{B_1}, e^{B_2}, \dots, e^{B_m})$$

bloques cuadrados  
pero pueden ser de  
distinto tamaño

$$\begin{bmatrix} B_1 & 0 & 0 & \vdots \\ 0 & B_2 & 0 & \vdots \\ 0 & 0 & \ddots & \vdots \\ \vdots & \vdots & \vdots & \ddots \end{bmatrix}$$

$\uparrow \text{diag}_d(B_1, \dots, B_m)$

### demonstración

①  $A, B$  conmutan

$$(A+B)^m = \sum_{k=0}^m \binom{m}{k} A^k B^{m-k} \quad \left( \begin{array}{l} \text{como conmutan podemos usar el binomio de Newton} \\ \text{sumas finitas + paso al límite} \end{array} \right)$$

$$e^A e^B = \left( \sum_{i=0}^{\infty} \frac{A^i}{i!} \right) \left( \sum_{l=0}^{\infty} \frac{B^l}{l!} \right) \stackrel{\text{sumas finitas + paso al límite}}{=} \sum_{m=0}^{\infty} \left( \sum_{\substack{i+l=m \\ l=m-i}} \frac{A^i}{i!} \frac{B^l}{l!} \right) = \sum_{m=0}^{\infty} \frac{1}{m!} \sum_{i=0}^m \frac{m!}{i!(m-i)!} A^i B^{m-i}$$

$$= \sum_{m=0}^{\infty} \frac{1}{m!} (A+B)^m = e^{A+B}$$

$$\textcircled{2} \begin{bmatrix} \lambda_1 & & 0 \\ & \ddots & \\ 0 & & \lambda_d \end{bmatrix}^m = \begin{bmatrix} \lambda_1^m & & 0 \\ & \ddots & \\ 0 & & \lambda_d^m \end{bmatrix}$$

$$\textcircled{4} \begin{bmatrix} B_1 & 0 & \vdots \\ 0 & B_2 & \vdots \\ \vdots & \vdots & \ddots \end{bmatrix}^2 = \begin{bmatrix} B_1^2 & 0 & \vdots \\ 0 & B_2^2 & \vdots \\ \vdots & \vdots & \ddots \end{bmatrix}$$

③  $A = SBS^{-1}$

$$A^2 = SBS^{-1}SBS^{-1} = SB^2S^{-1}$$

$\vdots$

$$A^m = SB^mS^{-1}$$

$$\Rightarrow \sum \frac{A^m}{m!} = S \sum \frac{B^m}{m!} S^{-1}$$

Proposición:  $A \in M_{d \times d}$

$$\frac{d}{dt}(e^{tA}) = Ae^{tA} \quad (= e^{tA} \cdot A)$$

demonstración

$M(t) := e^{tA}$ . Sabemos que  $M'(t) = \lim_{h \rightarrow 0} \frac{M(t+h) - M(t)}{h}$

Entonces: 
$$\frac{e^{(t+h)A} - e^{tA}}{h} \stackrel{\textcircled{1}}{=} \frac{e^{hA} \cdot e^{tA} - e^{tA}}{h} = \frac{e^{hA} - I}{h} e^{tA}$$
  
 $\uparrow$   
 $tA, hA \text{ conmutan}$

Afirmación: 
$$\frac{e^{hA} - I}{h} \xrightarrow{h \rightarrow 0} A$$

Razón: 
$$e^{hA} = I + hA + \frac{h^2 A^2}{2!} + \dots$$

$$\left\| \frac{e^{hA} - I}{h} - A \right\| = \left\| \sum_{n \geq 2} \frac{A^n}{n!} h^{n-1} \right\| \leq \sum_{n \geq 2} \frac{\|A\|^n h^{n-1}}{n!} \leq$$

$$\leq \sum_{n \geq 2} \frac{\|A\|^n |h|^{n-1}}{n!} \leq \left( \sum_{n \geq 2} \frac{\|A\|^n}{n!} \right) \cdot \underbrace{|h|}_{\xrightarrow{h \rightarrow 0} 0}, \text{ es decir,}$$

$\uparrow$   
si  $|h| < 1$   
 $\downarrow$   
 $|h|^{n-1} \leq |h|$

$\uparrow$   
constante

$$\frac{e^{hA} - I}{h} - A \xrightarrow{h \rightarrow 0} 0 \Rightarrow \frac{e^{hA} - I}{h} \xrightarrow{h \rightarrow 0} A$$

# $e^{tA}$ y FORMA DE JORDAN

## FORMA CANÓNICA DE JORDAN

$$A = SJS^{-1}$$

$$J = \begin{bmatrix} J_1 & 0 & 0 \\ 0 & J_2 & 0 \\ 0 & 0 & \ddots \end{bmatrix}$$

Los bloques pueden ser diagonales

$$J_i = \begin{bmatrix} \lambda & 0 \\ 0 & \lambda \end{bmatrix} \quad \circ \quad J_i = \begin{bmatrix} \lambda & 1 & 0 \\ 0 & \lambda & \ddots \\ 0 & \ddots & \lambda \end{bmatrix}$$

$\lambda$  puede ser complejo, en este caso la matriz  $S$  también tiene elementos en  $\mathbb{C}$ .

$$\textcircled{i} \quad e^{tA} = \underset{\substack{\uparrow \\ tA = StJS^{-1} \\ \text{prop. 3}}}{Se^{tJ}S^{-1}} = S \begin{bmatrix} e^{tJ_1} & 0 & 0 \\ 0 & e^{tJ_2} & 0 \\ 0 & 0 & \ddots \end{bmatrix} S^{-1}$$

$$tJ = \begin{bmatrix} tJ_1 & & 0 \\ & tJ_2 & \\ 0 & & \ddots \end{bmatrix}$$

$\textcircled{ii}$  Si el bloque  $B = J_i$  es de la forma  $B = \text{diag}(\lambda, \lambda, \dots, \lambda)$  entonces  $e^{tB} = \text{diag}(e^{t\lambda}, e^{t\lambda}, \dots, e^{t\lambda}) = e^{t\lambda} I$

$$\textcircled{iii} \quad \text{Si } B = J_i = \begin{bmatrix} \lambda & 1 & 0 \\ 0 & \lambda & \ddots \\ 0 & \ddots & \lambda \end{bmatrix} = \lambda I + N \quad \text{con } N = \begin{bmatrix} 0 & 1 & 0 \\ & \ddots & \ddots \\ 0 & & 0 \end{bmatrix}$$

Recordatorio:  $N^2 = \begin{bmatrix} 0 & 1 & 0 \\ & \ddots & \ddots \\ 0 & & 0 \end{bmatrix} \begin{bmatrix} 0 & 1 & 0 \\ & \ddots & \ddots \\ 0 & & 0 \end{bmatrix} = \begin{bmatrix} 0 & 0 & 1 & 0 \\ & \ddots & \ddots & \ddots \\ 0 & & 0 & 0 \end{bmatrix}$

$$\text{Si } N \in \mathcal{M}_{m \times m} \Rightarrow N^{m-1} = \begin{bmatrix} 0 & \ddots & 0 & 1 \\ & \ddots & \ddots & \ddots \\ 0 & & 0 & 0 \end{bmatrix}, \quad N^m = 0$$

$$tB = \lambda tI + tN \Rightarrow e^{tB} = e^{\lambda tI + tN} = \overset{\lambda tI, tN \text{ conmutan}}{e^{\lambda tI} e^{tN}} = e^{\lambda t} e^{tN}$$



$$e^{tN} = \sum_{k=0}^{\infty} \frac{(tN)^k}{k!} = \sum_{k=0}^{m-1} \frac{(tN)^k}{k!} = I + tN + \frac{t^2}{2!}N^2 + \dots$$

$$= \begin{bmatrix} 1 & t & \frac{t^2}{2!} & \dots & \frac{t^{m-1}}{(m-1)!} \\ & 1 & t & \dots & \frac{t^{m-2}}{(m-2)!} \\ & & \ddots & \ddots & \vdots \\ & & & 1 & t \\ & & & & 1 \end{bmatrix}$$

$$\begin{aligned} &\uparrow \\ &N \in \mathcal{M}_{m \times m} \\ &N^m = 0 \Rightarrow N^{m+l} = 0 \quad \forall l \geq 0 \end{aligned}$$

es decir,

$$e^{tB} = e^{tA} e^{tN} = \begin{bmatrix} e^{\lambda t} & te^{\lambda t} & \frac{t^2}{2!}e^{\lambda t} & \dots & \frac{t^{m-1}}{(m-1)!}e^{\lambda t} \\ & e^{\lambda t} & te^{\lambda t} & \dots & \frac{t^{m-2}}{(m-2)!}e^{\lambda t} \\ & & \ddots & \ddots & \vdots \\ & & & e^{\lambda t} & te^{\lambda t} \\ & & & & e^{\lambda t} \end{bmatrix}$$

Recordatorio: ¿por qué aparecen estos bloques?

Porque hay "autovectores generalizados":

$0 \neq v \in \mathbb{R}^d$  tal que:  $J \in \mathcal{M}_{d \times d}$

$$(A - \lambda I)^m v = 0 \quad (m \geq 2)$$

$$(A - \lambda I)^{m-1} v \neq 0$$

$$\left( \Rightarrow v \neq 0, \underbrace{(A - \lambda I)v}_{\neq 0}, \dots, \underbrace{(A - \lambda I)^{m-1}v}_{\neq 0} \right)$$

debido a esto

$v_{m-1} \rightarrow$  solo es este autovector

Ejemplo:

$$A = \begin{bmatrix} 0 & -1 & 0 & 0 \\ 1 & -2 & 0 & 0 \\ 1 & -1 & -1 & 0 \\ -8 & 4 & 4 & 3 \end{bmatrix}$$

$$\leadsto P(\lambda) = \det(A - \lambda I) = \dots$$

$$\text{autovalores} = -1 \text{ (triple)}, 3$$

$$\text{autovectores de } -1: \begin{pmatrix} 1 \\ 1 \\ 0 \\ 1 \end{pmatrix}, \begin{pmatrix} 1 \\ 1 \\ 1 \\ 0 \end{pmatrix}$$

$$\downarrow \text{ autovector} \\ \begin{pmatrix} 0 \\ 0 \\ 0 \\ -1 \end{pmatrix}$$

Necesitamos un autovector generalizado para  $-1$ :

$$(A - \lambda I)^2 \underset{\lambda=-1}{=} (A + I)^2 = \begin{bmatrix} 0 & 0 & 0 & 0 \\ 0 & 0 & 0 & 0 \\ 0 & 0 & 0 & 0 \\ -32 & 16 & 16 & 16 \end{bmatrix} \text{ Ker de esta matriz}$$

$$\rightarrow v = \begin{bmatrix} 1 \\ 0 \\ 1 \\ 1 \end{bmatrix} \rightarrow (A + I)^2 v = 0, \quad (A + I) v \neq 0$$
$$\parallel \begin{bmatrix} 1 \\ 1 \\ 1 \\ 0 \end{bmatrix}$$

$$\Rightarrow J = \begin{bmatrix} -1 & 0 & 0 & 0 \\ 0 & 3 & 0 & 0 \\ 0 & 0 & -1 & 1 \\ 0 & 0 & 0 & -1 \end{bmatrix}$$

$$S = \begin{bmatrix} 1 & 0 & 1 & 1 \\ 1 & 0 & 1 & 0 \\ 0 & 0 & 1 & 1 \\ 1 & -1 & 0 & 1 \end{bmatrix}$$

$$A = SJS^{-1}$$

$$e^{tA} = S e^{tJ} S^{-1} = S \begin{bmatrix} e^{-t} & & & \\ & e^{3t} & & \\ 0 & & e^{-t} & te^{-t} \\ & & 0 & e^t \end{bmatrix} S^{-1}$$

## PROPIEDADES

$$\textcircled{1} e^{(t+s)A} = e^{tA} e^{sA} \quad \forall t, s \in \mathbb{R}$$

$$\textcircled{2} e^{tA} \text{ es invertible y su inversa es } e^{-tA} \quad \forall t \in \mathbb{R}$$

demostración

$$\textcircled{1} tA, sA \text{ conmutan}$$

$$\textcircled{2} e^{(t-t)A} = e^{tA} e^{-tA}$$

$$\overset{||}{e^{0A}} = I$$

RECUERDO:

$$X' = A(t)X \quad A \in \mathcal{M}_{d \times d}$$

$$F(t) = \left[ \overset{\uparrow}{\underset{\downarrow}{x_1}} \cdots \overset{\uparrow}{\underset{\downarrow}{x_d}} \right] \text{ soluciones linealmente independientes } \rightarrow \text{matriz fundamental}$$

VISTO: Como consecuencia del T<sup>ma</sup> de existencia y unicidad

Proposición:  $F(t)$  es matriz fundamental  $\Leftrightarrow F'(t) = A(t)F(t)$

$\exists t_0$  tal que  $F(t_0)$  es invertible (y entonces lo es para cualquier  $t$ ).

$$\begin{array}{c} \downarrow \\ F' = \left[ \overset{\uparrow}{\underset{\downarrow}{x_1'}} \cdots \overset{\uparrow}{\underset{\downarrow}{x_d'}} \right] = \left[ A(t)x_1, \dots, A(t)x_d \right] = A(t) \underbrace{\left[ \overset{\uparrow}{\underset{\downarrow}{x_1}} \cdots \overset{\uparrow}{\underset{\downarrow}{x_d}} \right]}_{F(t)} \end{array}$$

Para el caso:  $X' = AX$



Proposición:  $e^{tA}$  es una matriz fundamental para  $X' = AX$  que además cumple que su valor en  $t=0$  es  $I$  ( $\leadsto$  matriz fundamental principal en  $t=0$ )

demonstración

- $\frac{d}{dt} e^{tA} = A e^{tA}$
- $e^{0A} = I \quad ((e^{tA})^{-1} = e^{-tA})$

Recordatorio: Si  $F(t)$  es una matriz fundamental la solución general de  $X' = A(t)X$  es  $F(t)C$  ( $= c_1 X_1 + c_2 X_2 + \dots + c_d X_d$ )  
 $\uparrow \begin{bmatrix} c_1 \\ c_2 \\ \vdots \\ c_d \end{bmatrix}$

$e^{tA}$   $\begin{cases} \rightarrow \text{pasando a la forma canónica de Jordan} \\ \rightarrow \text{encontrar las } X_1(t), \dots, X_d(t) \text{ "directamente" es decir:} \end{cases}$

(i) Se calculan los autovalores de  $A$ , es decir, las soluciones de  $\det(A - \lambda I) = 0$

$\uparrow$  pol. grado  $d$

(polinomio característico de

(ii) Buscar tantas soluciones de  $X' = AX$  (con datos iniciales apropiados) como el tamaño de  $A$  (" $d$ ").

-  $\lambda$  autovalor con multiplicidad  $m \Rightarrow$   
 $\Rightarrow$  necesitamos  $m$  lin. indep. asociados a este autovalor.

- todas las posibles de la forma  $e^{\lambda t} V$  (e.d.  $V$  autovector de  $A$  con autovalor  $\lambda$ )  
 luego todas las posibles (indep. de las anteriores) de la forma  $e^{\lambda t} (V_1 + tV_2)$

Si es necesario se continua con  $e^{\lambda t} (V_1 + tV_2 + t^2 V_3)$  y así sucesivamente.

## Usos de $e^{tA}$

① Solución del PVI  $\begin{cases} X' = AX \\ X(t_0) = X_0 \end{cases}$

- solución general de  $X' = AX$

"FC"

$$X(t) = e^{tA} C_1$$

$$X_0 = X(t_0) = e^{t_0 A} C_1 \Rightarrow C_1 = (e^{t_0 A})^{-1} X_0 = e^{-t_0 A} X_0$$

$$\text{es decir, } X(t) = e^{tA} C_1 = e^{tA} e^{-t_0 A} X_0 = e^{(t-t_0)A} X_0$$

② Solución particular de  $X' = AX + B(t)$

Variación de las constantes  $\rightarrow$  Intentamos  $X(t) = e^{tA} U(t)$

$$X'(t) = \left( \frac{d}{dt} e^{tA} \right) U(t) + e^{tA} \cdot \frac{d}{dt} U(t) =$$

$$= A \underbrace{e^{tA} U(t)}_{X(t)} + e^{tA} U'(t)$$

Buscamos esta igualdad:  $\begin{matrix} X' = AX + e^{tA} U'(t) \\ \parallel ?? \\ AX + B(t) \end{matrix}$

Necesitamos  $e^{tA} U'(t) = B(t) \leadsto U'(t) = (e^{tA})^{-1} B(t) = e^{-tA} \cdot B$

$U(t)$  una primitiva de  $e^{-tA} B(t)$ . Por ejemplo:

$$U(t) = \int_{t_0}^t e^{-sA} B(s) ds$$

La solución particular sería  $X(t) = e^{tA} U(t) = e^{tA} \int_{t_0}^t e^{-sA} B(s) ds$

③ Solución de  $\begin{cases} X' = AX + B(t) \\ X(t_0) = X_0 \end{cases}$

$$X(t) = e^{(t-t_0)A} X_0 + e^{tA} \int_{t_0}^t e^{-sA} B(s) ds$$

Lo mismo se puede hacer para el caso general  $X' = A(t)X + B(t)$  si  $F(t)$  es matriz fundamental

$$\text{PVI} \begin{cases} X' = A(t)X \\ X(t_0) = X_0 \end{cases}$$

$$X(t) = F(t) C$$

$$X_0 = X(t_0) = F(t_0) C \Rightarrow C = F(t_0)^{-1} X_0$$

$$\Rightarrow X(t) = F(t) F(t_0)^{-1} X_0$$

De la misma forma:

- Solución particular de  $X' = A(t)X + B(t)$

$$F(t) \int_{t_0}^t F(s)^{-1} B(s) ds$$

- Solución de  $\begin{cases} X' = A(t)X + B(t) \\ X(t_0) = X_0 \end{cases}$

$$: X(t) = F(t) F(t_0)^{-1} X_0 + F(t) \int_{t_0}^t F(s)^{-1} B(s) ds$$

Ejemplo:

$$A = \begin{bmatrix} 2 & 0 & 0 \\ 0 & 4 & -3 \\ 0 & 3 & 7 \end{bmatrix}$$

¿ $e^{tA}$ ?

#### ④ Autovalores

$$0 = \begin{vmatrix} 2-\lambda & 0 & 0 \\ 0 & 4-\lambda & -3 \\ 0 & 3 & 7-\lambda \end{vmatrix} \Rightarrow \lambda=2, \lambda=4 \text{ (doble)}$$

②  $\lambda = 2 \leadsto$  autovector  $\begin{bmatrix} 1 \\ 0 \\ 0 \end{bmatrix}$

$X_1(t) = e^{2t} \begin{bmatrix} 1 \\ 0 \\ 0 \end{bmatrix}$  es solución de  $X' = AX$

$\lambda = 4 \quad (A - 4I)V = 0$

$\begin{bmatrix} -2 & 0 & 0 \\ 0 & -3 & 3 \\ 0 & 3 & 3 \end{bmatrix} \leadsto \begin{bmatrix} 0 \\ 1 \\ -1 \end{bmatrix}$  (0 múltiplos)

$X_2(t) = e^{4t} \begin{bmatrix} 0 \\ 1 \\ -1 \end{bmatrix}$  es solución

Pero 4 solo contribuye una solución (con autovectores)

③ Buscamos otra del tipo  $e^{4t}(U_1 + tU_2)$  con  $U_2 \neq 0$

$X = e^{4t}(U_1 + tU_2)$

$X' = e^{4t}(4U_1 + U_2 + 4tU_2)$

$\parallel$   
 $AX = A(e^{4t}(U_1 + tU_2)) = e^{4t}(AU_1 + tAU_2)$ , e.d.,

$AU_1 = 4U_1 + U_2 \Rightarrow AU_2 = 4U_2$ , e.d.,

$\begin{cases} (A - 4I)U_1 = U_2 \\ (A - 4I)U_2 = 0 \end{cases}$  y necesitamos  $U_2 \neq 0$ .

$U_1$  tal que  $(A - 4I)^2 U_1 = 0$  [1]

$\underbrace{(A - 4I)U_1}_{U_2} \neq 0$  [2]

$(A - 4I)^2 = \begin{bmatrix} 4 & 0 & 0 \\ 0 & 0 & 0 \\ 0 & 0 & 0 \end{bmatrix}$  cualquier  $U_1$  tal que  $U_1 = \begin{bmatrix} 0 \\ a \\ b \end{bmatrix}$   
por [1]

Como necesitamos  $(A - 4I) V_1 \neq 0$  por [2]

$$(A - 4I) = \begin{bmatrix} -2 & 0 & 0 \\ 0 & -3 & 3 \\ 0 & 3 & 3 \end{bmatrix}$$

Por ejemplo:  $V_1 = \begin{bmatrix} 0 \\ 1 \\ 0 \end{bmatrix} \Rightarrow V_2 = (A - 4I)V_1 = \begin{bmatrix} 0 \\ -3 \\ 3 \end{bmatrix}$

$$\Rightarrow X_3(t) = e^{4t} \left( \begin{bmatrix} 0 \\ 1 \\ 0 \end{bmatrix} + \begin{bmatrix} 0 \\ -3 \\ 3 \end{bmatrix} t \right) = \begin{bmatrix} 0 \\ (1-3t)e^{4t} \\ 3te^{4t} \end{bmatrix}$$

→

Comentarios: Si estuviésemos en dimensión más alta:

i) Buscaríamos todas las soluciones de este estilo:

$$e^{4t} (V_1 + tV_2) \text{ tal que } V_2 \neq 0.$$

ii) Si no hay entre autovectores y las de i) tantas lin. indep. como la multiplicidad del autovalor buscamos el mayor número posible de la forma:

$$e^{4t} \left( V_1 + tV_2 + \frac{t^2}{2!} V_3 \right) \text{ tal que:}$$

$$(A - 4I)^3 V_1 = 0$$

$$V_3 \neq 0$$

$$V_{k+1} = (A - 4I) V_k \quad k=1, 2,$$

etc...





$$F(t) = \begin{bmatrix} \uparrow & \uparrow & \uparrow \\ X_1(t) & X_2(t) & X_3(t) \\ \downarrow & \downarrow & \downarrow \end{bmatrix} = \begin{bmatrix} e^{4t} & 0 & 0 \\ 0 & e^{4t} & (1-3t)e^{4t} \\ 0 & -e^{4t} & 3te^{4t} \end{bmatrix}$$

cies  $e^{tA} = F(t)$   
No!  $\rightarrow F(0) \neq I$

$$F(0) = \begin{bmatrix} 1 & 0 & 0 \\ 0 & 1 & 1 \\ 0 & -1 & 0 \end{bmatrix}$$

Observación/Proposición: Si  $F(t)$  es una matriz fundamental y

$B$  es invertible  $\Rightarrow F(t)B$  también es matriz fundamental.

del mismo tamaño que  $F(t)$  demonstración  $\downarrow$   $F$  matriz fundamental

$$(F(t)B)' = F'(t)B = (AF(t))B = A(F(t)B)$$

es decir, las columnas de  $F(t)B$  son soluciones

Si  $F(t_0)$  es invertible,  $F(t_0)B$  es invertible (por serlo ambas).  $\blacksquare$

Vamos ahora a "corregir"  $F(t)$ :  $F(t) \cdot B \Big|_{t=0} = I$

Entonces:  $F(0)B = I \Rightarrow B = F(0)^{-1}$

$$F(0)^{-1} = \begin{bmatrix} 1 & 0 & 0 \\ 0 & 0 & -1 \\ 0 & -1 & 1 \end{bmatrix}$$

$$\Rightarrow e^{tA} = F(t) \begin{bmatrix} 1 & 0 & 0 \\ 0 & 0 & -1 \\ 0 & -1 & 1 \end{bmatrix} = \begin{bmatrix} X_1 & X_3 & X_3 - X_2 \\ e^{2t} & 0 & 0 \\ 0 & (1-3t)e^{4t} & -3te^{4t} \\ 0 & 3te^{4t} & (1+3t)e^{4t} \end{bmatrix}$$

## Comentarios

- Para  $X' = AX + B(t)$
- Si  $B(t) = e^{\mu t} \begin{bmatrix} \text{pol}_1(t) \\ \text{pol}_2(t) \\ \text{pol}_3(t) \end{bmatrix}$  se intenta  $X(t)$  del mismo estilo (igual si aparecen sen, cos, etc.)

Si en  $X' = AX$  aparecen autovalores complejos  $\lambda = a + ib \rightarrow$   
 $\rightarrow$   $\begin{matrix} \text{vector} \\ V \end{matrix}$  también es complejo  $\rightarrow \begin{matrix} \text{Re}(e^{\lambda t} V) \\ \text{Im}(e^{\lambda t} V) \end{matrix} \quad (?)$

$$X' = A(t)X \quad \text{en } M_{d \times d}$$

$X_1, \dots, X_d$  soluciones (no necesariamente lin. indep.)

$$F(t) \stackrel{\text{def.}}{=} \begin{bmatrix} \uparrow & & \uparrow \\ X_1 & \dots & X_d \\ \downarrow & & \downarrow \end{bmatrix} \quad w(t) = \det(F(t))$$

PROPOSICIÓN:  $w$  satisface la EDO  $w'(t) = a(t)w(t)$  donde  
 $a(t) = \text{traza}(A(t))$ . Como consecuencia  $w(t) = w(t_0) e^{\int_{t_0}^t a(s) ds}$   
y  $w(t) \equiv 0$  (en el intervalo de definición) o  $w(t) \neq 0 \quad \forall t$   
(en su intervalo de definición)

demonstración

$$F' = A(t)F(t)$$

$$F = \begin{bmatrix} \leftarrow f_1 \rightarrow \\ \vdots \\ \leftarrow f_d \rightarrow \end{bmatrix}, \quad A(t) = \begin{bmatrix} \leftarrow a_1 \rightarrow \\ \vdots \\ \leftarrow a_d \rightarrow \end{bmatrix}$$

$$\begin{aligned} i) \quad \frac{d}{dt} \det(F) &= \begin{vmatrix} \leftarrow f_1' \rightarrow \\ \leftarrow f_2 \rightarrow \\ \vdots \\ \leftarrow f_d \rightarrow \end{vmatrix} + \begin{vmatrix} \leftarrow f_1 \rightarrow \\ \leftarrow f_2' \rightarrow \\ \vdots \\ \leftarrow f_d \rightarrow \end{vmatrix} + \dots + \begin{vmatrix} \leftarrow f_1 \rightarrow \\ \leftarrow f_2 \rightarrow \\ \vdots \\ \leftarrow f_d' \rightarrow \end{vmatrix} \\ &= \sum_{i=1}^d \begin{vmatrix} \leftarrow f_1 \rightarrow \\ \vdots \\ \leftarrow f_i' \rightarrow \\ \vdots \\ \leftarrow f_d \rightarrow \end{vmatrix} \quad \leftarrow f_i' = a_i F \quad (F' = AF) \end{aligned}$$

$$\begin{aligned}
&= \sum_{i=1}^n \begin{vmatrix} \leftarrow f_1 \rightarrow \\ a_{i1} f_1 \\ \leftarrow f_d \rightarrow \end{vmatrix} = \sum_{i=1}^n \begin{vmatrix} \leftarrow f_1 \rightarrow \\ a_{i1} f_1 + a_{i2} f_2 + \dots + a_{id} f_d \\ \leftarrow f_d \rightarrow \end{vmatrix} = \\
&= \sum_{i=1}^d \sum_{j=1}^d a_{ij} \begin{vmatrix} \leftarrow f_1 \rightarrow \\ \vdots \\ \leftarrow f_d \rightarrow \end{vmatrix} = \sum_{i=1}^d a_{ii} \begin{vmatrix} \leftarrow f_1 \rightarrow \\ \vdots \\ \leftarrow f_d \rightarrow \end{vmatrix} = (\sum a_{ii}) \cdot w(t) \\
&\quad \text{"traza"}(A(t))
\end{aligned}$$

## EXISTENCIA Y UNICIDAD

INTRODUCCIÓN:  $X' = F(t, X)$  (PVI)  
 $X(t_0) = X_0$

$$\begin{array}{ccc}
F: [a, b] \times \Omega & \longrightarrow & \mathbb{R}^d \\
\downarrow & \uparrow & \nearrow \\
t_0 & X_0 & \text{abto. en } \mathbb{R}^d
\end{array}$$

$$X(t) = X(t_0) + \int_{t_0}^t X'(s) ds = \underbrace{X_0 + \int_{t_0}^t F(s, X(s)) ds}_{\substack{\text{si cumple el} \\ \text{PVI}}}$$

Notación  
 $G(X)(t)$   
 $\uparrow$  función  $X(t)$

Hay que resolver  $X = G(X)$

$G$ : espacio de funciones  $\longrightarrow$  espacio de funciones

Intentamos:

$$X_0(t) \equiv X_0$$

$$X_{n+1}(t) = G(X_n)(t)$$

Objetivo

Ver si  $X_n$  converge (digamos a una función  $X^*$ ) y si cuando  $X_n \rightarrow X^*$  (funciones), entonces  $G(X_n) \rightarrow G(X^*)$ , es decir "G es continua"  $\rightarrow$  convergencia de funciones

# CONVERGENCIA DE FUNCIONES

$I \subset \mathbb{R}$  (típicamente un intervalo)  $f: I \rightarrow \mathbb{R}$

## DEFINICIÓN: (CONVERGENCIA PUNTUAL UNIFORME)

Sean  $f_n: I \rightarrow \mathbb{R}$ ,  $f: I \rightarrow \mathbb{R}$ .

①  $f_n$  converge a  $f$  puntualmente (o punto a punto) si y solo si  $f_n(t) \xrightarrow{n \rightarrow \infty} f(t) \quad \forall t \in I$  (notación:  $f_n \xrightarrow{pp} f$ )

②  $f_n$  converge uniformemente a  $f$  si y solo si  $\forall \varepsilon > 0$   
 $\exists N \in \mathbb{N}$  tal que  $|f_n(t) - f(t)| < \varepsilon \quad \forall t \in I \quad \forall n \geq N$ .

## Observación:

⚠ Diferencia fundamental entre 1 y 2.

1)  $\forall \varepsilon > 0, \forall t \in I \exists N$  tal que  $|f_n(t) - f(t)| < \varepsilon$   
 Ese  $N = N(\varepsilon, t)$

2)  $\forall \varepsilon > 0, \exists N \dots$  Ese  $N = N(\varepsilon)$

Por otro lado, claramente:  $f_n \xrightarrow{\text{unif.}} f \Rightarrow f_n \xrightarrow{pp} f$   
 $\Leftarrow$  falso en general

## Ejemplo

$f_n: [0,1] \rightarrow \mathbb{R} \quad f_n(x) = 1 + x^n$

$f_n(x) \xrightarrow{n \rightarrow \infty} \begin{cases} 1 & \text{si } 0 \leq x < 1 \\ 2 & \text{si } x = 1 \end{cases}$  definición de nuestra  $f$ .

$f_n \xrightarrow{pp} f$

Afirmación:  $f_n \not\xrightarrow{\text{unif.}} f$  en  $[0,1]$

$|f_n(x) - f(x)| < \varepsilon, \quad n \geq ??$

$x < 1 \quad |f_n(x) - f(x)| = x^n < \varepsilon \Rightarrow n \log x < \log \varepsilon \xrightarrow{\text{negativo}} \Rightarrow n > \frac{\log \varepsilon}{\log x}$   
 $(-\log \varepsilon < n(-\log x))$

Cuando  $x \rightarrow 1$ ,  $\log x \rightarrow 0 \Rightarrow \frac{\log \varepsilon}{\log x} \rightarrow \infty$

$N \geq \frac{\log \varepsilon}{\log x}$   $N$  tiene que depender de  $x$

$$N = \frac{\log \varepsilon}{\log x} + 1$$

Pero  $f_n \rightarrow f$  unif. en  $[0, a]$  para  $a < 1$

$$|f_n(x) - f(x)| = x^n \leq a^n < \varepsilon$$

$$\Updownarrow \\ n > \frac{\log \varepsilon}{\log a} \approx N$$

Observación: otra forma de expresar  $f_n \xrightarrow{\text{unif.}} f$  es la siguiente.

$$|f_n(t) - f(t)| < \varepsilon \quad \forall t \in I \quad \text{si} \quad n \geq N.$$

$$\sup_{t \in I} |f_n(t) - f(t)| \leq \varepsilon$$

$$\|f_n - f\|_\infty$$

### DEFINICIÓN/NOTACIÓN

Sea  $g: I \rightarrow \mathbb{R}$

$$\|g\|_\infty = \sup_{t \in I} |g(t)| \quad \left( \begin{array}{l} \text{puede ser } +\infty \text{ si } g \\ \text{no está acotada} \end{array} \right)$$

### PROPIEDADES $\|\cdot\|_\infty$

$$i) \|f\|_\infty = 0 \Leftrightarrow f \equiv 0$$

$$ii) \|\lambda f\|_\infty = |\lambda| \|f\|_\infty, \quad \lambda \in \mathbb{R}$$

$$iii) \|f + g\|_\infty \leq \|f\|_\infty + \|g\|_\infty$$

### demonstración iii

$$|f(t) + g(t)| \leq \underbrace{|f(t)|}_{\|f\|_\infty} + \underbrace{|g(t)|}_{\|g\|_\infty}, \quad \text{es decir,}$$

$$|f(t) + g(t)| \leq \|f\|_\infty + \|g\|_\infty \Rightarrow \overbrace{\sup_{t \in I} |f(t) + g(t)|}^{\|f+g\|_\infty} \leq \\ \leq \|f\|_\infty + \|g\|_\infty \Rightarrow \|f+g\|_\infty \leq \|f\|_\infty + \|g\|_\infty \quad \blacksquare$$

### Comentarios

i)  $+\infty + a = +\infty$

ii)  $f_n \xrightarrow{\text{unif.}} f \iff \|f_n - f\|_\infty \longrightarrow 0$

### Ejemplos (de espacios de funciones)

①  $B(I) = \left\{ g: g: I \rightarrow \mathbb{R}, g \text{ acotada} \right\}$   
e.d.  $\exists L_g \in \mathbb{R} : |g(t)| \leq L_g \quad \forall t \in I$

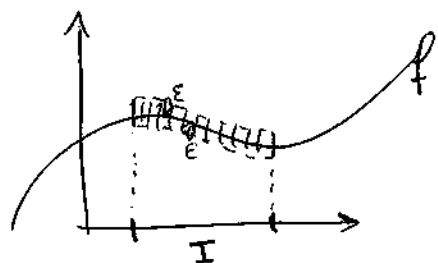
$$\|g\|_\infty < \infty \text{ si } g \in B(I)$$

$B(I)$  es un espacio vectorial y  $\|\cdot\|_\infty$  es una norma en él.

②  $I = [a, b], \quad C([a, b]) = \left\{ f: f: [a, b] \rightarrow \mathbb{R} \text{ continua} \right\}$   
es un espacio vectorial ( $\subseteq B(I)$ ), y  $\|\cdot\|_\infty$  es una norma en él.

Observación: no se necesita  $I = [a, b]$ , basta que  $I \subseteq \mathbb{R}$  sea compacto.

Visualmente  $f_n \xrightarrow{\text{unif}} f$



$\forall \varepsilon > 0 \exists N = N(\varepsilon)$  tal que  $|f_n(t) - f(t)| < \varepsilon$

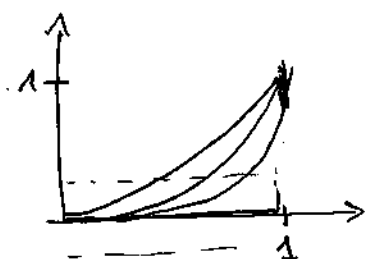
$\forall t \in I$   
 $\forall n \geq N$

el gráfico de  $f_n$  tiene que estar en esa "banda"  $\uparrow 2\varepsilon$  si  $n$  es grande.

Ejemplo:

$$f_n(x) = x^n \quad 0 \leq x \leq 1$$

$$x^n \longrightarrow \begin{cases} 0 & \text{si } x \in [0, 1) \\ 1 & \text{si } x = 1 \end{cases} \leftarrow f(x)$$



$$\|f_n - f\|_{\infty} = ?$$

Ejemplo:  $f_n(x) = \frac{x}{1+n^2x}$  en  $[0, 1]$  ¿converge uniformemente? (a alg)

$$f_n(x) \xrightarrow{n \rightarrow \infty} \begin{cases} 0 & \text{si } x = 0 \\ 0 & \text{si } x > 0 \end{cases}$$

$\uparrow$   
 $n^2x \rightarrow \infty$  si  $x > 0$

$\forall \varepsilon > 0 \exists N$  tal que  $|f_n(x) - f(x)| < \varepsilon \quad \forall x \in [0, 1] \quad \forall n \geq N$

$$\varepsilon > 0 \quad |f_n(x) - f(x)| = |f_n(x)| = \frac{x}{1+n^2x}$$

2 casos

$$0 \leq x \leq \varepsilon \Rightarrow \frac{x}{1+n^2x} \leq x < \varepsilon \quad \checkmark \quad (\text{para cualquier } n)$$

$$\varepsilon \leq x \leq 1 \Rightarrow \frac{x}{1+n^2x} \leq \frac{1}{1+n^2\varepsilon} \leq \frac{1}{1+n^2\varepsilon} \stackrel{??}{<} \varepsilon$$

$$\frac{1}{1+n^2\varepsilon} < \varepsilon \Leftrightarrow 1+n^2\varepsilon > \frac{1}{\varepsilon} \Leftrightarrow n^2\varepsilon > \frac{1}{\varepsilon} - 1, \text{ e.d.,}$$

suponemos  $\varepsilon < 1$   $\Rightarrow n \geq \sqrt{\frac{(1/\varepsilon - 1)}{\varepsilon}} = N(\varepsilon)$  NO DEPENDE DE  $x$   $\checkmark$

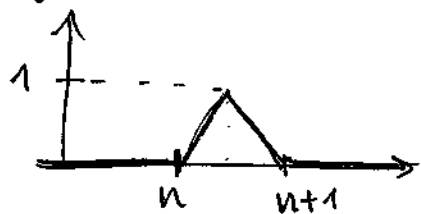
## PREGUNTA

Como  $f_n \xrightarrow{\text{unif.}} 0$ ,  $\|f_n\|_\infty \rightarrow 0$

¿ $\|f_n\|_\infty$ ?

$$\sup_{x \in [0,1]} |f_n(x)| = \max_{x \in [0,1]} f_n(x) \quad \leftarrow f_n \geq 0 \text{ continua}$$

## Ejemplo



$$f_n: [0, \infty) \rightarrow \mathbb{R}$$

$$f_n(x) \xrightarrow{n \rightarrow \infty} 0$$

$$\|f_n\|_\infty = 1 \not\rightarrow 0 \quad f_n \not\xrightarrow{\text{unif.}} f \quad \forall x \geq 0$$

PROPOSICIÓN: Sean  $f_n, f: I \rightarrow \mathbb{R}$  tal que  $f_n \xrightarrow{\text{unif.}} f$ .

Supongamos que  $f_n$  es continua para todo  $n \in \mathbb{N}$ . Entonces  $f$  es continua.

## demonstración

Sea  $t_0 \in I$  ¿ $f$  es continua en  $t_0$ ?

¿ $\forall \varepsilon > 0 \exists \delta > 0$  tal que si  $|t - t_0| < \delta$   $t \in I$  entonces  $|f(t) - f(t_0)| < \varepsilon$ ?

$$|f(t) - f(t_0)| = |f(t) - f_n(t) + f_n(t) - f_n(t_0) + f_n(t_0) - f(t_0)| \leq^{(*)}$$

$$\leq \underbrace{|f(t) - f_n(t)|}_{\textcircled{1}} + \underbrace{|f_n(t_0) - f(t_0)|}_{\textcircled{2}} + \underbrace{|f_n(t) - f_n(t_0)|}_{\textcircled{3}}$$

Como  $f_n \xrightarrow{\text{unif.}} f$ , dado  $\varepsilon > 0$  existe  $N$  tal que  $|f_n(t) - f(t)| < \varepsilon/3$

En  $(*)$  fijamos  $n = N$  Entonces  $\textcircled{1} < \frac{\varepsilon}{3}$   $\textcircled{2} < \frac{\varepsilon}{3}$   $\textcircled{3} |f_N(t) - f_N(t_0)| < \frac{\varepsilon}{3}$   $\forall t \in I, \forall n \geq N$

Como  $f_n$  es continua  $\exists \delta > 0$  tal que  $|f_N(t) - f_N(t_0)| < \varepsilon/3$

para  $|t - t_0| < \delta, t \in I$ , y  $|f(t) - f(t_0)| \leq \textcircled{1} + \textcircled{2} + \textcircled{3} < \varepsilon$   $\square$



### COROLARIO:

$$\left. \begin{array}{l} f_n \xrightarrow{pp} f \\ f_n \text{ cont. } \forall n \\ f \text{ no continua} \end{array} \right\} \Rightarrow f_n \not\xrightarrow{\text{unif.}} f$$

¿Cómo comprobar que  $f_n$  converge uniformemente sin conocer su (posible) límite?

DEFINICIÓN:  $f_n: I \rightarrow \mathbb{R}$ , son una sucesión de CAUCHY para  $\|\cdot\|$  si y sdo  $\|f_n - f_m\|_\infty \xrightarrow{n,m \rightarrow \infty} 0$ , e.d.,  $\forall \varepsilon > 0 \exists N$  tal que  $\|f_n - f_m\|_\infty < \varepsilon \quad \forall n, m \geq N$ .

PROPOSICIÓN: Si  $f_n$  es una sucesión de Cauchy entonces  $\exists f: I \rightarrow \mathbb{R}$  tal que  $f_n \xrightarrow{\text{unif.}} f$ .

demonstración

i)  $f_n(x)$  converge  $\forall x \in I$ .

$$\text{Sea } x \in I \quad (*) \quad |f_n(x) - f_m(x)| \leq \sup_{y \in I} |f_n(y) - f_m(y)| = \|f_n - f_m\|_\infty \xrightarrow{n,m} 0$$

Entonces  $\{f_n(x)\}_n$  es sucesión ( $x$  fijado) de Cauchy en  $\mathbb{R}$

( $\mathbb{R}$  completo)  $\Rightarrow f_n(x)$  converge a un punto de  $\mathbb{R}$ .

Llamemos  $f(x)$  a ese punto,  $f: I \rightarrow \mathbb{R}$  y  $f_n \xrightarrow{pp} f$

ii)  $f_n \xrightarrow{\text{unif.}} f$

$\forall \varepsilon > 0 \exists N$  tal que  $\|f_n - f_m\|_\infty < \varepsilon \quad n, m \geq N$

Por (\*)  $|f_n(x) - f_m(x)| < \varepsilon \quad \forall n, m \geq N \quad \forall x \in I$

$\downarrow$   
 $f(x)$

Hacemos  $m \rightarrow \infty$ .

## VISTO

$$\left. \begin{array}{l} f_n \rightarrow f \\ f_n \text{ continua} \end{array} \right\} \Rightarrow f \text{ continua}$$

$$f_n \text{ sucesión de Cauchy en } \|\cdot\|_\infty \Rightarrow f_n \xrightarrow{\text{unif.}}$$

$$C([a,b]), \quad \|f\|_\infty = \sup_{x \in [a,b]} |f(x)|$$

$\|\cdot\|_\infty \rightarrow$  permite definir una "distancia"  $\|f - g\|_\infty$

PROPOSICIÓN:  $(C([a,b]), \|\cdot\|_\infty)$  es completo, e.d., toda sucesión de Cauchy converge (a un elemento de ese espacio).

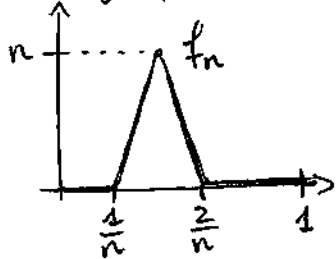
Demostración  $\{f_n\}_{n \in \mathbb{N}}$

$$\textcircled{1} \quad \begin{array}{l} \text{Cauchy} \\ \|\cdot\|_\infty \end{array} \Rightarrow \text{converge uniformemente (a } f)$$

$$\textcircled{2} \quad \left. \begin{array}{l} f_n \text{ continua} \\ f_n \xrightarrow{\text{unif.}} f \end{array} \right\} \Rightarrow f \text{ continua (y } \|f_n - f\|_\infty \xrightarrow{0} 0)$$

## CONVERGENCIA E INTEGRALES

Ejemplo:



$$\int_0^1 f_n(x) dx = \frac{1}{2}$$

$$f_n \xrightarrow{pp} 0 = f$$

$$\int_0^1 f = 0$$

$$f_n \not\xrightarrow{\text{unif.}} f$$

PROPOSICIÓN: Sean  $f_n, f: [a, b] \rightarrow \mathbb{R}$  integrables y tal que  $f_n \xrightarrow{\text{unif.}} f$  en  $[a, b]$ . Entonces,  $\int_a^b f_n \xrightarrow{n \rightarrow \infty} \int_a^b f$

COROLARIO:  $f_n \in C([a, b])$   
 $f_n \xrightarrow{\text{unif.}} f (\Rightarrow f \in C([a, b])) \left\} \Rightarrow \int_a^b f_n \rightarrow \int_a^b f$

demonstración prop.

$$\left| \int_a^b f_n - \int_a^b f \right| = \left| \int_a^b (f_n - f) \right| \leq \int_a^b |f_n(x) - f(x)| dx \leq$$

$$\leq \int_a^b \|f_n - f\|_{\infty} = \|f_n - f\|_{\infty} (b-a) \xrightarrow{n \rightarrow \infty} 0$$

$$|f_n(x) - f(x)| \leq \|f_n - f\|_{\infty}$$

## SERIES DE FUNCIONES

Recordatorio: ①  $A_n \in \mathbb{R}$ ,  $\sum A_n$  converge  $\Leftrightarrow S_n \stackrel{\text{def.}}{=} \sum_{m=0}^n A_m$  converge.

$\Leftrightarrow$   $\{S_n\}$  Cauchy  $\Leftrightarrow \sum_{k=m}^n A_k (= A_{m+1} + \dots + A_n)$  converge a 0  $\underset{m, n \rightarrow \infty}{\quad}$

②  $A_n \geq 0$

Si  $\lim_{n \rightarrow \infty} \frac{A_{n+1}}{A_n} < 1$  entonces  $\sum A_n$  converge  
 existe  $\gamma < 1$

$f_n: I \rightarrow \mathbb{R}$

$$\sum f_n \xrightarrow{\text{pp}} g$$

$$\sum f_n \xrightarrow{\text{unif.}} g$$

$$S_n(x) = \sum_{k=1}^n f_k(x)$$

$$S_n(x) \xrightarrow[\forall x \in I]{\text{pp}} g(x)$$

$$S_n \xrightarrow{\text{unif.}} g \text{ en } I$$

$$\sum f_n \xrightarrow{\text{unif.}} g \Rightarrow \sum f_n \xrightarrow{\text{pp}} g$$

CRITERIO DE CAUCHY:  $\sum f_n \xrightarrow{\text{unif.}} () \iff \{S_n\}$  es sucesión de Cauchy para  $\|\cdot\|_\infty$ .

CRITERIO DE WEIERSTRASS:  $f_n: I \rightarrow \mathbb{R}$  y supongamos que  $\|f_n\|_\infty \leq M_n \in \mathbb{R}$  y que  $\sum_{n=1}^{\infty} M_n < \infty$ . Entonces  $\sum f_n$  converge uniformemente en  $I$ , y su límite se denota  $\sum_{n=1}^{\infty} f_n(x)$

demostración

$$\sum f_n \xrightarrow{\text{unif.}} \stackrel{\text{def}}{=} S_n \xrightarrow{\text{unif.}} \text{ donde } S_n(x) = \sum_{k=1}^n f_k(x)$$

$$S_n \xrightarrow{\text{unif.}} \iff \{S_n\} \text{ es Cauchy en } \|\cdot\|_\infty, \text{ e.d. } \|S_n - S_m\|_\infty \xrightarrow{n,m \rightarrow \infty} 0$$

$$S_n(x) - S_m(x) = \sum_{k=m+1}^n f_k(x) \text{ suponemos } m \leq n.$$

$$\text{Tomando } \|\cdot\|_\infty : \|S_n - S_m\|_\infty = \left\| \sum_{k=m+1}^n f_k \right\|_\infty \leq \sum_{k=m+1}^n \|f_k\|_\infty \leq \sum_{k=m+1}^n M_k \xrightarrow{n,m \rightarrow \infty} 0 \text{ pues } \sum_{k=1}^{\infty} M_k \text{ converge.}$$

Ejemplos

①  $\sum_{n=1}^{\infty} x^n$  converge uniformemente en  $|x| < r < 1$ .

Razón:  $f_n(x) = x^n$ ,  $I = [-r, r]$  ( $r < 1$ )

$$|x^n| \leq |x|^n \leq r^n \quad \begin{matrix} \downarrow \\ |x| \leq r \end{matrix} \text{ auxiliar}$$

②  $\sum r^n$  converge si  $r < 1$  ( $a_n = r^n$ ,  $\lim_{n \rightarrow \infty} \frac{a_{n+1}}{a_n} = r < 1 \checkmark$ )

Razón: Por el Crit. Weierstrass:

$\sum x^n$  converge uniformemente en  $|x| \leq r$

Como  $S_n = \sum_{k=1}^n x^k$  es continua (es un polinomio), y

$$S_n(x) \xrightarrow{\text{unif.}} \sum_{m=1}^{\infty} x^m, \text{ entonces } f(x) \stackrel{\text{def.}}{=} \sum_{m=1}^{\infty} x^m \text{ es continua en } [-r, r] \text{ (y por tanto en } |x| < 1)$$

③  $\sum_{n=1}^{\infty} \frac{1}{n^x}$  converge uniformemente en  $x \geq a > 1$ .

$\left( \sum_{n=1}^{\infty} \frac{1}{n^z} \right)$   $z \in \mathbb{C}$  es la función  
 $\text{Re}(z) > 1$  Zeta de Riemann  
 $\hookrightarrow e^{z \log n}$

$$x \geq a \Rightarrow n^x \geq n^a \Rightarrow \frac{1}{n^x} \leq \frac{1}{n^a}$$

$$\left\| \frac{1}{n^x} \right\|_{\infty} \leq \frac{1}{n^a} \text{ en } [a, \infty) \text{ y } \sum \frac{1}{n^a} \text{ converge.}$$

Por C-W  $\sum \frac{1}{n^x}$  converge unif. en  $x \geq a$  y  $\sum_{n=1}^{\infty} \frac{1}{n^x}$  continua.

Ejemplo

$\sum_{n=1}^{\infty} \frac{\cos(3^n x)}{2^n}$  converge uniformemente en  $\mathbb{R}$ .

$\left\| \frac{\cos(3^n x)}{2^n} \right\|_{\infty} = \frac{1}{2^n}$  y  $\sum \frac{1}{2^n} < \infty$   
Función de Weierstrass: es continua pero No es derivable en NINGÚN punto.

Derivando formalmente:  $-\sum_{n=1}^{\infty} \frac{3^n}{2^n} \sin(3^n x)$

Enlazando con esto:

Proposición: Sean  $f_n: [a, b] \rightarrow \mathbb{R}$   $C^1$

Supongamos que:

- $f_n' \xrightarrow{\text{unif.}} g$
- $\exists t_0 \in [a, b]$  tal que  $f_n(t_0)$  converge

Entonces  $\exists f: [a, b] \rightarrow \mathbb{R}$   $C^1$  y tal que:

- $f_n \xrightarrow{\text{unif.}} f$
- $f' \rightarrow g$

(Para series:  $\sum f_n' \xrightarrow{\text{unif.}} g$ ,  $\sum f_n(t_0)$  conv.  $\Rightarrow \sum f_n$ )  
 converge unif. y  $(\sum f_n)' = \sum f_n'$

Demostración (esquema demostración)

i)  $f_n(t) = f_n(t_0) + \int_{t_0}^t f_n'(s) ds$

ii)  $f_n$  es Cauchy para  $\|\cdot\|$  las.

iii)  $f_n$  converge y se puede pasar al límite en i).

iv)  $f$  verifica:  $f(t) = f(t_0) + \int_{t_0}^t g(s) ds \Rightarrow f' = g$ .

! TÉCNICA HABITUAL (cjo con el Crit. de Weierstrass)

Para comprobar  $f_n \xrightarrow{\text{unif.}}$  se puede pasar a una serie de funciones:

$g_1 = f_1$ ,  $g_2 = f_2 - f_1$ , ...,  $g_n = f_n - f_{n-1}$   $n \geq 2$

$f_n = g_1 + g_2 + \dots + g_n = \sum_{m=1}^n g_m$ , e.d., convergencia de

$f_n \iff$  convergencia de  $\sum g_n$ .

!! Todo lo visto para funciones con valores en  $\mathbb{R}$  es válido para:

• funciones  $I \rightarrow \mathbb{C}$  ( $|\cdot| \equiv$  módulo)

• funciones  $I \rightarrow \mathbb{R}^d$   
 $\mathbb{C}^d$

$v = \begin{bmatrix} v_1 \\ v_2 \\ \vdots \\ v_d \end{bmatrix}$   $|v| = \sum_{j=1}^d |v_j|$  (• cualquier otra norma)

$$f_n: I \longrightarrow \mathbb{R}^d$$

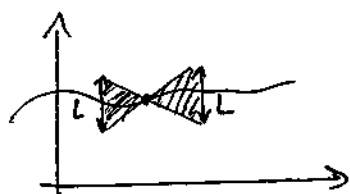
$$f_n \xrightarrow{\text{unif.}} f \iff f_n^k \xrightarrow{\text{unif.}} f^k \quad k=1, \dots, d$$

$$\begin{bmatrix} f_n^1 \\ \vdots \\ f_n^d \end{bmatrix} \quad \begin{bmatrix} f^1 \\ \vdots \\ f^d \end{bmatrix}$$

convergencia unif. componente a componente

## PREVIO EXISTENCIA Y UNICIDAD

DEFINICIÓN:  $f$  es LIPSCHITZ si y solo si  $\exists L \in \mathbb{R}$  tal que  $|f(x) - f(y)| \leq L|x - y| \quad \forall x, y \in A$



Observación: Lipschitz  $\Rightarrow$  continua

PROPOSICIÓN: Sea  $\Omega \subset \mathbb{R}^m$  abto.,  $f: \Omega \longrightarrow \mathbb{R}^d \in C^1$ :

① Si  $\Omega$  es convexo y  $\exists C \in \mathbb{R}$  tal que  $\left| \frac{\partial f_i}{\partial x_j}(x) \right| \leq C$   
 $\forall x \in \Omega, \forall i=1, \dots, d, \forall j=1, \dots, m$ ,  
 entonces  $f$  es Lipschitz.

② Si  $A \subset \Omega$  es compacto y convexo,  $f$  es Lipschitz en  $A$

demonstración

①  $\begin{array}{c} \circ x \text{---} \circ y \\ \text{---} \end{array} \subset \Omega \quad \gamma(t) = x + t(x-y) \quad 0 \leq t \leq 1$

$$\begin{aligned} f(y) - f(x) &= f(\gamma(1)) - f(\gamma(0)) = \int_0^1 \frac{d}{dt} (f(\gamma(t))) dt \\ &= \int_0^1 \sum_{j=1}^m \frac{\partial f}{\partial x_j}(\gamma(t)) \cdot \gamma_j'(t) dt \end{aligned}$$

tomamos valores absolutos  $\Rightarrow$

$$\begin{aligned} |f(x) - f(y)| &= \left| \sum \dots \right| \leq \sum \left| \int \dots \right| \leq \sum \int \left\| \frac{\partial f}{\partial x_j}(\gamma(t)) \right\| |y_j - x_j| dt \leq \int_0^1 C \cdot d \cdot \sum |y_j - x_j| dt \\ &= \underbrace{C \cdot d}_L |x - y| = L \cdot |x - y| \quad \blacksquare \end{aligned}$$

(2) Igual que (1) usamos que al ser  $\Omega$  compacto y

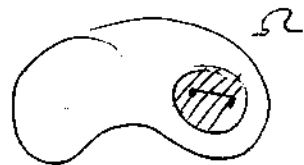
$\frac{\partial f_i}{\partial x_j}$  continuas  $\Rightarrow \exists C$  como en (1).

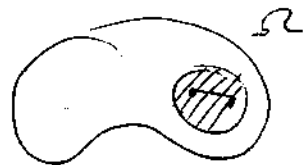
$$|f(x) - f(y)| \leq L|x - y|$$

COROLARIO: Sea  $\Omega \subset \mathbb{R}^m$  abto.,  $f: \Omega \rightarrow \mathbb{R}^d \in C^1$ ,  
entonces  $f$  es localmente Lipschitz, e.d., si  $x_0 \in \Omega$  y  
 $\overline{B}(x_0, \delta) \subset \Omega$  se tiene que  $f$  es Lipschitz en  $\overline{B}(x_0, \delta)$ .

Recuerda:  $\overline{B}(u, \delta) = \{x \in \mathbb{R}^m : |x - u| \leq \delta\}$

demonstración

$A = \overline{B}(x_0, \delta)$  es un compacto convexo en  $\Omega$  



Comentarios: estos van a ser los casos que usemos, pero:

i)  $f(x) = |x|$  es Lipschitz en  $\mathbb{R}$

ii) Si  $f(x) = \int_0^x g(u) du$ , con  $g$  integrable y acotada en  $[-a, a]$ ,  
es Lipschitz.  $(|f(y) - f(x)| = |\int_x^y g(u) du| \leq \|g\|_\infty |y - x|)$

TEOREMA (Existencia y unicidad GLOBAL)

Sea  $F: [a, b] \times \mathbb{R}^d \rightarrow \mathbb{R}^d$  continua y tal que  $\exists L \in \mathbb{R}$  con

$|F(t, X) - F(t, Y)| \leq L|X - Y| \quad \forall t \in [a, b] \quad ("F \text{ es Lipschitz en } X$   
unif. en  $t \in [a, b])$ .

Sea  $t_0 \in [a, b]$  y  $X_0 \in \mathbb{R}^d$ , entonces:

• Existe  $X: [a, b] \rightarrow \mathbb{R}^d \in C^1$  y tal que  $\begin{cases} X'(t) = F(t, X(t)) & \forall t \in [a, b] \\ X(t_0) = X_0 \end{cases}$

• Esa  $X(t)$  es única.



### demostración

① Sea  $h > 0$ , con  $h < \frac{1}{L}$  ( $Lh < 1$ ). Entonces existe  $X(t) \subset \mathbb{R}^1$  en  $\underbrace{[t_0 - h, t_0 + h] \cap [a, b]}_{\substack{\text{no vac.} \\ I}}$  y tal que  $X' = F(t, x)$  en  $I$   
 $X(t_0) = X_0$

### razón

i) Definimos recursivamente:

$$X(t_0) \equiv X_0, \quad t \in [a, b]$$

$$X_{n+1}(t) = X_0 + \int_{t_0}^t F(s, X_n(s)) ds \quad n \geq 0$$

Afirmación:  $X_n$  es continua (y está definida) para todo  $t \in [a, b]$

demostración: (quejas de este esquema de \*\*\*\* a Antonio Sánchez)

Por inducción en  $n$ :

-  $n=0$

- cierto para  $n$ :  $X_n$  continua

$\Rightarrow F(s, X_n(s))$  es continua (composición de continuas) =

$\Rightarrow \int_{t_0}^t F(s, X_n(s)) ds$  es continua  $\Rightarrow X_{n+1}$  continua.  $\square$

$$ii) \|X_{n+1} - X_n\|_{\infty} \leq (Lh)^n \|X_1 - X_0\|_{\infty} \quad n \geq 1$$

(aquí  $\|\cdot\|_{\infty} = \max_{t \in I} |\cdot|$ )

demostración: por inducción  $n \geq 1$

$$X_{n+1}(t) - X_n(t) = \int_{t_0}^t F(s, X_n(s)) ds - \int_{t_0}^t F(s, X_{n-1}(s)) ds$$

$$\Rightarrow |X_{n+1}(t) - X_n(t)| \leq \left| \int_{t_0}^t |F(s, X_n(s)) - F(s, X_{n-1}(s))| ds \right| \leq$$

$$\stackrel{\text{F-Lipschitz}}{\leq} \left| \int_{t_0}^t L |X_n(s) - X_{n-1}(s)| ds \right| \leq \left| \int_{t_0}^t L \|X_n - X_{n-1}\|_{\infty} ds \right| =$$

$$= L \|X_n - X_{n-1}\|_{\infty} |t - t_0| \stackrel{t \in I}{\leq} Lh \|X_n - X_{n-1}\|_{\infty}$$

Tomando  $\max_{t \in I}$ ,  $\|X_{n+1} - X_n\|_\infty \leq L.h. \|X_n - X_{n-1}\|_\infty \leq$   
 $\leq \dots \leq (Lh)^n \cdot \underbrace{\|X_1 - X_0\|_\infty}_{\text{un número}} \quad \left( \begin{array}{l} X_1 - X_0 \text{ es continua en} \\ I, \text{ que es un compacto} \end{array} \right)$

iii)  $X_n(t)$  converge unif. en  $I$

demostración

Sea  $D_n = X_n - X_{n-1}$ ,  $n \geq 1$

$X_n = X_0 + \underbrace{D_1}_{X_1 - X_0} + \underbrace{D_2}_{X_2 - X_1} + \dots + \underbrace{D_n}_{X_n - X_{n-1}}$  converge unif. de  $X_n \Leftrightarrow$

$\Leftrightarrow$  convergencia unif.  $\sum_{n=0}^{\infty} D_n$  ( $D_0 = X_0$ )

Por ii):  $\|D_n\|_\infty \leq (Lh)^{n-1} \cdot \|D_1\|_\infty$   $n \geq 1$

Si  $hL < 1$ , la serie  $\sum (Lh)^k$  converge por el criterio de Weierstrass  $\sum D_n$  converg. unif. en  $I$ , e.d.,  $X_n \xrightarrow{\text{unif.}} X$  en  $I$ .  
 Llamemos  $X$  al límite (que es continua en  $I$  por serlo cada  $D_n$  y ser la conv. unif.)  $\blacksquare$

iv)  $X(t) = X_0 + \int_{t_0}^t F(s, X(s)) ds \quad t \in I$

demostración: pasar al límite en:  $X_{n+1}(t) = X_0 + \int_{t_0}^t F(s, X_n(s)) ds$

$X_{n+1}(t) \xrightarrow{\text{pp}} X(t)$  (de hecho  $\xrightarrow{\text{unif.}}$ )

Afirmación:  $F(t, X_n(t)) \xrightarrow{\text{unif.}} F(t, X(t)) \quad t \in I$

razón

$|F(t, X(t)) - F(t, X_n(t))| \leq L |X(t) - X_n(t)| \leq$   
 $\leq L \|X - X_n\|_\infty \quad t \in I$

$\|F(\cdot, X(\cdot)) - F(\cdot, X_n(\cdot))\|_\infty \leq L \|X - X_n\|_\infty \xrightarrow{n \rightarrow \infty} 0$

$\Rightarrow F(t, X_n(t)) \xrightarrow{\text{unif.}} F(t, X(t)) \quad \text{en } t \in I \Rightarrow$

$\Rightarrow \lim_{n \rightarrow \infty} \int_{t_0}^t F(s, X_n(s)) ds = \int_{t_0}^t F(s, X(s)) ds \quad \blacksquare$  fin razón  
 fin demostración

v) Como  $X(t) = X_0 + \int_{t_0}^t F(s, X(s)) ds$

- $X(t_0) = X_0 + 0 = X_0 \checkmark$
- $X'(t) = \left( \int_{t_0}^t F(s, X(s)) ds \right)' = F(t, X(t))$  ←  $F(t, X(t))$  continua

vi)  $X$  es única, es decir, si  $Y: I \rightarrow \mathbb{R}^d$   $C^1$  satisface

$$\begin{cases} Y'(t) = F(t, Y(t)), & t \in I \\ Y(t_0) = X_0 \end{cases}, \text{ entonces } X(t) = Y(t) \quad \forall t \in I.$$

demonstración

Como  $Y(t) = X_0 + \int_{t_0}^t F(s, Y(s)) ds$  (y  $X$  también lo verifica).

Restando:  $Y(t) - X(t) = \int_{t_0}^t [F(s, Y(s)) - F(s, X(s))] ds$

Supongamos  $t_0 < t$  (para  $t < t_0$  es similar)

$$|Y(t) - X(t)| = \left| \int_{t_0}^t \dots \right| \leq \int_{t_0}^t |F(s, Y(s)) - F(s, X(s))| ds \leq$$

$$\leq \int_{t_0}^t L |Y(s) - X(s)| ds \leq L \int_{t_0}^t \|Y - X\|_{\infty} = L \|Y - X\|_{\infty} (t - t_0) \leq$$

$$\leq L \cdot h \|Y - X\|_{\infty}. \text{ Tomando } \sup_{t \in I} (\max_{t \in I} \text{ porque son continuas})$$

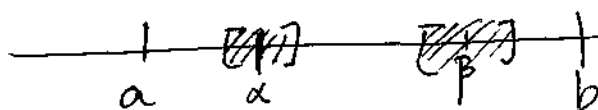
$$\|Y - X\|_{\infty} \leq L \cdot h \|Y - X\|_{\infty}, \text{ pero } Lh < 1 \Rightarrow \|Y - X\|_{\infty} = 0, \text{ e.d.,}$$

$$Y(t) = X(t) \quad \forall t \in I. \quad \blacksquare$$

② La solución encontrada en ① se puede extender ("prolongar") a todo  $[a, b]$ :

i) Idea:

Si hemos extendido a  $[\alpha, \beta]$  y, digamos,  $\beta < b$



↑  
encuentras  
solución  
única en este intervalo

ii) Supongamos que podemos extraer la solución a  $[\alpha, \beta]$  y ese  $\beta$  es máximo con esa propiedad. Entonces  $\beta = b$ .

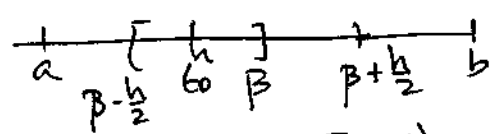
demonstración

Sea  $h = \frac{1}{2L}$  ( $h < \frac{1}{L}$ )

Sea  $t_0 = \beta - \frac{h}{2}$ ,  $\hat{X}_0 = X(t_0)$

Por ① aplicado a  $t_0, \hat{X}_0$  da una solución  $\hat{X}$  definida en  $[t_0 - h, t_0 + h] \cap [a, b]$  (obs:  $t_0 + h = \beta - \frac{h}{2} + h = \beta + \frac{h}{2}$ )

Sea 
$$X_{\text{nueva}}(t) = \begin{cases} X(t) & t \leq \beta \\ \hat{X}(t) & \text{si } t \geq t_0 - h \text{ (y } t \in [a, b]) \end{cases}$$



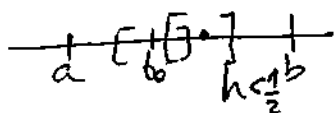
Como  $X$  y  $\hat{X}$  están def. en  $[t_0 - \frac{h}{2}, t_0 + \frac{h}{2}]$  y cumplen la EDO y  $X(t_0) = \hat{X}(t_0)$ . Por la unicidad de ①,  $X(t) = \hat{X}(t)$   $t \in [t_0 - \frac{h}{2}, t_0 + \frac{h}{2}] \cap [a, b]$ ,  $X_{\text{nueva}}$  es solución de la EDO hasta  $\beta + \frac{h}{2}$  (o  $\min(\beta + \frac{h}{2}, b)$ )

(para  $t < \beta \rightarrow$  usar  $X$   
para  $\beta - \frac{h}{2} < t \rightarrow$  usar  $\hat{X}$ )

con  $X_{\text{nueva}}(t_0) = X_0$   
"  $X(t_0)$  contradicción ~~XX~~ ■

### ③ Unicidad en $[a, b]$

i) Idea



$X, Y$  soluciones en  $[a, b]$

$X(t_0) = Y(t_0) = X_0$

ii) Esquema algo más riguroso:

A. Sea  $C = \{t \in [a, b] : X(t) = Y(t)\}$

$C \neq \emptyset \rightarrow t_0 \in C!!$   
porque

B.  $C$  es cerrado (relativo) en  $[a, b]$

demonstración

Basta ver que si  $t_n \in C \ \forall n$  y  $t_n \rightarrow t$  entonces  $t \in C$

Pero si  $t_n \rightarrow t$

$X(t_n) = Y(t_n)$

cont.  $\downarrow$   $\downarrow$  cont.

$X(t) = Y(t)$

ed.,  $t \in C$ .

c.  $G$  es abto. en  $[a,b]$ , e.d.,  $\forall \bar{t} \in G \exists \delta > 0$  tal que  $(\bar{t} - \delta, \bar{t} + \delta) \cap [a,b] \subset G$ .

demonstración

•  $X(\bar{t}) = Y(\bar{t})$  pues  $\bar{t} \in G$ .

•  $X, Y$  son soluciones de la ec.  $z' = F(t, z)$  en  $[a,b]$ .  
 $z(\bar{t}) = X(\bar{t}) = Y(\bar{t})$

→ Por unicidad local en  $[\bar{t}-h, \bar{t}+h] \cap [a,b]$

$$\delta = h = \frac{1}{2}L$$

$$(\bar{t} - \delta, \bar{t} + \delta) \subset G$$

e.d.,  $X=Y$  en ese intervalo

D.  $G' = [a,b]$

demonstración

$G'$  es abto. en  $[a,b]$  }  $[a,b]$  es  
 $G'$  es cerrado en  $[a,b]$  }  $\xRightarrow{\text{conexo}} G' = [a,b] \quad G' \neq \emptyset$

COROLARIO: (Teoremas ya enunciados)

a) Sean  $A: [a,b] \longrightarrow \mathbb{R}^{d \times d}$  continuas,  $t_0 \in [a,b]$ ,  $x_0 \in \mathbb{R}^d$ ,  
 $B: [a,b] \longrightarrow \mathbb{R}^d$

entonces existe una solución (y es única)  $X: [a,b] \longrightarrow \mathbb{R}^d$ ,

$$\text{de } X'(t) = A(t)X(t) + B(t)$$

$$X(t_0) = x_0$$

b) Si  $p, q, r: [a,b] \longrightarrow \mathbb{R}$ ,  $t_0 \in [a,b]$ ,  $x_0, y_0 \in \mathbb{R}$ , entonces existe solución, y es única,  $x: [a,b] \longrightarrow \mathbb{R}$ , del (PVI):

$$\begin{cases} x'' + p(t)x' + q(t)x = r(t), & t \in [a,b] \\ x(t_0) = x_0 \\ x'(t_0) = y_0 \end{cases}$$

demonstración

a)  $X'(t) = F(t, X(t))$ ,  $F(t, X) = A(t)X + B(t)$

$$A(t) = \begin{bmatrix} a_{11}(t) & \dots & a_{1d}(t) \\ \vdots & & \vdots \\ a_{d1}(t) & \dots & a_{dd}(t) \end{bmatrix}, \quad a_{ij}: [a,b] \longrightarrow \mathbb{R} \text{ continua}$$

1.  $F$  es continua

2. Satisface una condición de Lipschitz uniforme en  $t$ . Para verlo:

i)  $\exists K$  tal que  $\sum_{j=1}^d |a_{ij}(t)| \leq K$ ,  $t \in [a,b]$

$\downarrow$  la suma es una función continua en  $[a,b] \Rightarrow$  acotada  $\uparrow$

$$\text{ii) } |F(t, Y) - F(t, X)| = |A(t)(Y - X)| \quad \left( |z| = \sum_{j=1}^d |z_j| \right) \quad (|z_j| \leq |z|)$$

La componente  $i$ -ésima de  $F(t, Y) - F(t, X)$  es:  $\sum_{j=1}^d a_{ij}(t)(Y_j - X_j)$

$$\begin{aligned} \text{En } | \cdot | : \quad | \sum \dots | &\leq \sum_{j=1}^d |a_{ij}(t)| \underbrace{|Y_j - X_j|}_{|Y - X|} \leq \left( \sum_{j=1}^d |a_{ij}(t)| \right) |Y - X| \leq \\ &\leq K |Y - X| \quad (L = K) \end{aligned}$$

b) Consecuencia de a)

$$x'' + p x' + q x = r \quad \longrightarrow \quad \begin{bmatrix} x \\ y \end{bmatrix}' = \overbrace{\begin{bmatrix} 0 & 1 \\ -q(t) & -p(t) \end{bmatrix}}^{A(t)} \begin{bmatrix} x \\ y \end{bmatrix} + \overbrace{\begin{bmatrix} 0 \\ r(t) \end{bmatrix}}^{B(t)}$$

↙ Vale para  $x^{(n)} + p_1 x^{(n-1)} + p_2 x^{(n-2)} + \dots = p_{n+1}$

con  $p_j(t)$  continuas,  $x^{(k)} = \frac{d^{(k)}}{dt^k} x$  ↗

!! COMENTARIO: Aunque no lo hemos enunciado así, hemos demostrado que  $\exists! X: \overset{[t_0-h, t_0+h] \cap [a,b]}{I} \longrightarrow \mathbb{R}^d$  tal que

$$X(t) = \underbrace{X_0 + \int_{t_0}^t F(s, X(s)) ds}_{G(X)}, \quad t \in I.$$

$G: \underset{\substack{\uparrow \\ \text{funciones continuas en } I}}{C(I)} \longrightarrow C(I)$     y     $G(X) = X$ , es decir,

$G$  tiene un único punto fijo.

CLAVE:  $\|G(x) - G(y)\|_\infty \leq \alpha \|x - y\|_\infty$

$\alpha = Lh < 1$   
CONTRACTIVA

Proposición: Sea  $\Omega \subset \mathbb{R}^d$  abierto,  $F: [a,b] \times \Omega \rightarrow \mathbb{R}^d$  continua y unif. Lipschitz en  $t$ . (e.d.  $\exists L$  tal que  $|F(t,X) - F(t,Y)| \leq L|X-Y| \quad \forall t \in [a,b], \forall X,Y \in \Omega$ )

Sean  $t_0 \in [a,b]$ ,  $X_0 \in \Omega$ . Entonces, si  $\delta$  es suficientemente pequeño existe  $X: I \rightarrow \Omega$ ,  $I = [t_0 - \delta, t_0 + \delta] \cap [a,b] \subset \mathbb{R}$  y tal que  $X'(t) = F(t, X(t)) \quad t \in I$  Esa solución es única.  
 $X(t_0) = X_0$

### demonstración

La demostración es como en el caso  $\Omega = \mathbb{R}^d$ .  $X_0(t) \equiv X_0$  y, recursivamente,  $X_{n+1}(t) = X_0 + \int_{t_0}^t F(s, X_n(s)) ds$ . Para que las  $X_n$  estén bien definidas hay que asegurarse de que  $X_n(t) \in \Omega \quad \forall t \in I$ .

¿Cómo elegir  $\delta$  para que eso ocurra?

i)  $\left. \begin{array}{l} \Omega \text{ abierto} \\ X_0 \in \Omega \end{array} \right\} \Rightarrow \exists r > 0 \text{ tal que } \overline{B}(X_0, r) \subset \Omega$

Como  $[a,b] \times \overline{B}(X_0, r)$  es compacto y  $F|_{[a,b] \times \overline{B}}$  es continua,

$\exists M (=M(r))$  tal que  $|F(t,X)| \leq M$  si  $t \in [a,b]$  y  $X \in \overline{B}(X_0, r)$

ii) Si  $\delta \leq \frac{r}{M}$  entonces  $X_n(t) \in \overline{B}(X_0, r)$  si  $t \in I$ ,  $n \in \mathbb{N}$ .

demonstración: por inducción en  $n$ .

$n=0 \quad (X_0(t) \equiv X_0) \checkmark$

paso inductivo: cierto para  $n \Rightarrow$  cierto para  $n+1$ .  $X_n(s) \in \overline{B}(X_0, r)$

$$\begin{aligned} |X_{n+1}(t) - X_0| &= \left| \int_{t_0}^t F(s, X_n(s)) ds \right| \leq \int_{t_0}^t |F(s, X_n(s))| ds \stackrel{\text{supon. } t_0 \leq t}{\leq} \int_{t_0}^t M ds \stackrel{\text{H.I. } X_n(s) \in \overline{B}(X_0, r)}{\leq} \int_{t_0}^t M ds = \\ &= M \cdot (t - t_0) \leq M \cdot \delta \stackrel{\delta \leq \frac{r}{M}}{\leq} r \end{aligned}$$



Ahora se procede como en el caso global para demostrar convergencia, para lo que se necesita  $LG < 1$ . ■ (proposición)

Comentarios: Se necesita  $\delta \leq \frac{r}{M(r)}$ ,  $\delta < \frac{1}{L}$

Proposición: (Regularidad de las soluciones)

Con las hipótesis del T<sup>ma</sup> existencia/unicidad local, si  $F$  es  $C^m([a,b] \times \Omega)$  entonces  $X \in C^{m+1}(I)$

demostración: por inducción

$m=1$ :  $X$  es  $C^2$

$X$  es  $C^1$  por la prop.

$X'(t) = F(t, X(t)) \Rightarrow C^1$  (por la regla de la cadena), e.d.,  
 $\begin{matrix} \uparrow & \uparrow \\ C^1 & C^1 \end{matrix}$

$X$  es  $C^1$  o, lo que es lo mismo,  $X$  es  $C^2$ . ■

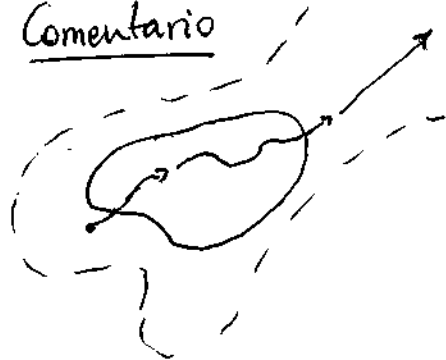
### PROLONGABILIDAD DE SOLUCIONES

Proposición: Con las mismas hipótesis del T<sup>ma</sup> de existencia y unicidad local ( $F: [a,b] \times \Omega \rightarrow \mathbb{R}^d$ ), existe un intervalo máximo en el que está definida la solución. Ese intervalo es de uno de los siguientes tipos:  $[a,b]$ ,  $[a,\beta]$ ,  $(\alpha,b]$ ,  $(\alpha,\beta)$  donde  $a \leq \alpha < \beta \leq b$ .

Además, si es de la forma  $(\alpha,\beta)$  entonces  $\forall K \subset \Omega$  compacto existe un  $t_K < \beta$  tal que  $X(t) \notin K$ ,  $t_K < t < \beta$ . Algo similar para  $(\alpha, \ast)$

Sin demostración

# Comentario



En palabras menos precisas  
 $X(t) \xrightarrow[t \rightarrow \beta]{} \partial \Omega$  ó  $\infty$

e.d.  $|X(t)| \rightarrow \infty$

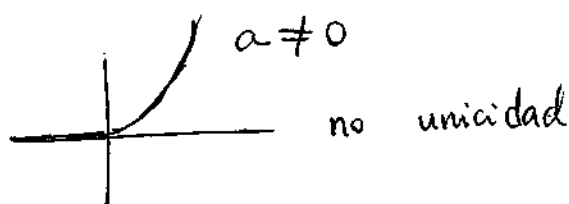
## Ejemplos:

► YA HECHOS:

①  $x' = x^{2/3}$  (No es Lipschitz cerca de 0, en 0  
 $x(0) = 0$  "la derivada" es  $\infty$ )

$x_1(t) = 0$   
 $x_2(t) = at^3$

son soluciones



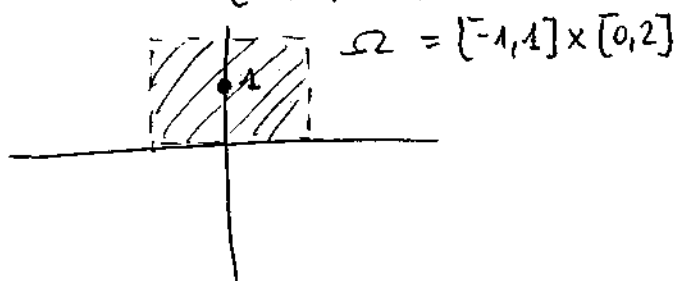
②  $x' = x^2$   $t \in [-1, 1]$  ← intervalo de existencia es  $[-1, 1]$   
 $x(0) = 1$

↳  $x(t) = \frac{1}{1-t}$  existe si  $t < 1$

Si no nos restringimos inicialmente a  $[-1, 1]$ , está definida en  $(-\infty, 1)$

Observación: para el caso autónomo se pueden tomar  $[a, b]$  cada vez más grandes hasta que llenen  $\mathbb{R}$  ( $[n, n]$ ,  $n \in \mathbb{N}$ )

Volviendo al ejemplo:  $F(t, x) = x^2$   $\mathbb{R} \times \mathbb{R} \rightarrow \mathbb{R}$   
pero no es Lipschitz en  $x \in \mathbb{R}$ , porque  $\frac{\partial F}{\partial x} = 2x$  no está acotada en  $\mathbb{R}$ , pero sí en  $[-A, A]$ ,  $A \in \mathbb{R}^+$ , e.d., es Lipschitz en  $x$ , uniformemente en  $t$ , si la restringimos a  $\mathbb{R} \times [-A, A]$  ( $L = 2A$ )



Observación:  $|f(x) - f(y)| \leq L|x - y|$   $f: I \rightarrow \mathbb{R}$   
 $\uparrow$  intervalo  
 Si  $f \in C^1(I)$ , entonces  $|f'(x)| \leq L$   
 $x \in I$  porque

$$\left| \frac{f(x+h) - f(x)}{h} \right| \leq L \quad h \rightarrow 0 \Rightarrow |f'(x)| \leq L$$

► MÁS EJEMPLOS:

$$\rightarrow x'' = \cos(tx), \quad x(0) = 0, \quad x'(0) = 0$$

$$\rightarrow \text{sistema: } \begin{bmatrix} x \\ y \end{bmatrix}' = \begin{bmatrix} y \\ \cos(tx) \end{bmatrix} = F(t, X)$$

$y = x'$   $\uparrow$   
 $\begin{bmatrix} x \\ y \end{bmatrix}$

Tma existencia / unicidad

$$\frac{\partial F}{\partial y} = \begin{bmatrix} 1 \\ 0 \end{bmatrix} \quad \frac{\partial F_1}{\partial y} = 1, \quad \frac{\partial F_2}{\partial y} = 0$$

$$\frac{\partial F}{\partial x} = \begin{bmatrix} 0 \\ -t \sin(tx) \end{bmatrix}$$

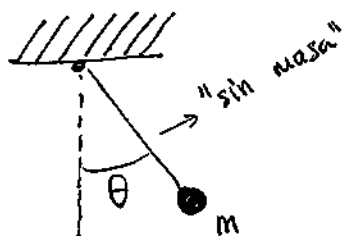
En  $[a, b] \times \mathbb{R}^2$ , las derivadas parciales de  $F$  con respecto a  $x, y$  están acotadas  $\leadsto$  se puede usar el Tma existencia y unicidad global:  $\left| \frac{\partial F}{\partial y} \right| \leq 1$   $\left| \frac{\partial F}{\partial x} \right| \leq \max(|a|, |b|)$   
 $\uparrow$  por el "-t".  
 $\Rightarrow \exists!$  solución en  $[a, b]$

$n \in \mathbb{N}$ ,  $[a, b] = [-n, n] \rightarrow \exists! X_n: [-n, n] \rightarrow \mathbb{R}^2$  solución

$X_{n+1}|_{[-n, n]}$  es solución, por unicidad,  $X_{n+1}|_{[-n, n]} = X_n$

$\rightarrow \exists! X: \mathbb{R} \rightarrow \mathbb{R}^2$  solución  $\left( X|_{[-n, n]} \stackrel{\text{def.}}{=} X_n \right)$

## PÉNDULO SIMPLE:



sin resistencia al aire

$$\theta'' = \frac{-g}{l} \sin(\theta)$$

$l$  = long. barra

El PVI con  $\begin{cases} \theta(0) = \theta_0 \\ \theta'(0) = v_0 \end{cases}$  tiene solución  $t \in \mathbb{R}$  y es única.

$$\rightarrow \text{Sistema: } \begin{bmatrix} \theta \\ v \end{bmatrix}' = \begin{bmatrix} v \\ -\frac{g}{l} \sin(\theta) \end{bmatrix} = F(t, \theta, v)$$

$$\frac{\partial F}{\partial v} = \begin{bmatrix} 1 \\ 0 \end{bmatrix}, \quad \frac{\partial F}{\partial \theta} = \begin{bmatrix} 0 \\ -\frac{g}{l} \cos(\theta) \end{bmatrix} \quad \text{ambas acotadas en } [\theta, v]^T \in \mathbb{R}^2$$

## DEPENDENCIA DE PARÁMETROS

Motivación:

$$\textcircled{1} \left. \begin{aligned} X'(t) &= F(t, X(t)) \\ X(t_0) &= \xi \end{aligned} \right\} \rightarrow X(t, \xi) \text{ "la" solución}$$

Si se mueve  $\xi$  ligeramente, ¿es la nueva solución similar a la original?

② Podría ser que  $F$  depende de un parámetro  $\lambda$ .

$$X'(t) = F(t, X(t), \lambda)$$

$$X(t_0) = \xi$$

$$\text{solución} \rightsquigarrow X(t, \xi, \lambda)$$

Si variamos  $\lambda$  ligeramente, ¿produce variaciones pequeñas en la solución?

↓ Obser: ② se puede convertir en ① de la siguiente manera:  $Y(t) = \begin{bmatrix} X(t) \\ \lambda \end{bmatrix} \rightsquigarrow Y' = \begin{bmatrix} X' \\ 0 \end{bmatrix} = \begin{bmatrix} F(t, X, \lambda) \\ 0 \end{bmatrix} = G(t, Y)$

$$Y(t_0) = \begin{bmatrix} \xi \\ \lambda \end{bmatrix}$$



③ Si  $\hat{F}(t, X) \stackrel{\downarrow}{\approx} F(t, X)$

$$\begin{aligned} \hat{X}' &= \hat{F}(t, \hat{X}) \quad \parallel \quad X' = F(t, X) \\ \hat{X}(t_0) &= X_0 \quad \parallel \quad X(t_0) = X_0 \end{aligned}$$

¿es  $\hat{X} \approx X$ ?

↙ Ej:  $\theta'' = -\frac{g}{l} \sin(\theta)$  "F"

$\theta'' = -\frac{g}{l} \cdot \theta$  " $\hat{F}$ "

y para  $|\theta| \ll 1$ ,  $\sin(\theta) \approx \theta$   $\left( \lim_{\theta \rightarrow 0} \frac{\sin(\theta)}{\theta} = 1 \right)$

$\sin \theta = \theta - \frac{\theta^3}{3!} + \dots$

$|\sin \theta - \theta| \leq C |\theta|^3 \quad |\theta| \leq 1$

Base:

### LEMA DE GRONWALL

Sean  $u, f, g : [a, b] \rightarrow \mathbb{R}$  continuas, y  $g \geq 0$ .

Supongamos que  $u(t) \leq f(t) + \int_a^t g(s) u(s) ds$

Entonces:  $u(t) \leq f(t) + \int_a^t f(s) g(s) e^{\int_s^t g(u) du} ds \Rightarrow$

$$\Rightarrow \boxed{u(t) \leq f(t) + \int_a^t f(s) g(s) e^{\int_s^t g(u) du} ds}$$

demonstración

Sea  $z(t) \stackrel{\text{def.}}{=} \int_a^t g(s) u(s) ds$

•  $z'(t) = g(t) u(t) \stackrel{\text{hip.}}{\leq} g(t) \left( f(t) + z(t) \right) = gf + gz$

• Sea  $G(t)$  una primitiva de  $g(t)$ , e.d.,  $G'(t) = g(t)$   
(por ejemplo  $G(t) = \int_a^t g(u) du$ )

$$\frac{d}{dt} (e^{-G(t)} z(t)) = f(t) g(t) e^{-G(t)} \quad \leftarrow e^{-G} \geq 0$$

$$\begin{aligned} \therefore (e^{-G} z)' &\leq f g e^{-G} \xRightarrow{\text{integrando entre } a \text{ y } t} \underbrace{\int_a^t (e^{-G} z)' ds}_{[z]} \leq \\ &\leq \int_a^t f(s) g(s) e^{-G(s)} ds \end{aligned}$$

$$[z] = e^{-G(s)} z(s) \Big|_{s=a}^{s=t} = e^{-G(t)} z(t) - e^{-G(a)} z(a) = e^{-G(t)} z(t)$$

$$\text{e.d., } e^{-G(t)} z(t) \leq \int_a^b f(s) g(s) e^{-G(s)} ds \xRightarrow{e^G > 0}$$

$$\Rightarrow z(t) \leq e^{G(t)} \int_a^t f(s) g(s) e^{-G(s)} ds = \int_a^t f(s) g(s) e^{G(t)-G(s)} ds$$

$$\text{y } G(t) - G(s) = \int_s^t g(u) du$$

$\therefore$  Hasta ahora " $\int_s^t G'(u) du$ " observar que

$$u(t) \leq f(t) + \int_a^t g(s) u(s) ds = f(t) + z(t) \leq$$

$$\leq f(t) + \int_a^t f(s) ds e^{\int_s^t g(u) du} ds \quad \equiv$$

## CASOS PARTICULARES

①  $f \equiv M$  constante  
 $u(t) \leq M e^{\int_a^t g(s) ds}$

②  $f \equiv M$ ,  $g \equiv L$  constantes  
 $u(t) \leq M e^{L(t-a)}$

## CONSECUENCIAS DEL LEMA DE GRONWALL

Proposición: Sea  $\Omega$  abto. en  $\mathbb{R}^d$ ,  $F: [a,b] \times \Omega \rightarrow \mathbb{R}^d$  continua y tal que  $|F(t, \xi) - F(t, \eta)| \leq L |\xi - \eta|$ ,  $\xi, \eta \in \Omega$ ,  $t \in [a,b]$   
( $L \in \mathbb{R}$ ,  $L \geq 0$ )

Sean  $X_1, X_2: [a,b] \rightarrow \Omega$   $C^1$ , y sean

$\varepsilon_1, \varepsilon_2$  tal que  $|X_j'(t) - F(t, X_j(t))| \leq \varepsilon_j$ ,  $t \in [a,b]$ ,  $j=1,2$

( $\|X_j' - F(t, X_j)\|_\infty \leq \varepsilon_j$  en  $[a,b]$ ). Entonces:

$$|X_1(t) - X_2(t)| \leq |X_1(a) - X_2(a)| e^{L(t-a)} + (\varepsilon_1 + \varepsilon_2) \frac{e^{L(t-a)} - 1}{L}, \quad t \in [a,b]$$

### demonstración

i) Sea  $u(t) = |X_1(t) - X_2(t)|$

$$X_1(t) = X_1(a) + \int_a^t X_1'(s) ds$$

$$X_2(t) = X_2(a) + \int_a^t X_2'(s) ds$$

$$\text{Restando: } \left| X_1(a) - X_2(a) + \int_a^t (X_1'(s) - X_2'(s)) ds \right| \leq$$

$$\leq |X_1(a) - X_2(a)| + \int_a^t |X_1'(s) - X_2'(s)| ds$$

$$\begin{aligned} \text{ii) } |X_1'(s) - X_2'(s)| &\leq |X_1'(s) - F(s, X_1(s))| + |X_2'(s) - F(s, X_2(s))| + \\ &+ |F(s, X_1(s)) - F(s, X_2(s))| \Rightarrow |X_1'(s) - X_2'(s)| \leq \varepsilon_1 + \varepsilon_2 + \underbrace{L |X_1(s) - X_2(s)|}_{u(s)} \end{aligned}$$

iii) Entonces:

$$\begin{aligned} u(t) &\leq |X_1(a) - X_2(a)| + \int_a^t (\varepsilon_1 + \varepsilon_2 + L u(s)) ds = \\ &= \underbrace{|X_1(a) - X_2(a)| + (\varepsilon_1 + \varepsilon_2)(t-a)}_{f(t)} + \int_a^t L u(s) ds \end{aligned}$$

$\swarrow$   $g(t)$

iv) Aplicando el L.G.:

$$u(t) \leq \underbrace{f(t)}_{\alpha + \beta t} + \int_a^t L f(s) e^{L(t-s)} ds$$

$\uparrow$   
integrar por partes

$e^{\int_s^t g(u) du}$   
 $\nwarrow$   $L$

y se obtiene la estimación del enunciado.  $\square$

HIPÓTESIS BÁSICA A PARTIR DE AHORA:

$F: [a, b] \times \Omega \longrightarrow \mathbb{R}^d$  continua, Lipschitz en  $\Omega \rightarrow \exists L \text{ const.}$   
 $F$  mif. en  $t$

VISTO:

$$|X_1(t) - X_2(t)| \leq |X_1(a) - X_2(a)| e^{L(t-a)} + (\varepsilon_1 + \varepsilon_2) \frac{e^{L(t-a)} - 1}{L}$$

donde  $|X_j'(t) - F(t, X_j(t))| \leq \varepsilon_j \quad t \in [a, b]$

Consecuencias

a) Si  $\varepsilon_1 = \varepsilon_2 = 0$  (e.d. son soluciones) y  $X_1(a) = X_2(a)$ , entonces  
 $X_1 = X_2$  en  $[a, b]$  ( $\leadsto$  unicidad otra vez)

b) Dependencia continua de condiciones iniciales.



PROPOSICIÓN:  $F$  como habitual. Sea  $X(t, \xi)$  es la solución (local) a  $X'(t) = F(t, X(t))$  ( $\xi \in \Omega$ )  
 $X(a) = \xi$

Supongamos que  $\xi_0 \in \Omega$ , entonces:

1. Existen  $r > 0$ ,  $\delta > 0$  tal que  $X(t, \xi)$  va de  $[a, a+\delta] \times \bar{B}(\xi_0, r)$  en  $\bar{B}(\xi_0, r)$  (y es solución en  $[a, a+\delta]$ )

$$2. |X(t, \xi) - X(t, \eta)| \leq |\xi - \eta| e^{L(t-a)}$$

$$\xi, \eta \in \bar{B}(\xi_0, \frac{r}{2}), \quad a \leq t \leq t+\delta$$

3. Más generalmente, si  $M$  es una cota superior de  $|F(t, \xi)|$   $(t, \xi) \in [a, b] \times \bar{B}(\xi_0, r)$  (es compacto y  $F$  es continua), entonces  $|X(t, \xi) - X(\hat{t}, \eta)| \leq M|t - \hat{t}| + |\xi - \eta| e^{L(\min(t, \hat{t}) - a)}$

En particular,  $X$  es continua (en ambas variables) y  $C^1$  en  $t$   
 $(X: \underbrace{[a, a+\delta]}_t \times \underbrace{\bar{B}(\xi_0, r)}_{\xi} \longrightarrow \Omega)$

demonstración

1. T<sup>ma</sup> exist./unic. local

2. Por la proposición de  $(\varepsilon_1, \varepsilon_2)$  con  $\varepsilon_1 = \varepsilon_2 = 0$  (soluciones)

y  $\xi = X_1(a)$ ,  $X_1(t) = X(t, \xi)$ ,  $X_2(t) = X(t, \eta)$ ,  $\eta = X_2^*(a)$   
sumar y restar

3. Supongamos que  $t < \hat{t}$ .  $|X(t, \xi) - X(\hat{t}, \eta)| \leq$

$$\leq |X(t, \xi) - X(t, \eta)| + |X(t, \eta) - X(\hat{t}, \eta)|$$

$$\stackrel{A1.2.}{\leq} |\xi - \eta| e^{L(t-a)}$$

$$(*) \quad \uparrow \quad \left| \int_t^{\hat{t}} X'(s, \eta) ds \right| = \left| \int_t^{\hat{t}} F(s, X(s, \eta)) ds \right| \leq$$

$$X(t, \eta) = X(a, \eta) + \int_a^t X'(s, \eta) ds$$

$\parallel$   
 $\eta$

$$\leq \int_t^T |F(s, X(s, \eta))| ds \leq M(T-t) = M|T-t|$$

Juntamos las estimaciones obtenemos 3. ■

PROLARIO: Si  $F = F(t, \xi, \lambda)$  y es Lipschitz en  $(\xi, \lambda)$  pasando al problema  $\begin{bmatrix} X \\ \lambda \end{bmatrix}' = \begin{bmatrix} X' \\ 0 \end{bmatrix} = \begin{bmatrix} F \\ 0 \end{bmatrix}$  y usando el resultado anterior vemos que la solución  $X(t, \xi, \lambda)$  de  $X' = F(t, X, \lambda)$  es continua en todas las variables.  $X(a) = \xi$

Continuación en secuencias p. 96

⇒ Sea  $\hat{F}: [a, b] \times \Omega \rightarrow \mathbb{R}^d$  Lipschitz continua.

Sea  $\hat{X}(t)$  la solución de  $\begin{cases} \hat{X}'(t) = \hat{F}(t, \hat{X}(t)) \\ \hat{X}(a) = \xi_a \end{cases}$

y  $X$  la de  $\begin{cases} X' = F(t, X(t)) \\ X(a) = \xi_a \end{cases}$

Supongamos que  $|\hat{F}(t, \hat{X}(t)) - F(t, \hat{X}(t))| \leq \varepsilon$ , entonces

$$|X(t) - \hat{X}(t)| \leq \varepsilon \frac{e^{L(t-a)} - 1}{L}$$

demostración

1.  $\hat{X}$  es "casi solución" para  $F$ , e.d.,  $|\hat{X}'(t) - F(t, \hat{X}(t))| \leq \varepsilon$   $t \in [a, b]$

Razón:

$$\hat{X}'(t) = \hat{F}(t, \hat{X}(t))$$

$$|\hat{X}'(t) - F(t, \hat{X}(t))| = |\hat{F}(t, \hat{X}(t)) - F(t, \hat{X}(t))| \leq \varepsilon$$

hipótesis

2. Con  $X_1 = X$ ,  $X_2 = \hat{X}$ ,  $|X_1(a) - X_2(a)| = 0$   
 $\varepsilon_1 = 0$   $\varepsilon_2 = \varepsilon$   $\xi_a$   $\xi_a$

$$\text{Entonces } \underbrace{|X_1(t) - X_2(t)|}_{\substack{X(t) \\ \hat{X}(t)}} \leq \varepsilon \frac{e^{L(t-a)} - 1}{L}$$

■

VISTO

$$X' = F(t, X(t)) \quad t \in [a, b]$$

$$\hat{X}' = \bar{F}(t, \hat{X}(t)) \quad X(a) = \hat{X}(a)$$

$$|\hat{F}(t, \hat{X}(t)) - F(t, \hat{X}(t))| \leq \varepsilon \quad \text{en } t \in [a, b] \quad \text{entonces}$$

$$|X(t) - \hat{X}(t)| \leq \varepsilon \frac{e^{L(t-a)} - 1}{L} \quad (L \leadsto \text{const. Lipschitz de } F)$$

Ejemplo: péndulo simple

$$\theta'' = -\frac{g}{L} \sin(\theta) \quad \begin{bmatrix} \theta \\ v \end{bmatrix}' = \begin{bmatrix} v \\ -\frac{g}{L} \sin \theta \end{bmatrix} = F(\theta, v)$$

$v = \theta'$

Observación: para  $\theta$  pequeño,  $\sin(\theta) \approx \theta$

Problema aproximado:  $\theta'' \stackrel{(\hat{P})}{=} -\frac{g}{L} \theta \leadsto \begin{bmatrix} \theta \\ v \end{bmatrix}' = \begin{bmatrix} v \\ -\frac{g}{L} \theta \end{bmatrix}$

Datos iniciales:  $\theta(0) = \theta_0$ ,  $\theta'(0) = 0$

La solución a  $(\hat{P})$  es  $\hat{\theta}(t) = \theta_0 \cos(\omega t)$ ,  $\omega = \sqrt{g/L}$  ( $|\hat{\theta}(t)| \leq \theta_0$ )

$$\hat{X}(t) = \begin{bmatrix} \hat{\theta}(t) \\ \hat{v}(t) \end{bmatrix} = \begin{bmatrix} \theta_0 \cos(\omega t) \\ -\omega \theta_0 \sin(\omega t) \end{bmatrix} \quad \text{¿comparación de } F \text{ y } \hat{F} \text{ en } \hat{X}(t)?$$

$$\underbrace{|\hat{F}(\hat{\theta}(t), \hat{v}(t)) - F(\hat{\theta}(t), \hat{v}(t))|}_{\parallel \begin{bmatrix} 0 \\ -\frac{g}{L}(\hat{\theta}(t) - \sin(\hat{\theta}(t))) \end{bmatrix}} = \frac{g}{L} |\hat{\theta}(t) - \sin(\hat{\theta}(t))| \leq \frac{g}{L} \cdot \frac{|\hat{\theta}(t)|^3}{6}$$

↑  
afirmación (LEMA)

LEMA: Si  $\theta \geq 0$ ,  $\theta - \frac{\theta^3}{3!} \leq \sin \theta \leq \theta$

demonstración

Serie de potencias del seno

- otra forma:  $\frac{\sin \theta}{\theta} \leq 1 = \frac{g(\theta)}{f(\theta)} \quad \theta \geq 0$

$$f(0) = g(0) (=0)$$

$$f'(\theta) = \cos \theta \leq 1 = g'(\theta) \quad ((g-f)' \geq 0 \Rightarrow g-f \text{ crece y vale } 0 \text{ en } 0)$$

$$f(v) = g(v) \quad v=0$$

$$\theta - \frac{\theta^3}{6} \leq \frac{\sin(\theta)}{g} \quad \text{En } 0 \quad f(0) = g(0) \quad \text{¿ } f'(0) \leq g'(0)?$$

$$1 - \frac{\theta^2}{2} \leq \cos(\theta), \quad f'(0) \stackrel{?}{=} g'(0), \quad \text{¿ } f'' \leq g''?$$

$$-\theta \leq -\sin \theta \quad \checkmark \quad \nearrow \text{ sí}$$

$$\text{Como } \theta - \sin(\theta) \text{ es impar: } |\theta - \sin(\theta)| = |\theta| - \sin(|\theta|) \leq \frac{|\theta|^3}{6}$$

Entonces:

$$|\hat{F}(\hat{\theta}, \hat{v}) - F(\hat{\theta}, \hat{v})| \leq \frac{g|\hat{\theta}(t)|^3}{\ell \cdot 6} \leq \frac{g|\theta_0|^3}{\ell \cdot 6}$$

$$\uparrow \hat{\theta}(t) = \theta_0 \cos(\omega t)$$

Consecuencia

$$|X(t) - \hat{X}(t)| \leq \frac{g|\theta_0|^3}{\ell \cdot 6} \cdot \frac{e^{Lt} - 1}{L}$$

$$|\theta(t) - \hat{\theta}(t)| + |\theta'(t) - \hat{\theta}'(t)| \leq \frac{g}{\ell} \cdot \frac{|\theta_0|^3}{6} \cdot \frac{e^{Lt} - 1}{L}$$

$$dL? \quad F = \begin{bmatrix} v \\ -\frac{g}{\ell} \sin(\theta) \end{bmatrix}$$

$$\frac{\partial F}{\partial v} = \begin{bmatrix} 1 \\ 0 \end{bmatrix} \quad \frac{\partial F}{\partial \theta} = \begin{bmatrix} 0 \\ -\frac{g}{\ell} \cos(\theta) \end{bmatrix}$$

$$L = \max\left(1, \frac{g}{\ell}\right)$$

■

# DIFERENCIABILIDAD CON RESPECTO A PARÁMETROS Y DATOS INICIALES

$$F(t, x, \lambda) : \underbrace{(a, b) \times \Omega \times \Lambda}_V \longrightarrow \mathbb{R}^d$$

$\downarrow \quad \quad \downarrow \quad \quad \downarrow$   
 $t \quad \quad x \quad \quad \lambda$

$\Omega$  abto en  $\mathbb{R}^d$ ,  $\Lambda$  abto en  $\mathbb{R}^m$

Notación:  $D_x F \equiv \frac{\partial F_i}{\partial x_j} \quad \begin{matrix} i=1, \dots, d \\ j=1, \dots, d \end{matrix} \quad D_\lambda F \equiv \frac{\partial F_i}{\partial \lambda_k} \quad \begin{matrix} i=1, \dots, d \\ k=1, \dots, m \end{matrix}$

Sea  $(t_0, \bar{x}_0, \lambda_0) \in V$ . Supongamos que  $F$  es continua y

$\frac{\partial F_i}{\partial x_j}$ ,  $\frac{\partial F_i}{\partial \lambda_k}$  son continuas en  $V$ .

Proposición:  $\exists \delta > 0$  tal que si  $|\bar{x} - \bar{x}_0| < \delta$ , y  $|\lambda - \lambda_0| < \delta$ , entonces existe una solución (que es única) del problema

$$X'(t) = F(t, X(t), \lambda) \quad \text{en } [t_0, t_0 + \delta].$$

$$X(t_0) = \bar{x}$$

Esa solución  $X(t, \bar{x}, \lambda)$  es  $C^1$  y sus derivadas con respecto a  $\lambda_k$  o  $\bar{x}_j$  satisfacen una EDO. Por ejemplo, si

$Y(t) \stackrel{\text{def.}}{=} \frac{\partial X}{\partial \lambda_k}(t, \bar{x}, \lambda)$ , entonces  $Y$  satisface

$$(eq) \begin{cases} Y'(t) = D_x F(t, X(t, \bar{x}, \lambda), \lambda) \cdot Y(t) + \underbrace{\frac{\partial F}{\partial \lambda_k}(t, X(t, \bar{x}, \lambda), \lambda)}_{B(t)} \\ Y(t_0) = 0 \end{cases}$$

$$(Y' = A(t)Y + B(t))$$

En términos de matrices, si  $M(t) = D_x F(t, \bar{x}, \lambda)$ , entonces  $M_{d \times d}$

$$M'(t) = A(t)M(t) + D_\lambda F(t, X(t, \bar{x}, \lambda), \lambda)$$

$$M(t_0) = 0$$

$$\text{Si } N(t) = \frac{\partial X}{\partial x} \quad \uparrow \quad \quad \quad , \quad N' = A(t)N$$

$\uparrow$   
 $d \times d$

$$N(0) = I$$

Observación: (EC) se obtiene derivando formalmente (15,1)

$$\frac{\partial X'}{\partial \lambda} \stackrel{\text{cadena}}{=} D_x F \cdot \underbrace{\frac{\partial X}{\partial \lambda_k}}_{\substack{Y \\ \lambda}} + \frac{\partial F}{\partial \lambda_k}(t, X(t, \xi, \lambda), \lambda)$$

Como  $X(t_0) = \xi$ ,  $\frac{\partial X}{\partial \lambda_k}(t_0, \xi, \lambda) = \frac{\partial \xi}{\partial \lambda_k} = 0$

## SISTEMAS AUTÓNOMOS EN EL PLANO (Antonio (tarde))

$X'(t) = F(X(t))$ , e.d.,  $F$  no depende de  $t$ , solo de  $X$

Ejemplo

$$\frac{dx}{dt} = \sigma(y-x)$$

$$\frac{dy}{dt} = \rho x - y - xz$$

$$\frac{dz}{dt} = -\beta z + xy$$

$$F(x, y, z) = \begin{bmatrix} \sigma(y-x) \\ \rho x - y - xz \\ -\beta z + xy \end{bmatrix}$$

sistema de Lorenz  
(meteorología)

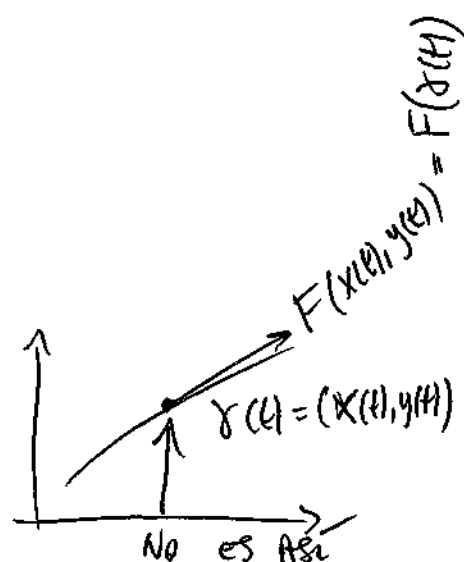
$x'' = f(x, \frac{dx}{dt})$  Sistemas mecánicos

$$\begin{bmatrix} x \\ y \end{bmatrix}' = \begin{bmatrix} y \\ f(x, y) \end{bmatrix} \quad y = x'$$

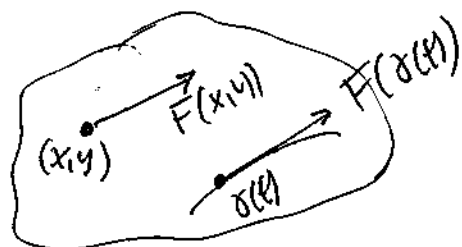
Ejemplo

$$\begin{bmatrix} x \\ y \end{bmatrix}' = \begin{bmatrix} y \\ -x \end{bmatrix} = F(x, y)$$

$$\gamma(t) = \begin{bmatrix} x(t) \\ y(t) \end{bmatrix} \quad \gamma'(t) = F(x(t), y(t)) = F(\gamma(t))$$

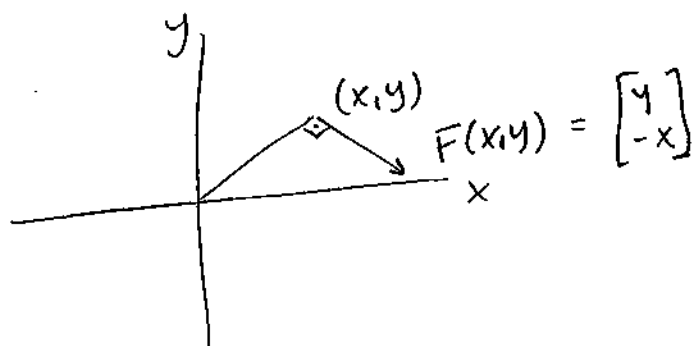
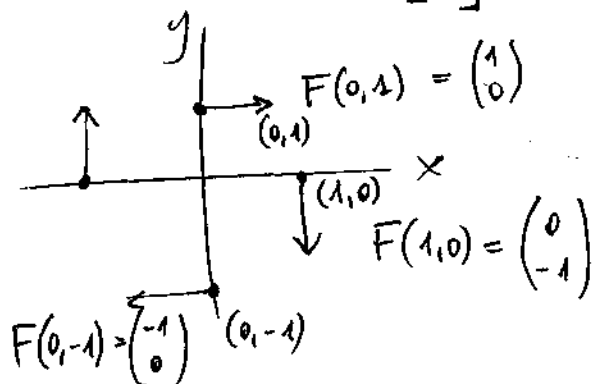


$F: \Omega \subset \mathbb{R}^2 \longrightarrow \mathbb{R}^2$  se puede interpretar como un "campo vectorial"



Si  $\gamma'(t) = F(\gamma(t))$ , la curva es tangente al vector  $F$  asociado al punto  $\gamma(t)$

Ejemplo:  $F(x, y) = \begin{bmatrix} y \\ -x \end{bmatrix}$



DEFINICIÓN: Una TRAYECTORIA del sistema  $\dot{x} = F(x)$  es la curva que describe la solución, sin tener en cuenta la parametrización, es decir, es el subconjunto del plano descrito por la solución.

En general es más sencillo encontrar las trayectorias que resolver el sistema.

Ejemplo:

$$\begin{bmatrix} \dot{x} \\ \dot{y} \end{bmatrix} = \begin{bmatrix} x \\ -y \end{bmatrix} \quad \left( = \begin{bmatrix} 0 & 1 \\ -1 & 0 \end{bmatrix} \begin{bmatrix} x \\ y \end{bmatrix} \right)$$

$$\frac{dx}{dt} = x, \quad \frac{dy}{dt} = -y \quad \frac{dy}{dx} = \frac{dy/dt}{dx/dt} = \frac{-y}{x} \leadsto \text{exacto}$$

$$d\left(\frac{x^2 + y^2}{2}\right) = 0 \quad \leadsto \quad \frac{x^2 + y^2}{2} = C$$

En general las trayectorias de  $\begin{matrix} \dot{x} = f(x, y) \\ \dot{y} = g(x, y) \end{matrix}$  "son las soluciones" de  $\frac{dy}{dx} = \frac{f(x, y)}{g(x, y)}$  siempre que  $g(x, y) \neq 0$   $\left( \frac{dx}{dy} = \frac{g(x, y)}{f(x, y)} \text{ si } f \neq 0 \right)$

Cerca de los puntos  $(x_0, y_0)$  donde  $g(x_0, y_0) \neq 0$  se puede hacer lo 1º y cerca de puntos  $(x_0, y_0)$  donde  $f(x_0, y_0) \neq 0$  se puede hacer lo 2º.

DEFINICIÓN: Consideramos el sistema  $\begin{cases} x' = f(x, y) \\ y' = g(x, y) \end{cases}$  ( $f, g \in C^1$  en  $\Omega$  abierto) Un PUNTO CRÍTICO (o de equilibrio) del sistema es un  $(x_0, y_0)$  tal que  $\begin{cases} f(x_0, y_0) = 0 \\ g(x_0, y_0) = 0 \end{cases}$ .

### Relevancia

$x(t) \equiv x_0$   
 $y(t) \equiv y_0$  es una solución del sistema

$\downarrow$   $x'(t) \stackrel{x(t) \text{ const.}}{=} 0 = f(x_0, y_0) = f(x(t), y(t))$   
lo mismo para  $y'$

la trayectoria de esa solución es el punto  $(x_0, y_0)$

PROPOSICIÓN: Sea  $\begin{cases} x' = f(x, y) \\ y' = g(x, y) \end{cases}$  un sistema autónomo ( $f, g \in C^1(\Omega)$ ,  $\Omega$  abto  $\subset \mathbb{R}^2$ )

① Si  $(x(t), y(t))$  es solución del sistema, entonces

$\bar{x}(t) = x(t+a)$   
 $\bar{y}(t) = y(t+a)$  también lo es (y describe la misma trayectoria)

② Si dos soluciones describen la misma trayectoria entonces están relacionadas como ①.



demostración

$$\textcircled{1} \bar{x}'(t) = x'(t+a) = f(x(t+a), y(t+a)) = \underbrace{f(\bar{x}(t), \bar{y}(t))}_{f \text{ no depende de } t}$$

Lo mismo para  $\bar{y}$

$$f(t+a, x(t+a), y(t+a)) = f(t+a, \bar{x}(t), \bar{y}(t))$$

$\textcircled{2}$   $(x(t), y(t))$   $(\bar{x}(t), \bar{y}(t))$  dos soluciones con la misma trayectoria

$P$  Supongamos que es  $(x(0), y(0))$   
 $\exists a \in \mathbb{R}$  tal que  $(\bar{x}(a), \bar{y}(a)) = P = (x(0), y(0))$

$$\text{Sea } \hat{x}(t) = \bar{x}(t+a)$$

$$\hat{y}(t) = \bar{y}(t+a)$$

i)  $(\hat{x}, \hat{y})$  es solución por  $\textcircled{1}$

$$\text{ii) } (\hat{x}(0), \hat{y}(0)) = P = (x(0), y(0))$$

por unicidad,  $\hat{x}(t) = x(t)$   
 $\hat{y}(t) = y(t)$  (intervalo de existencia) e.d.,

$$x(t) = \bar{x}(t+a), \quad y(t) = \bar{y}(t+a) \quad \square$$

# SISTEMAS AUTÓNOMOS (el de la pesca con mosca)

$X'(t) = V(t)$ , en general sería  $V(t, X)$ , aquí no.

①  $V(X)$  Lipschitz  $\rightarrow$  existencia y unicidad (local o global)

$$\text{para } \begin{cases} X' = V(X) \\ X(t_0) = X_0 \end{cases}$$

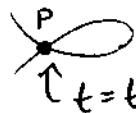
②  $X(t)$  es solución de  $X' = V(X)$

Entonces  $Y(t) = X(t+c)$  también es solución

$$Y'(t) = X'(t+c) = V(X(t+c)) = V(Y(t))$$

③  $X(t)$  solución

$\uparrow$   $X(t) = (x_1(t), \dots, x_n(t)) \equiv$  curva parametrizada

Supongamos  $X(t_1) = X(t_2) \Rightarrow$  

$$Y_1(t) = X(t+t_1)$$

$$Y_2(t) = X(t+t_2)$$

$$Y_1'(t) = V(Y_1)$$

$$Y_1(0) = X(t_1) = P$$

$$Y_2'(t) = V(Y_2)$$

$$Y_2(0) = X(t_2) = P$$

$$\Rightarrow Y_1 \equiv Y_2 \quad \forall t$$

$$\Rightarrow X(t+t_1) = X(t+t_2) \quad \forall t \quad t_1 + t = s; \quad t = s - t_1$$

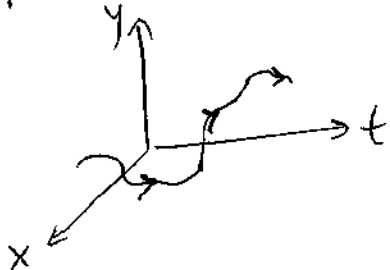
$$X(s) = X\left(s + \underbrace{(t_2 - t_1)}_{T}\right) = X(s+T) \quad \forall s \quad \underline{\text{periódica}}$$

## Observación

Soluciones periódicas  $\equiv$  trayectorias cerradas

④ Interpretación geométrica

$\mathbb{R}^3$



proyección  
plano  
 $xy$



# TEOREMA (WINTNEY)

$V: \mathbb{R}^m \longrightarrow \mathbb{R}^m$  localmente Lipschitz. Sea  $X'(t) = V(X(t))$

$\bar{K} \subset \mathbb{R}^m$ , compacto, con  $X(t_0) \in K$ . Entonces hay tres posibilidades

- proyección
- 1)  $\exists \hat{t} > t_0$  tal que  $X(\hat{t}) \notin K$ .
  - 2)  $X(t)$  es una trayectoria cerrada
  - 3)  $X(t)$  se aproxima cuando  $t \rightarrow \infty$  a una determinada región de  $K$ , llamada atractor.

## DEFINICIÓN:

- \*  $V$  es un CAMPO COMPLETO  $\iff$  las soluciones del sistema  $X' = V(X)$  están definidas  $\forall t$ .
- \*  $f: \mathbb{R}^m \longrightarrow \mathbb{R}$  es una INTEGRAL PRIMERA del campo  $V \iff$   
 $\iff f(X(t)) = \text{cte.}$  para toda solución  $X(t)$ .  
 (Soluciones  $C$  son conjuntos de nivel de  $f$ ).

Ejercicio: demostrar que si  $f$  es una integral primera tal que  $\lim_{\|x\| \rightarrow \infty} f(x) = \infty$ , entonces  $V$  es completo.

Sea  $X(t)$  solución de  $X'(t) = V(X(t))$ . Entonces:

$$\left. \begin{array}{l} f(X(t)) = c \\ f(x) \xrightarrow{\|x\| \rightarrow \infty} \infty \end{array} \right\} X(t) \xrightarrow[t \rightarrow \infty]{} \infty \implies \exists M > 0 \text{ tal que } \|X(t)\| \leq M \quad \forall 0 < M < \infty$$

①  $K = \{x \in \mathbb{R}^m : \|x\| \leq M\}$

②  $X(t) \subset K \quad \forall t \implies (2), (3) \rightsquigarrow \text{sol. definida } \forall t$

③  $\tilde{K} \subset \mathbb{R}^{m+1}$

$\tilde{K} = \{(x, t), \|x\| \leq M, t \in [0, T]\}$

$\|X(t)\| \leq M \implies$  las trayectorias no salen por la "pared" lateral del cilindro  $\implies$  están definidas en  $[0, T]$ ,  $T$  arbitrario  $\implies$  definidas en  $[0, \infty]$

Comentar que para el ejercicio anterior la demostración es idéntica para el caso  $-\infty$ .

Ejercicio:  $g: \mathbb{R}^m \rightarrow \mathbb{R}$ ,  $g \in C^1$ ,  $\lim_{\|x\| \rightarrow \infty} g(x) = \infty$

$\frac{d}{dt}(g(x(t))) \leq C$ , para alguna constante.

Mostrar que  $X$  es infinitamente prolongable hacia la derecha.

Integrando en  $[t_0, t]$ :  $g(x(t)) - g(x(t_0)) \leq C(t - t_0)$

$$g(x(t)) \leq g(x(t_0)) + C(t - t_0)$$

Nos fijamos en  $t \in [t_0, T]$ :

$$g(x(t)) \leq g(x(t_0)) + C(T - t_0) \leq M \quad \forall t \in [t_0, T]$$

$$g(x(t)) \leq M \Rightarrow x(t) \text{ acotada } \forall t \in [t_0, T]$$

$$\uparrow \quad g(x) \xrightarrow{\|x\| \rightarrow \infty} \infty \Rightarrow X \text{ definida en } [t_0, T] \quad \forall t.$$

--- RECUERDO: Sistemas Autónomos ---

$X' = V(X)$  soluciones  $X(t)$  están definidas  $\forall t$ ?

Integral primera:  $f: \mathbb{R}^m \rightarrow \mathbb{R}$  es una i.p. del campo  $V \Leftrightarrow$

$$\Leftrightarrow f(x(t)) = c \quad \forall x(t) \text{ solución}$$

Ejemplo:  $g: \mathbb{R}^m \rightarrow \mathbb{R}$ ,  $g \in C^1$ ,  $\|g(x)\| \xrightarrow{\|x\| \rightarrow \infty} \infty$

Sea  $x(t)$  curva del campo tal que  $\frac{d}{dt}(g(x(t))) \leq C$

Entonces  $x(t)$  existe  $\forall t > 0$ .

↳ hipótesis imposible de comprobar en la práctica

Ejemplo:  $g: \mathbb{R}^m \rightarrow \mathbb{R}$ ,  $g \in C^1$ ,  $\|g(x)\| \xrightarrow{\|x\| \rightarrow \infty} \infty$

$$\left| \frac{d}{dt}(g(x(t))) \right| = \left| \langle \nabla g(x(t)), x'(t) \rangle \right| = \left| \langle \nabla g(x(t)), V(x(t)) \rangle \right| \leq M \Rightarrow$$

$\Rightarrow V$  es completo.

hipótesis a priori:

$$|\langle \nabla g(\xi), V(\xi) \rangle| \leq M \quad \forall \xi \in D$$

$$-M \leq \frac{d}{dt}(g(x(t))) \leq M$$

Ejercicio:

a)  $x'' + \nabla U(x) = 0$  ,  $x \in \mathbb{R}^3$

$U: \mathbb{R}^3 \rightarrow \mathbb{R}$  ,  $U \in C^1$  ,  $\lim_{\|x\| \rightarrow \infty} |U(x)| = \infty$

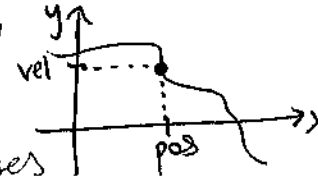
Demstrar que las trayectorias son completas

b) (ejercicio  $\rightarrow$  que lo haga Marta)

SISTEMA DE ORDEN 4 ASOCIADO:

a)  $\begin{cases} x' = y \\ y' = -\nabla U(x) \end{cases} \Rightarrow \begin{cases} x_1' = y_1 ; x_2' = y_2 ; x_3' = y_3 \\ y_1' = -U_{x_1}(x_1, x_2, x_3) \\ y_2' = -U_{x_2}(x_1, x_2, x_3) \\ y_3' = -U_{x_3}(x_1, x_2, x_3) \end{cases}$

posición  
 $(x, y)$   
velocidad  
vel  
plano de fases  
desde el punto  
de vista de un físico



$\langle x', x' \rangle$

$\langle x''(t), x'(t) \rangle = \frac{1}{2} \frac{d}{dt} (\|x'\|^2)$

$x(t)$  trayectoria

Idea:  $\frac{d}{dt} (U(x(t))) = \langle \nabla U(x(t)), x'(t) \rangle$

$0 = \langle x'' + \nabla U(x), x' \rangle = \frac{d}{dt} \left( \frac{1}{2} \|x'\|^2 + U(x) \right) \Rightarrow$

$\Rightarrow \frac{1}{2} \|x\|^2 + U(x) = \text{cte.} \Rightarrow \underbrace{\frac{1}{2} \|y\|^2}_{E_c} + \underbrace{U(x)}_{E_p} = \text{cte.}$

Falta demostrar:

$\|E(x, y)\| \xrightarrow{\|(x, y)\| \rightarrow \infty} \infty$  con  $E(x, y) = \frac{1}{2} \|y\|^2 + U(x)$

(sabiendo que  $|U(x)| \xrightarrow{\|x\| \rightarrow \infty} \infty$ )

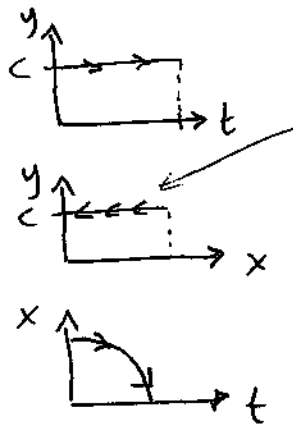
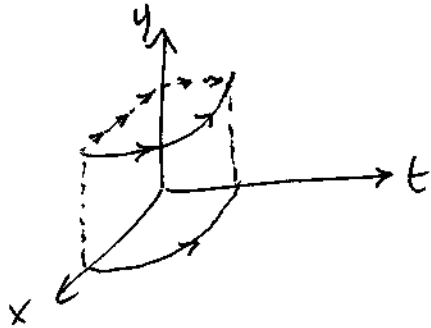
$\left. \begin{array}{l} \|(x, y)\| \rightarrow \infty \\ \text{"} \\ \|(x, 0) + (0, y)\| \end{array} \right\} \Rightarrow \left\{ \begin{array}{l} \|x\| \rightarrow \infty \Rightarrow U(x) \rightarrow \infty \\ \text{"} \\ \|y\| \rightarrow \infty \Rightarrow \frac{1}{2} \|y\|^2 \rightarrow \infty \end{array} \right\} |E(x, y)| \rightarrow \infty$

$$\left. \begin{aligned} x'(t) &= F(x(t), y(t)) \\ y'(t) &= G(x(t), y(t)) \end{aligned} \right\} \begin{aligned} &F(t, x, y) \\ &G(t, x, y) \end{aligned}$$

$\nwarrow$  No  
 $\nearrow$  No

Observación:  $(x(t), y(t))$  es solución  $\Rightarrow (x(t+c), y(t+c))$  es sol.

INTERPRETACIÓN GRÁFICA:

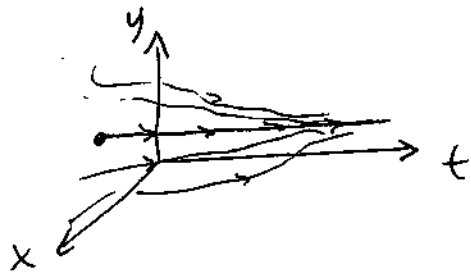


las flechas indican la dirección (el avance con respecto a  $t$ )  
 La proyección en el plano  $xy$  es en el que nos centraremos

## PUNTOS DE INTERÉS

### ① PUNTOS DE EQUILIBRIO:

$$(x_0, y_0) \text{ tales que } \begin{cases} F(x_0, y_0) = 0 \\ G(x_0, y_0) = 0 \end{cases} \Rightarrow \text{Soluciones de } \begin{cases} x(t) = x_0 \\ y(t) = y_0 \end{cases}$$



proyección  
 $xy$

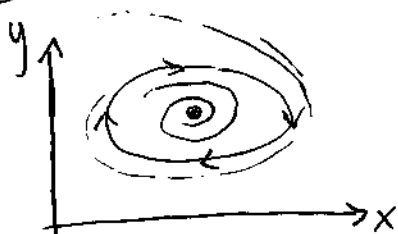


punto de equilibrio

De aquí viene la cuestión de estabilidad



### ② TRAYECTORIAS CERRADAS:



$(x(t), y(t))$  periódicas

## INTEGRALES PRIMERAS

DEFINICIÓN:  $E: \Omega \subset \mathbb{R}^2 \rightarrow \mathbb{R}$  es una integral primera de  $\begin{cases} x' = F(x,y) \\ y' = G(x,y) \end{cases}$

def.  $\iff$   $E$  no es constante en ningún abierto de  $\Omega$ .

Para cada solución  $(x(t), y(t))$ , se tiene  $E(x(t), y(t)) = C$

$$\frac{d}{dt}(E(x(t), y(t))) = 0$$

Ejemplo:  $\begin{cases} x' = y \\ y' = x^2 + 1 \end{cases}$  Encontrar una integral primera:

$$\frac{dE}{dt}(x(t), y(t)) \stackrel{?}{=} 0$$

$$\frac{dE}{dx} x' + \frac{\partial E}{\partial y} y' = \frac{\partial E}{\partial x} y + \frac{\partial E}{\partial y} (x^2 + 1)$$

Problema: encontrar  $E(x,y)$  tal que  $\frac{\partial E}{\partial x} y + \frac{\partial E}{\partial y} (x^2 + 1) = 0$

Idea: buscar  $E(x,y) = E_1(x) + E_2(y)$

$$\frac{\partial E_1}{\partial x} y + \frac{\partial E_2}{\partial y} (x^2 + 1) = 0 \Rightarrow \begin{cases} \frac{\partial E_1}{\partial x} = -(x^2 + 1) \Rightarrow E_1(x) = -\frac{x^3}{3} - x \\ \frac{\partial E_2}{\partial y} = y \Rightarrow E_2(y) = \frac{y^2}{2} \end{cases}$$

Solución: conjunto de nivel de  $E(x,y) = -\frac{x^3}{3} - x + \frac{y^2}{2}$

Aplicación: ecuación del péndulo (sin rozamiento)



ángulo  $\equiv x(t)$

Ley de Newton:  $\boxed{x'' + K \sen x = 0}$

Buscamos  $E(x,y)$  tal que  $\frac{\partial E}{\partial x} x' + \frac{\partial E}{\partial y} y' = 0$

$$\begin{cases} x' = y \\ y' = -K \sen x \end{cases}$$

$$\frac{\partial E}{\partial x} y + \frac{\partial E}{\partial y} (-K \sen x) = 0 \begin{cases} \frac{\partial E}{\partial x} = K \sen x \\ \frac{\partial E}{\partial y} = y \end{cases}$$

$$\Rightarrow E(x,y) = \frac{1}{2} y^2 - K \cos x$$

Soluciones:  $\frac{1}{2} y^2 - K \cos x = C$

$$\frac{1}{2}y^2 - K\cos x = C \Rightarrow y^2 = 2(C + K\cos x) \Rightarrow y = \pm \sqrt{2} \sqrt{C + K\cos x}$$

Recordar:  $\begin{cases} x' = y \\ y' = -K\sin x \end{cases}$

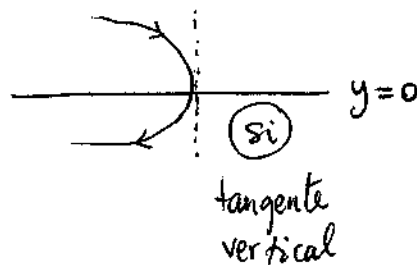
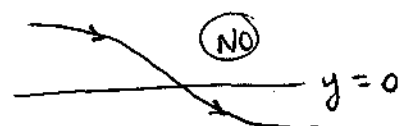
como es  $\pm$  es  
 (1) una simetría respecto del eje  $x$ .

(2)  $\begin{cases} y > 0 \Rightarrow x'(t) > 0 \Rightarrow x(t) \nearrow \leadsto (x(t), y(t)) \\ y < 0 \Rightarrow \text{a la izquierda} \end{cases}$   
 $\Rightarrow$  a la derecha

(3) Buscamos puntos críticos (de equilibrio)

$$\begin{cases} y = 0 \\ -K\sin x = 0 \end{cases} \Rightarrow (K\pi, 0), K \in \mathbb{Z}$$

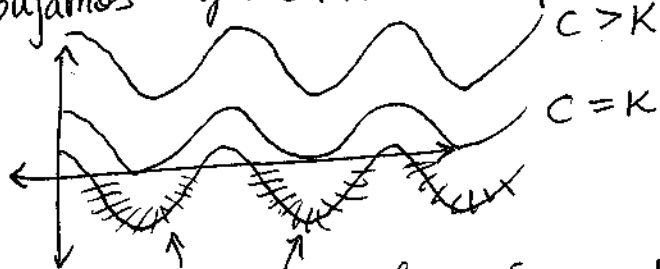
)  $y = 0$ , pero  $(x, y)$  no es un punto crítico



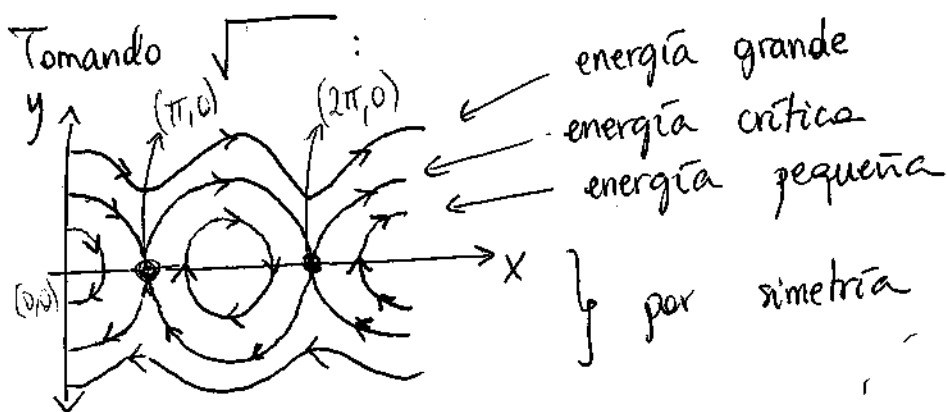
Dibujando la gráfica  $y > 0$  ( $y < 0$  por simetría)

$$y = \sqrt{2} \sqrt{C + K\cos x}$$

Dibujamos  $y = C + K\cos x$ , que es similar

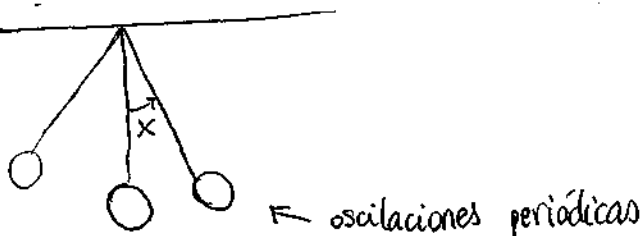


al tomar la raíz cuadrada nos dividamos de estas trazas



} por simetría

$x = \pi$ , velocidad 0, posición inestable.  
 Si no se moviera un poco daría una vuelta completa y volvería a esta posición  
 da vueltas indefinidamente



oscilaciones periódicas



# CASO GENERAL: SISTEMAS MECÁNICOS CONSERVATIVOS

$$x'' + f(x) = 0 \rightarrow \begin{cases} x' = y \\ y = -f(x) \end{cases}$$

Buscamos una integral primera  $E(x,y)$

$$0 = \frac{\partial E}{\partial x} x' + \frac{\partial E}{\partial y} y' = \frac{\partial E}{\partial x} y - \frac{\partial E}{\partial y} f(x)$$

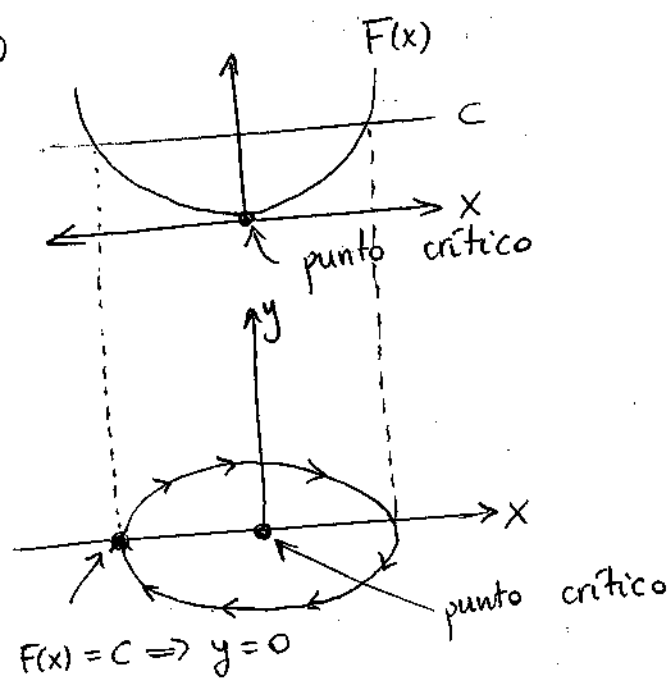
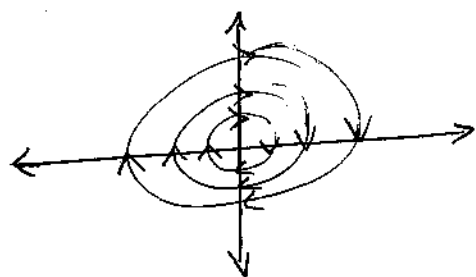
$$\begin{cases} \frac{\partial E}{\partial x} = f(x) \\ \frac{\partial E}{\partial y} = y \end{cases} \Rightarrow E(x,y) = \frac{1}{2} y^2 + F(x), \text{ donde } F(x) = \int f(x) dx$$

$$\Rightarrow y = \pm \sqrt{2} \sqrt{C - F(x)}$$

Puntos críticos:  $\begin{cases} y = 0 \\ f(x) = F'(x) = 0 \end{cases}$

Ejercicio 1:  $F(x) = x^4$   
 $x'' + 4x^3 = 0$

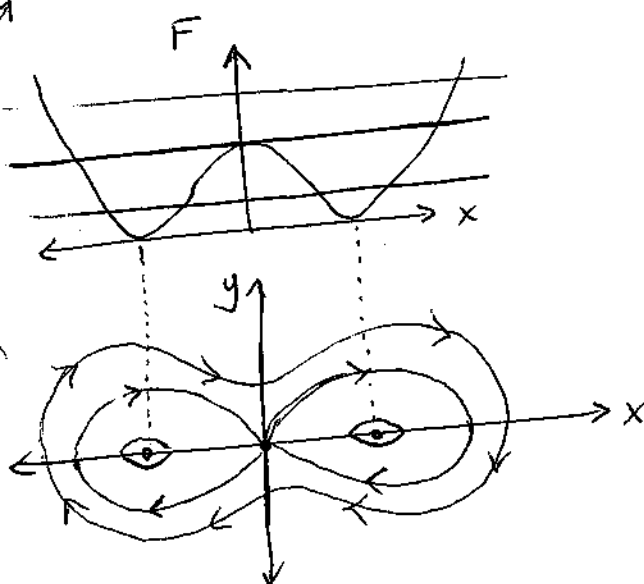
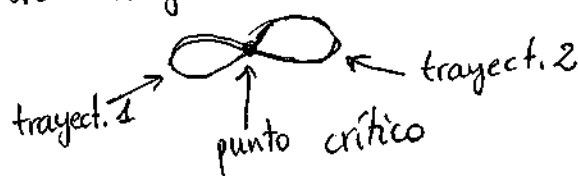
Así que dependiendo de  $C$ :

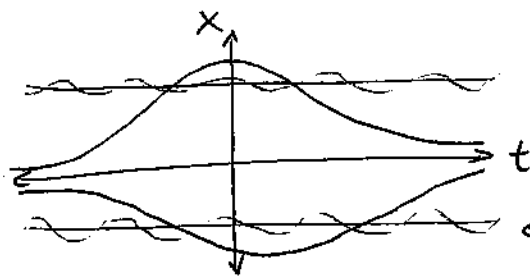


Me muevo hacia la derecha porque estos problemas empiezan con  $x' = y \Rightarrow$  Si  $y > 0$

Ejercicio 2:

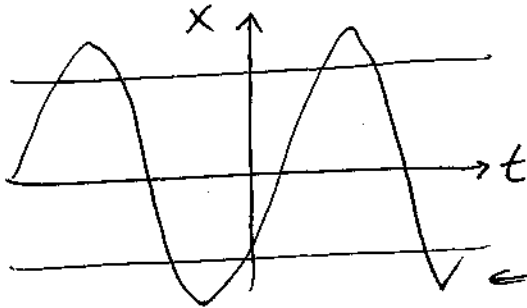
En el caso azul hay tres trayectorias:





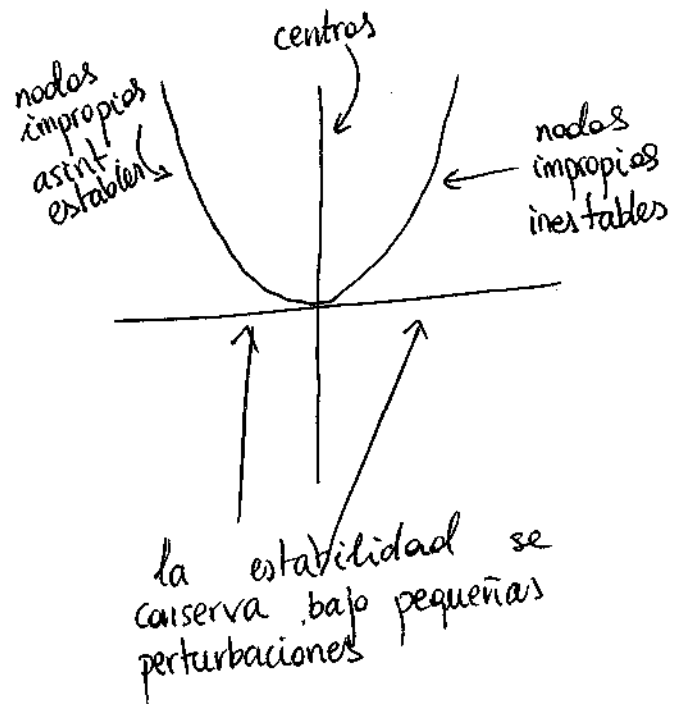
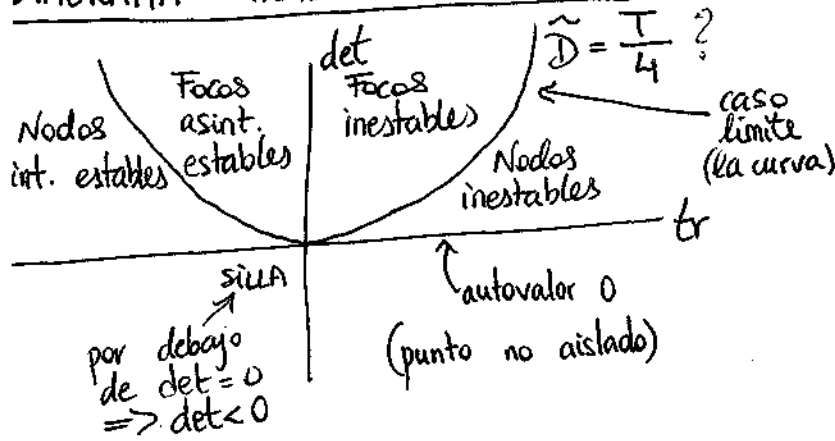
los 3 puntos críticos son soluciones constantes

← trayectorias pequeñas



las soluciones grandes cortan a los tres puntos, y como son curvas cerradas,  $x(t)$  es periódico.

### DIAGRAMA TRAZA-DETERMINANTE



### Aplicación: Método de linealización

#### VERSIÓN 1

Supongamos  $(0,0)$  punto crítico aislado del sistema

$$\begin{aligned} x' &= Ax + By + f(x,y) \\ y' &= Cx + Dy + g(x,y) \end{aligned} \quad \text{con} \quad \lim_{(x,y) \rightarrow (0,0)} \frac{f(x,y)}{\sqrt{x^2+y^2}} = \lim_{(x,y) \rightarrow (0,0)} \frac{g(x,y)}{\sqrt{x^2+y^2}} = 0$$

Entonces si consideramos el sistema lineal asociado:

$\begin{cases} x' = Ax + By \\ y' = Cx + Dy \end{cases}$ , y  $(0,0)$  es un punto crítico de alguno de los casos principales, entonces es un punto crítico del mismo tipo en el sistema completo.

ERROR para  $(x,y) \sim (0,0)$

## VERSIÓN 2

Idea:  $F(x,y) = F(a,b) + \frac{\partial F}{\partial x}(a,b)(x-a) + \frac{\partial F}{\partial y}(a,b)(y-b) + E_F(x,y)$  donde

$$\frac{E(x,y)}{\|(x-a, y-b)\|} \xrightarrow{(x,y) \rightarrow (a,b)} 0$$

$$\begin{cases} x' = F(x,y) \\ y' = G(x,y) \end{cases}, F, G \in C^1, F(a,b) = G(a,b) = 0 \quad (a,b) \text{ punto crítico}$$

$$\xrightarrow{\text{Taylor}} \begin{cases} x' = F(a,b) + \frac{\partial F}{\partial x}(a,b)(x-a) + \frac{\partial F}{\partial y}(a,b)(y-b) + E_F(x,y) \\ y' = G(a,b) + \frac{\partial G}{\partial x}(a,b)(x-a) + \frac{\partial G}{\partial y}(a,b)(y-b) + E_G(x,y) \end{cases}$$

Ejemplo:

$$\begin{cases} x' = x - xy^4 \\ y' = y - y^3x^2 \end{cases} \xrightarrow{\text{puntos críticos}} \begin{cases} x - xy^4 = 0 \\ y - y^3x^2 = 0 \end{cases}$$

• caso 1:  $x=0 \Rightarrow y=0$

• caso 2:  $y = \pm 1 \Rightarrow 1 - x^2 = 0 \Rightarrow x = \pm 1$

Quedan:  $(0,0), (1,1), (1,-1), (-1,-1), (-1,1)$

$$\frac{\partial F}{\partial x} = 1 - y^4$$

$$\frac{\partial G}{\partial x} = -2xy^3$$

$$\frac{\partial F}{\partial y} = -4xy^3$$

$$\frac{\partial G}{\partial y} = 1 - 3x^2y^2$$

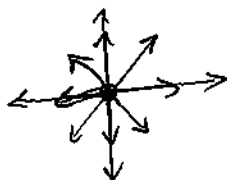
(0,0) Sistema lineal asociado:

$$x' = \frac{\partial F}{\partial x}(0,0)x + \frac{\partial G}{\partial y}(0,0)y = x$$

$$y' = \frac{\partial G}{\partial x}(0,0)x + \frac{\partial G}{\partial y}(0,0)y = y$$

Autovalores de  $\begin{pmatrix} 1 & 0 \\ 0 & 1 \end{pmatrix} \longrightarrow 1 \text{ doble} \longrightarrow \text{autovectores } \begin{pmatrix} 1 \\ 0 \end{pmatrix}, \begin{pmatrix} 0 \\ 1 \end{pmatrix}$

$\Rightarrow$  Nodo impropio inestable



$$\overline{x'} = \frac{\partial F}{\partial x}(1,1)(x-1) + \frac{\partial F}{\partial y}(1,1)(y-1) = -4(y-1)$$

$$y' = \frac{\partial G}{\partial x}(1,1)(x-1) + \frac{\partial G}{\partial y}(1,1)(y-1) = -2(x-1) - 2(y-1)$$

Traslación a (0,0) :  $\tilde{x} = x-1$   
 $\tilde{y} = y-1$

$$\left. \begin{array}{l} \tilde{x}' = -4\tilde{y} \\ \tilde{y}' = -2\tilde{x} - 2\tilde{y} \end{array} \right\} \longrightarrow \begin{pmatrix} 0 & -4 \\ -2 & -2 \end{pmatrix} \begin{array}{l} \nearrow \text{tr} = -2 \\ \searrow \text{det} = -8 \end{array} \left\} \Rightarrow \text{Silla}$$

⋮

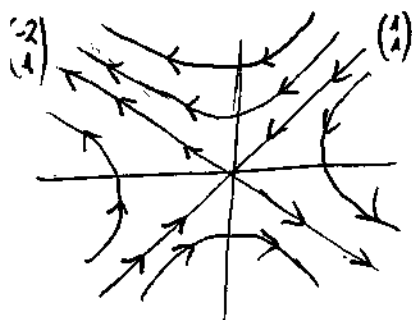
Autovalores  $\lambda = 2, -4$

?  $\rightarrow$  no seña  $\begin{pmatrix} 2 \\ 1 \end{pmatrix}$ ?

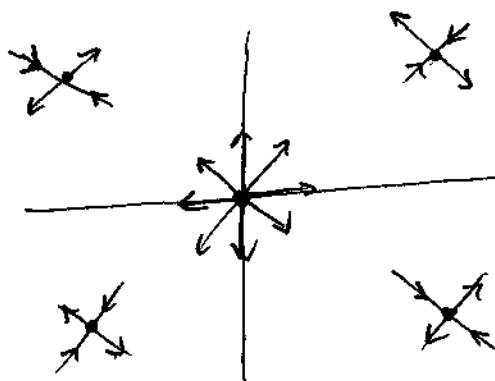
Autovectores asociados:

$\lambda = 2$  ( $> 0 \Rightarrow$  dirección de salida):  $u = 2v \Rightarrow \begin{pmatrix} -2 \\ 1 \end{pmatrix}$

$\lambda = -4$  ( $< 0 \Rightarrow$  dirección de entrada):  $u = v \Rightarrow \begin{pmatrix} 1 \\ 1 \end{pmatrix}$



Entonces:



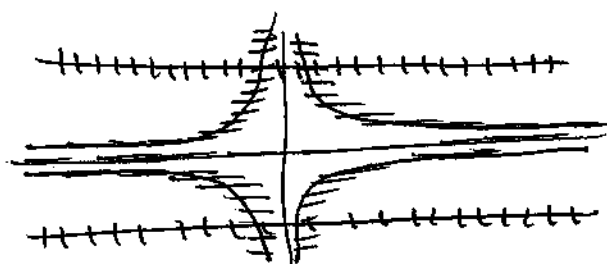
Quedan por hacer

¿Comportamiento global?  $\leftarrow$  No hay reglas fijas

\* Isoclinas, pendiente horizontal y vertical

\* Simetrías

$$\left. \begin{array}{l} x' = x - xy^4 \\ y' = y - x^2y^3 \end{array} \right\} \Rightarrow \left. \begin{array}{l} x - xy^4 = 0 \rightarrow \begin{cases} x=0 \\ 1-y^4=0 \end{cases} \\ y - x^2y^3 = 0 \rightarrow \begin{cases} y=0 \\ x^2y^2=1 \end{cases} \end{array} \right\} \begin{array}{l} | \\ \text{---} \end{array}$$



Para isoclinas en  $(0,0)$  no hay un foco  $\Rightarrow$  Nodo inestable

¿Dirección de salida de  $(0,0)$ ?

Idea:  $(x(t), y(t))$  trayectoria que sale de  $(0,0)$

$$\lim_{t \rightarrow -\infty} (x(t), y(t)) = (0,0)$$

$$\lim_{t \rightarrow -\infty} (x'(t), y'(t)) = \text{dirección de salida}$$

$$\lim_{t \rightarrow -\infty} \frac{y'(t)}{x'(t)} \equiv \text{pendiente dirección de salida} \equiv L$$

$$L \equiv \lim_{t \rightarrow -\infty} \frac{y}{x(t)}$$

$$L = \lim_{t \rightarrow -\infty} \frac{y'}{x'} = \lim_{t \rightarrow -\infty} \frac{y - y^3 x^2}{x - x y^4} = \lim_{t \rightarrow -\infty} \frac{y}{x} \left( \frac{1 - y^2 x^2}{1 - y^4} \right) = L \Rightarrow \text{No hay restricción en } L$$

Caso general:  $L = E(L) \leadsto$  posibles pendientes  $\equiv$  sol. ecuación

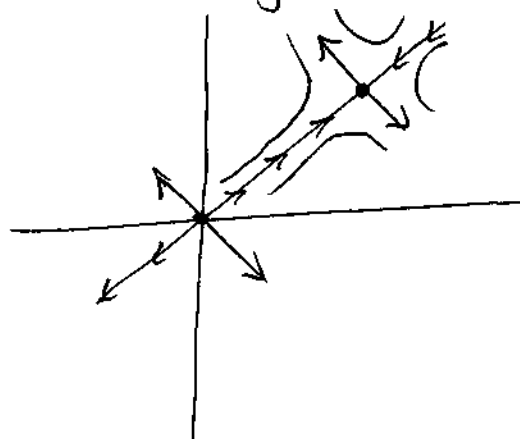
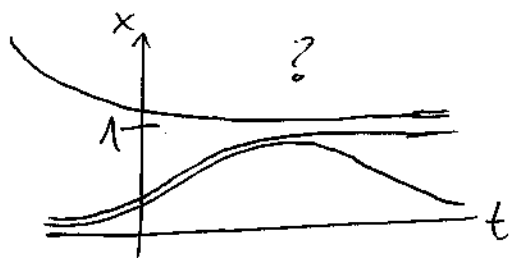
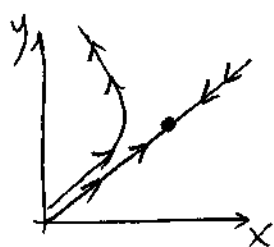
### Simetrías

$$\begin{aligned} r(t) &= -x(t) \\ s(t) &= y(t) \end{aligned} \Rightarrow \begin{aligned} r' &= -x' = r - r s^4 \\ s' &= y' = y - y^3 x^2 = s - s^3 r^2 \end{aligned}$$

Reemplazamos en el sistema inicial  $\Rightarrow$  Simetría respecto al eje OY.

$$\begin{aligned} u(t) &= x(t) \\ v(t) &= -y(t) \end{aligned} \Rightarrow \begin{aligned} u' &= x' = x - x y^4 = u - u v^4 \\ v' &= -y' = \dots = v - v^3 u^2 \end{aligned} \equiv \text{Simetría respecto al eje OX}$$

$\Rightarrow$  Simetría respecto al origen



Ejemplo:  $x'' = x - x^3 - x x'$

$$\begin{cases} x' = y \\ y' = x - x^3 - x y \end{cases}$$

Obs:  $x'' = x - x^3$  es un sistema conservativo, ya habíamos desarrollado la teoría para estudiarlo

Puntos críticos:  $\begin{cases} y = 0 \\ x - x^3 - x y = 0 \end{cases} \Rightarrow x - x^3 = 0 \Rightarrow \begin{cases} (0,0) \\ (1,0) \\ (-1,0) \end{cases}$

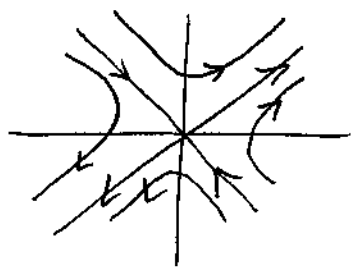
$$\begin{cases} F(x,y) = y \\ G(x,y) = x - x^3 - xy \end{cases} \begin{cases} \frac{\partial F}{\partial x} = 0, \quad \frac{\partial F}{\partial y} = 1 \\ \frac{\partial G}{\partial x} = 1 - 3x^2 - y, \quad \frac{\partial G}{\partial y} = -x \end{cases}$$

(0,0) | Sistema asociado  $\begin{cases} x' = y \\ y' = x \end{cases} \longrightarrow \det \begin{pmatrix} -\lambda & 1 \\ 1 & -\lambda \end{pmatrix} = \lambda^2 - 1 \Rightarrow \boxed{\lambda = \pm 1}$   
SILLA

Direcciones principales:

\* dirección de salida: autovector de  $\lambda = 1 \begin{pmatrix} 1 \\ 1 \end{pmatrix}$

\* dirección de entrada: autovector de  $\lambda = -1 \begin{pmatrix} 1 \\ -1 \end{pmatrix}$



Se mantiene el sistema completo.

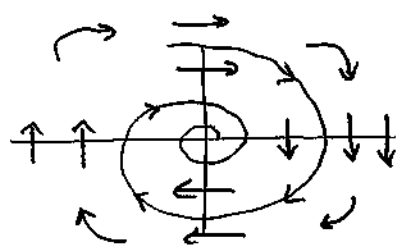
(1,0) | Sistema lineal asociado (después de traslación)

$$\begin{cases} x' = y \\ y' = -2x - y \end{cases} \Rightarrow \begin{pmatrix} 0 & 1 \\ -2 & -1 \end{pmatrix} \Rightarrow \text{Autovectores } \det \begin{pmatrix} -\lambda & 1 \\ -2 & -1-\lambda \end{pmatrix} = \frac{-1}{2} \pm \frac{\sqrt{7}}{2}i$$

Giro  
(hay parte imaginaria)

Tengo parte real  $\Rightarrow$  No es un centro

Es un foco asintóticamente estable



parte real  $< 0$

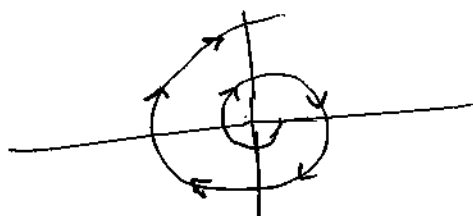
$$x' = 0 \Leftrightarrow y = 0$$

$$y' = 0 \Leftrightarrow y = -2x$$

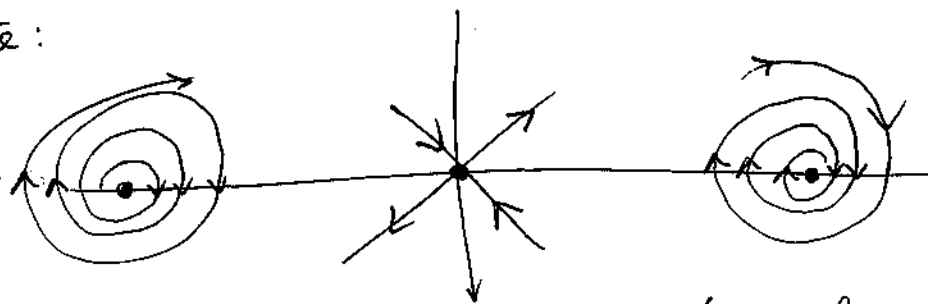
$$(x, 0), x > 0$$

$$y' = -2x - y < 0$$

(-1,0) | A completar



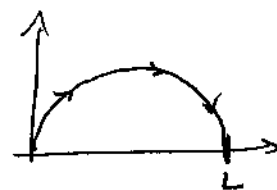
Finalmente:



Necesitamos estudiar de dónde salen las trayectorias  
 Daremos un teorema en el que veremos que todas las curvas tienen de dónde venir y a dónde ir.  
 Por ello, las trayectorias de las espirales se unen, ya que de un punto de silla puede salir una única trayectoria.

### Ejemplo 1: Diagrama de poblaciones

Modelo logístico:  $x' = ax(L-x) = f(x)$



Competencia entre especies:

$x$  (presas)

$y$  (depredadores)

En ausencia de depredadores,  $x' \sim ax$

Probabilidad encuentro depredador-presa  $\sim xy$

$$\begin{cases} x' = ax - bxy = F(x,y) \\ y' = -cy + dxy = G(x,y) \end{cases} \quad \begin{array}{l} \text{encuentro perjudicial para } x \\ \text{Encuaciones de Lotka-Volterra} \\ \text{encuentro favorable para } y \end{array}$$

$$F(x,y) = x(a - by) \rightarrow \text{ptos. críticos: } (0,0), \left(\frac{c}{d}, \frac{a}{b}\right)$$

$$G(x,y) = y(-c + dx)$$

$$\frac{\partial F}{\partial x} = a - by, \quad \frac{\partial F}{\partial y} = -bx$$

$$\frac{\partial G}{\partial x} = dy, \quad \frac{\partial G}{\partial y} = -c + dx$$



### Linealización:

$$(0,0) \rightsquigarrow \text{matriz: } \begin{pmatrix} a & 0 \\ 0 & -c \end{pmatrix} \rightarrow \begin{cases} \lambda_1 = a \Rightarrow v_1 = (1,0) \\ \lambda_2 = -c \Rightarrow v_2 = (0,1) \end{cases} \text{ silla}$$



$$\left(\frac{c}{d}, \frac{a}{b}\right) \rightarrow \text{matriz: } \begin{pmatrix} a - \frac{ba}{b} & -b\frac{c}{d} \\ d\frac{a}{b} & -c + d\frac{c}{d} \end{pmatrix} = \begin{pmatrix} 0 & -\frac{bc}{d} \\ \frac{ad}{b} & 0 \end{pmatrix} \begin{matrix} \dots \\ \uparrow \\ \text{caso límite} \end{matrix} \text{ centro}$$

Buscamos una integral primera  $E(x,y)$ :

$$\frac{d}{dt}(E(x(t), y(t))) = E_x \cdot x' + E_y \cdot y' = E_x \cdot x(a - by) + E_y \cdot y(-c + dx)$$

$$\begin{cases} x E_x = -c + dx \\ y E_y = -a + by \end{cases} \Rightarrow \begin{cases} E_x = \frac{-c}{x} + d \\ E_y = \frac{-a}{y} + b \end{cases}$$

buscamos una energía que se conserve  $\nearrow 0$

$$E(x,y) = -c \ln x + dx - a \ln y + by$$

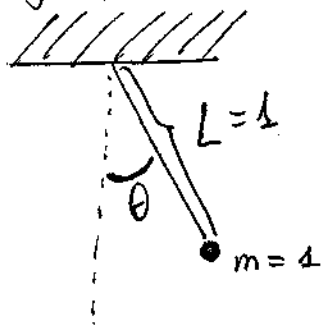
Sol:

$$-c \ln x + dx - a \ln y + by = \text{cte.}$$

← TRAYECTORIAS CERRADAS



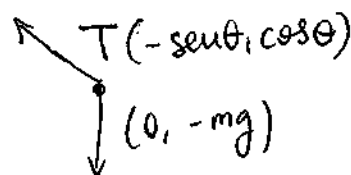
## Ejemplo 2: Péndulo con rozamiento



posición:  $\bar{x}(t) = (\text{sen}\theta, -\text{cos}\theta)$

velocidad:  $\bar{x}'(t) = (\text{cos}\theta, \text{sen}\theta)$

aceleración:  $\bar{x}''(t) = \theta''(\text{cos}\theta, \text{sen}\theta) + (\theta')^2(-\text{sen}\theta, \text{cos}\theta)$



2ª Ley de Newton:  $F = m \cdot x''$

Es decir,  $T(-\text{sen}\theta, \text{cos}\theta) + (0, -g) = \theta''(\text{cos}\theta, \text{sen}\theta) + (\theta')^2(-\text{sen}\theta, \text{cos}\theta)$

$$\begin{cases} -T \text{sen}\theta = \theta'' \text{cos}\theta + (\theta')^2(-\text{sen}\theta) \\ T \text{cos}\theta - g = \theta'' \text{sen}\theta + (\theta')^2 \text{cos}\theta \end{cases}$$

$$\begin{cases} -T \text{sen}\theta \text{cos}\theta = \theta'' \text{cos}^2\theta - \text{sen}\theta \text{cos}\theta (\theta')^2 \\ T \text{sen}\theta \text{cos}\theta - g \text{sen}\theta = \theta'' \text{sen}^2\theta + \text{sen}\theta \text{cos}\theta (\theta')^2 \end{cases}$$

$$\begin{cases} -T \text{sen}\theta \text{cos}\theta = \theta'' \text{cos}^2\theta - \text{sen}\theta \text{cos}\theta (\theta')^2 \\ T \text{sen}\theta \text{cos}\theta - g \text{sen}\theta = \theta'' \text{sen}^2\theta + \text{sen}\theta \text{cos}\theta (\theta')^2 \end{cases}$$

$\theta'' = -g \text{sen}\theta$  / péndulo sin rozamiento

Tenemos que añadir un rozamiento  $-\epsilon x'$

Por lo que  $\theta'' = -g \text{sen}\theta - \epsilon \theta'$

$$\Rightarrow \theta'' + \epsilon \theta' + g \text{sen}\theta = 0$$

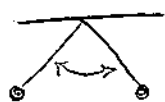
$$\begin{cases} \theta(t) = x(t) \\ \theta'(t) = y(t) \end{cases} \Rightarrow \begin{cases} x' = y \\ y' = -\epsilon y - g \text{sen}x \end{cases}$$

$\epsilon = 0$  Integral primera (energía)

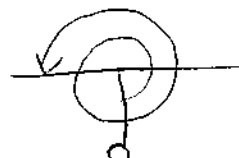
$$E(x, y) = \frac{1}{2} y^2 - g \text{cos}x$$

$\epsilon > 0$   $\frac{d}{dt} E(x(t), y(t)) = E_x x' + E_y y' = g \text{sen}x y + y(-\epsilon y - g \text{sen}x) =$

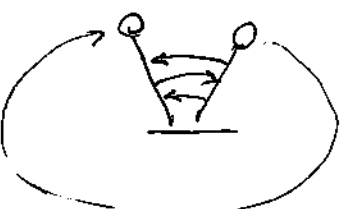
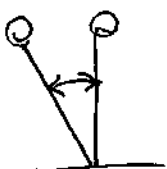
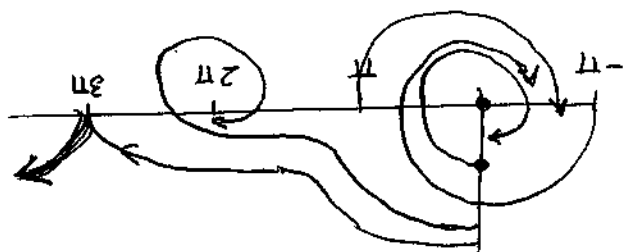
$$= -\epsilon y^2 \leq 0 \Rightarrow E(x(t), y(t)) \searrow \text{no se mantiene constante}$$



rozamiento

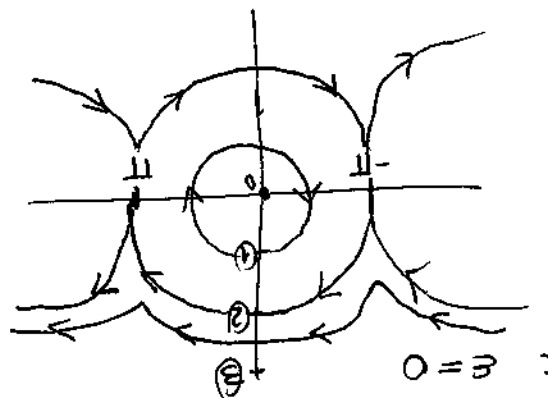


(con rotamiento:



Puntos críticos:  $(k\pi, 0)$ ,  $k \in \mathbb{Z}$ ,  $0, \pm 1, \pm 2, \dots$

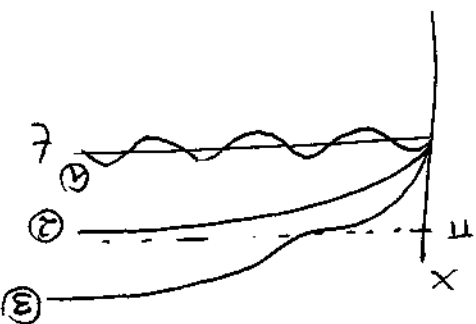
Si  $E = 0$



Si  $E > 0$  con linearización tendremos pts. de silla y los centros se transformarán en focos asintóticamente estables (espirales)

① Acaba siendo una espiral que se va cerrando

② También, habrá una que caiga justo en  $\pi$ . Otras que caigan en 0 como espiral. Otras en otro foco. Otras que caigan en otro punto de equilibrio.



Ejemplo 3:  $x'' = x - x^3 - x x''$  se puede interpretar como un rotamiento

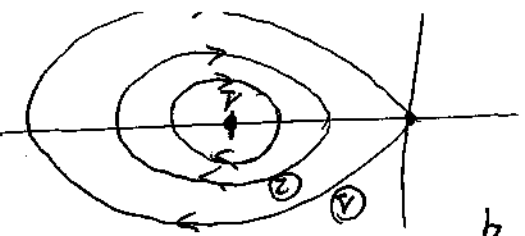
Valores a ver lo sin rotamiento  $\begin{cases} x' = y \\ y' = x - x^3 - xy \end{cases}$

Sistema sin rotamiento:

$\begin{cases} x' = y \\ y' = x - x^3 \end{cases}$  conservativo

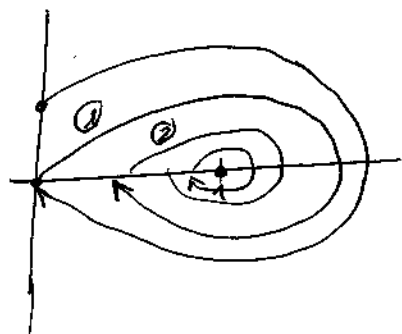
Integral primera  $E(x, y) = \frac{y^2}{2} - \frac{x^2}{2} + \frac{x^4}{4}$

$\frac{d}{dt} E(x(t), y(t)) = 0$  se cumple



Sistema con potencial común en misma energía

$$\frac{d}{dt} E(x(t), y(t)) = E_x x' + E_y y' = (-x + x^3) x' + y y' = -xy + x^3 y + xy - x^3 y - xy^2 = -xy^2 \leq 0 \quad (\text{si } x > 0)$$
$$< 0 \quad (\text{si } x > 0 \text{ e } y \neq 0)$$



Una con energía positiva que cae justo en (0,0).

### Problemas del método de linealización:

1. Casos límite
2. Autovalor  $\lambda = 0$
3. Problemas con falta de regularidad (no se puede usar Taylor)

### MÉTODO DIRECTO DE LIAPUNOV

DEFINICIÓN: Supongamos  $E(0,0) = 0$

\*  $E$  es definida positiva en  $B_R^{(0,0)} \iff E(x,y) > 0$  en  $B_R^{(0,0)} \setminus \{(0,0)\}$ .

\*  $E$  es semidefinida positiva en  $B_R^{(0,0)} \iff E(x,y) \geq 0$

\* Similar para def. negativa y semidef. negativa.

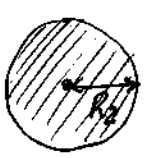
TEOREMA DE LIAPUNOV:  $E \in C^1$ ,  $E(0,0) = 0$ ,  $E$  def. positiva en  $B_R^{(0,0)}$

1. Si  $\frac{\partial E}{\partial x} F + \frac{\partial E}{\partial y} G < 0$  en  $B_{R_2}^{(0,0)}$ ,  $R_2 \leq R$ , entonces  $(0,0)$  es asintóticamente estable.

∴ Si  $\frac{\partial E}{\partial x} F + \frac{\partial E}{\partial y} G \leq 0$  en  $B_{R_2}$ , entonces  $(0,0)$  es estable (tal vez asintóticamente estable)

⊛  $E$  se llama FUNCIÓN DE LIAPUNOV.

# demonstración

1.   $E$  es positiva ( $E > 0$  fuera de  $(0,0)$  y  $0$  en  $(0,0)$ )

$$B_{R_2} \quad E_x F + E_y G < 0$$

$E(x,y) > 0$  en  $\partial B_{R_2}$  }  $E$  alcanza máximo  $\uparrow M$  y mínimo  $\uparrow m$  en  $\partial B_{R_2}$   
 $E$  continua

$$E(x,y) \geq m > 0 \quad \forall (x,y) \in \partial B_{R_2}$$

$E(0,0) = 0$   
 $E$  continua }  $\Rightarrow E$  pequeña cerca de  $(0,0)$

$\exists \delta > 0$  tal que  $E(x,y) < \frac{m}{2}$  en  $B_\delta(0,0)$

Una trayectoria  $(x(t_0), y(t_0))$  que pasa por  $B_\delta(0,0)$  no sale de  $B_{R_2}^{(0,0)}$   
 $(x(t_0), y(t_0)) \in B_{R_2} \quad \forall t \geq t_0$ , porque la energía decrece y tiene como mucho  $\frac{m}{2}$ . Para "llegar" a la frontera necesitaría como poco  $m$ .

Obs: definición de estabilidad

$p$  es estable  $\iff \forall \varepsilon > 0 \exists \delta > 0$  tal que si  $(x(t_0), y(t_0)) \in B_\delta^p$ , entonces  $(x(t), y(t)) \in B_\varepsilon^p \quad \forall t \geq t_0$ .

Con esto demostramos 2. ■

Definimos  $g(t) = E(x(t), y(t))$

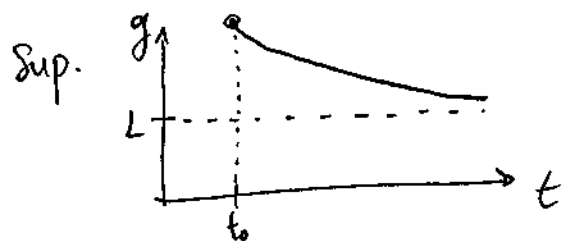
$$g'(t) = E_x x' + E_y y' = E_x F + E_y G < 0$$

$g$  decrece  $\Rightarrow g(t_0) = E(x(t_0), y(t_0)) < \frac{m}{2} \Rightarrow$

$\Rightarrow \exists \lim_{t \rightarrow \infty} g(t) = L$   $\begin{cases} \text{caso 1: } L = 0 & \text{Fin ya que } (x(t), y(t)) \xrightarrow{t \rightarrow \infty} (0,0) \\ \text{caso 2: } L > 0 \end{cases}$

Hay que estudiarlo.

$\Sigma \quad L > 0 :$



$$\begin{cases} E(0,0)=0 \\ E \text{ continua} \end{cases} \Rightarrow \exists \delta' > 0 \text{ tal que}$$

$$0 \leq E(x,y) \leq \frac{L}{2} \text{ para } (x,y) \in B_{\delta'} \Rightarrow$$

$\Rightarrow$  la trayectoria  $(x(t), y(t))$  no entra en  $B_{\delta'}$  para  $t \geq t_0$

$$K = \overline{B_R - B_{\delta'}} \text{ compacto}$$



$$\frac{\partial E}{\partial x} F + \frac{\partial E}{\partial y} G \text{ continua en } K \Rightarrow \text{alcanza } \underset{\substack{\uparrow \\ M}}{\text{máx}} \text{ y } \underset{\substack{\uparrow \\ m}}{\text{mín}} \text{ en } K.$$

$$g(t) = E(x(t), y(t))$$

$$(x(t), y(t)) \in K$$

$$g'(t) = \frac{\partial E}{\partial x} x' + \frac{\partial E}{\partial y} y' = \frac{\partial E}{\partial x} F + \frac{\partial E}{\partial y} G \leq M < 0$$

$$\text{Contradicción con } g(t) = g(t_0) + \int_{t_0}^t g'(s) ds \leq g(t_0) + M(t - t_0) \xrightarrow{t \rightarrow \infty} -\infty$$

Resumen:  $\frac{\partial E}{\partial x} F + \frac{\partial G}{\partial y} G < 0$  asintó't. estable  
 $\leq 0$  estable (quizá asintó't. estable)

¿Qué pasa si es  $> 0$ ?

Nos alejamos del punto, sería inestable (pero no vale para mucho)

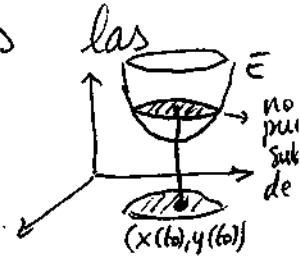
Resultados globales (comentario)

Hipótesis global sobre E

$$E(x,y) \xrightarrow{\|(x,y)\| \rightarrow \infty} \infty \quad \text{Coercitividad}$$

Observación:  $\forall c > 0 \quad \{(x,y) : E(x,y) < c\}$  es acotado

TEOREMA 1:  $E \in C^1$  con  $E(0,0) = 0$  y  $E(x,y) > 0 \quad \forall (x,y) \neq (0,0)$   
 $E$  coercitiva,  $\frac{\partial E}{\partial x} F + \frac{\partial E}{\partial y} G \leq 0$ . Entonces todas las trayectorias están acotadas para  $t \geq t_0$ .  
 (No necesariamente acotada para  $t \rightarrow -\infty$ ).



TEOREMA 2: Mismo que antes pero  $\frac{\partial E}{\partial x} F + \frac{\partial E}{\partial y} G < 0$ .  
 Entonces todas las trayectorias "caen" en  $(0,0)$ , e.d.,  $(x(t), y(t)) \rightarrow (0,0)$  como  $t \rightarrow \infty$ .

Problema de estos teoremas: son casos demasiado particulares.

Ejemplo:  $\begin{cases} x' = -y^3 \\ y' = x^3 \end{cases}$  Punto crítico  $\equiv (0,0)$   
 Linealizando  $\rightarrow$  matriz  $\begin{pmatrix} 0 & 0 \\ 0 & 0 \end{pmatrix}$  no vale

Usamos Liapunov: idea  $\rightarrow E(x,y) = ax^{2n} + by^{2m} = x^{2n} + Ay^{2m}$   
 (que se parezca a un paraboloide)

Buscamos  $n, m, A$ :  $E \in C^1$ ,  $E(0,0) = 0$ ,  $E(x,y) > 0 \quad \forall (x,y) \neq (0,0)$

$$\dot{E} = \frac{\partial E}{\partial x} F + \frac{\partial E}{\partial y} G < 0 ? \rightarrow 2n x^{2n-1} (-y^3) + A 2m y^{2m-1} x^3 =;$$

$$\Rightarrow \dot{E} = 2m x^{2n-1} y^3 = A 2m y^{2m-1} x^3 ? \rightarrow \begin{cases} m=2 \\ n=2 \\ A=1 \end{cases}$$

$\Rightarrow E(x,y) = x^4 + y^4$  es una integral primera  $\leadsto$   $\text{sol} \equiv x^4 + y^4 =$   
 $(0,0)$  es estable, pero no es asintóticamente estable.

Ejemplo:  $\begin{cases} x' = 2xy + x^3 \\ y' = -x^2 + y^5 \end{cases}$  Punto crítico  $\equiv (0,0)$   
 Linealización  $\begin{pmatrix} 0 & 0 \\ 0 & 0 \end{pmatrix}$  inútil

Buscamos  $E(x,y) = x^{2n} + Ay^{2m}$  ( $A \geq 0$ )

$$\frac{\partial E}{\partial x} F + \frac{\partial E}{\partial y} G = 2n x^{2n-1} (2xy + x^3) + 2m A y^{2m-1} (-x^2 + y^5) =$$

$$= \underbrace{4n x^{2n} y}_{\text{pot. impar}} + \underbrace{2m x^{2m+2}}_{\text{pot. par}} - \underbrace{2m A y^{2m-1} x^2}_{\text{pot. impar}} + \underbrace{2m A y^{2m+4}}_{\text{pot. par}}$$

¿podemos cancelarlo?

$$4n x^{2n} y = 2m A y^{2m-1} x^2 \Rightarrow \begin{cases} n=1 \\ m=1 \\ A=2 \end{cases}$$

$$E(x,y) = x^2 + 2y^2$$

Solución:  $x^2 + 2y^2 = C$

$$\frac{\partial E}{\partial x} F + \frac{\partial E}{\partial y} G = 2x^4 + 4y^6 > 0 \quad \text{si } (x,y) \neq (0,0)$$

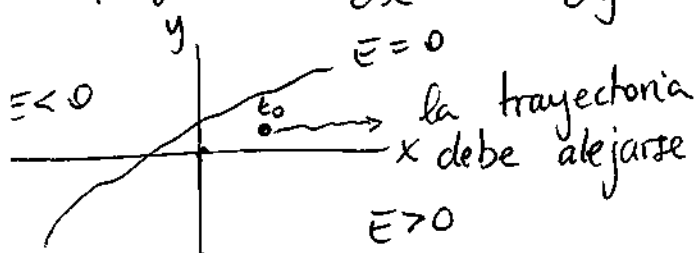
Todas las trayectorias se alejan del origen  $\Rightarrow$  es inestable.

### TEOREMA DE CHETAEV (CRITERIO DE INESTABILIDAD)

Sea  $E \in C^1$ ,  $E(0,0) = 0$  tal que  $\forall \epsilon > 0$  podemos encontrar  $(x_\epsilon, y_\epsilon) \in B_\epsilon^{(0,0)}$  con  $E(x_\epsilon, y_\epsilon) > 0$ .

$$\text{Sea } U = \{(x,y) / E(x,y) > 0\}$$

Supongamos  $\frac{\partial E}{\partial x} F + \frac{\partial E}{\partial y} G > 0$  en  $U \cap B_R \Rightarrow (0,0)$  inestable

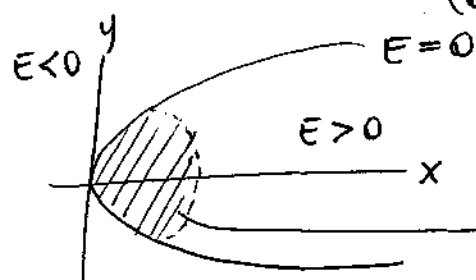


Si tengo  $E > 0$  y la energía va aumentando, tengo que alejarme (Inestable).  
 En la región  $E < 0$  no sabemos nada.



Ejemplo 1:  $\begin{cases} x' = x^2 + y^2 \\ y' = x^3 - y^2 \end{cases}$  Estudiar la estabilidad en  $(0,0)$  usando  $E(x,y) = x - \frac{y^2}{2}$

Linealización  $\rightarrow \begin{pmatrix} 0 & 0 \\ 0 & 0 \end{pmatrix}$  no sirve



Chetaev, ¿ $E_x x' + E_y y' > 0$ ?

$$\begin{aligned} E_x x' + E_y y' &= 1(x^2 + y^2) - y(x^3 - y^2) = x^2 + y^2 - x^3 y + y^3 \\ &= r^2 - r^4 \cos^3 \theta \sin \theta + r^3 \sin^3 \theta = r^2 \underbrace{\left(1 - r^2 \cos^3 \theta \sin \theta + r \sin^3 \theta\right)}_{\xrightarrow{r \rightarrow 0} 1} \end{aligned}$$

$\Rightarrow \exists r_0$  tal que  $E_x x' + E_y y' > 0$  si

$(x,y) \in R = \{E(x,y) > 0\} \cap B_{r_0}(0,0) \Rightarrow$  criterio de Chetaev  $\Rightarrow$  inest.

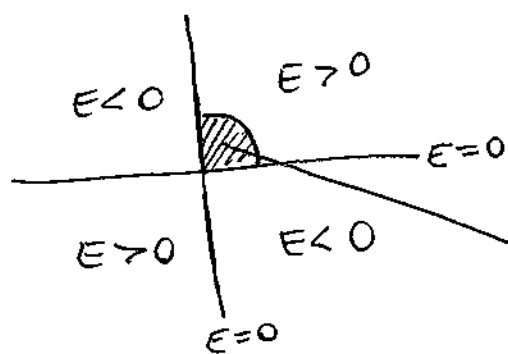
Ejemplo 2:  $\begin{cases} x' = 3x + y + x^2 \\ y' = x - y + xy \end{cases}$

Estudiar  $(0,0)$   $\begin{cases} \text{linealización} \\ E(x,y) = xy \end{cases}$

Linealización:  $\begin{pmatrix} \frac{\partial F}{\partial x}(0,0) & \frac{\partial F}{\partial y}(0,0) \\ \frac{\partial G}{\partial x}(0,0) & \frac{\partial G}{\partial y}(0,0) \end{pmatrix} = \dots = \begin{pmatrix} 3 & 1 \\ 1 & -1 \end{pmatrix}$

Autovalores:  $0 = \begin{vmatrix} 3-\lambda & 1 \\ 1 & -1-\lambda \end{vmatrix} = \dots = \begin{cases} \lambda_+ > 0 \\ \lambda_- < 0 \end{cases} \left\{ \begin{array}{l} \text{punto de silla} \\ \text{(se conserva en} \\ \text{el sistema} \\ \text{completo)} \end{array} \right.$

$E(x,y) = x(t) \cdot y(t)$




$$\begin{aligned} E_x x' + E_y y' &= y(3x + y + x^2) + x(x - y + xy) \\ &= 3xy + y^2 + x^2 y + x^2 - xy + x^2 y = \\ &= x^2 + 2xy + y^2 + 2x^2 y = (x+y)^2 + 2x^2 y \end{aligned}$$

en  $U = \{E(x,y) > 0\} \cap \{x^2 + y^2 < R^2, y \geq 0\}$

Por el criterio de Chetaev  $\Rightarrow$   
 $\Rightarrow$  inestabilidad

Ejemplo 3:  $\begin{cases} x' = -y + axy^2 \\ y' = x - bx^2y \end{cases}$  Estudiar  $(0,0)$  dependiendo de  $a, b \in \mathbb{R}$ .

Linealización:  $\begin{pmatrix} 0 & -1 \\ 1 & 0 \end{pmatrix} \Rightarrow$  autovalores  $\lambda = \pm i$

$\Rightarrow$  centro  No tiene por qué conservarse en el sistema completo.  
Habría que ver la dirección de giro

Liapunov:  $E(x,y) = x^{2n} + Ay^{2m}$

$$E_x x' + E_y y' = 2nx^{2n-1}(-y + axy^2) + 2Amy^{2m-1}(x - bx^2y) =$$

$$= \underbrace{-2nx^{2n-1}y}_{\uparrow} + 2anx^{2n}y^2 + \underbrace{2Amy^{2m-1}x}_{\uparrow} - 2Abmx^2y^{2m}$$

Buscamos cancelación

$$2nx^{2n-1}y = 2Amx^{2m-1}y \quad n=m=A=1$$

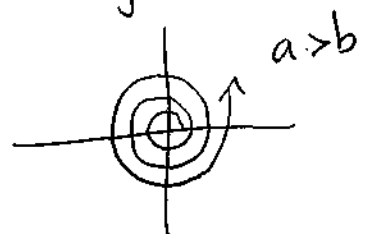
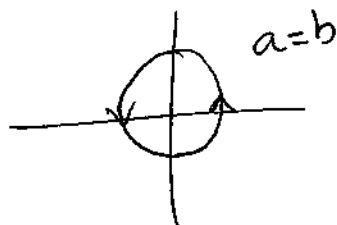
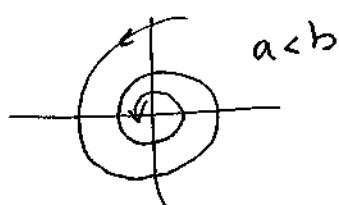
$$\Rightarrow E(x,y) = x^2 + y^2$$

$$E_x x' + E_y y' = 2ax^2y^2 - 2bx^2y^2 = 2x^2y^2(a-b)$$

Si  $a > b$ :  $\forall x,y$  inestabilidad (espirales que se alejan del origen)

Si  $a = b$ :  $\forall x,y$  tenemos integral primera  $E(x,y) = \text{cte.}$  (curvas que rodean el origen)

Si  $a < b$ :  $\forall x,y$  estabilidad asintót. (espirales que caen al origen)



Sentido de giro inventado. Habría que calcularlo.

Ejemplo 4:  $\begin{cases} x' = y + x(x^2 + y^2) \\ y' = -x + y(x^2 + y^2) \end{cases}$  Usar coordenadas polares para estudiar el sistema. Plano de fases.

Linealización  $\rightarrow \dots \rightarrow (0,0)$  centro

$$\begin{cases} x = r \cos \theta \\ y = r \sin \theta \end{cases}$$

$$2rr' = 2xx' + 2yy'$$

$$rr' = xx' + yy' = x(y + x(x^2 + y^2)) + y(-x + y(x^2 + y^2))$$

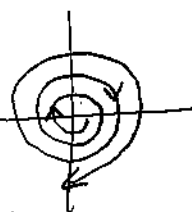
$$= xy + x^2(x^2 + y^2) - xy + y^2(x^2 + y^2) = (x^2 + y^2)^2 = r^4$$

$$\boxed{r' = r^3}$$

Como  $r > 0$  siempre, es inestable

$$\frac{1}{\cos^2 \theta} \cdot \theta' = \frac{y'x - yx'}{x^2} = \frac{x(-x + y(x^2 + y^2)) - y(y + x(x^2 + y^2))}{x^2} =$$

$$= \frac{-x^2 + xy(x^2 + y^2) - y^2 - xy(x^2 + y^2)}{x^2} = \frac{-r^2}{r^2 \cos^2 \theta} = \frac{-1}{\cos^2 \theta}$$



Ejemplo 5:  $\begin{cases} x' = 3x - y - xe^{x^2 + y^2} \\ y' = x + 3y - ye^{x^2 + y^2} \end{cases}$

a) Estudiar por el método de linealización  $\theta' = -1$   $\rightarrow$  sentido hora.  
b) Estudiar en polares

$$\begin{pmatrix} 3 & -1 \\ 1 & 3 \end{pmatrix} \rightarrow \begin{vmatrix} 3-\lambda & -1 \\ 1 & 3 \end{vmatrix} = (3-\lambda)^2 + 1 = \lambda^2 - 6\lambda + 10 \rightarrow \lambda = 3 \pm i$$

foco inestable

El sentido de giro se estudia aparte, debe dar antihorario

¿Comportamiento global?  $\rightarrow$  coordenadas polares

$$\begin{cases} r^2 = x^2 + y^2 \\ \tan \theta = \frac{y}{x} \end{cases}$$

$\rightarrow$  mismas cuentas que antes  $\rightarrow \begin{cases} r' = r(3 - e^{r^2}) \\ \theta' = -1 \end{cases}$

$r' > 0$  si  $r$  pequeño,  $r' < 0$  si  $r$  grande

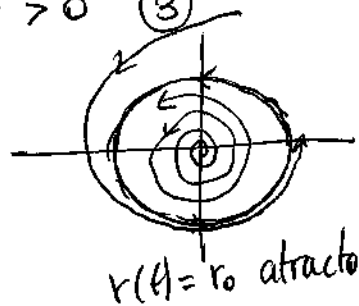
Número clave:  $r_0 = \sqrt{\log 3}$

$$\begin{aligned} r > r_0 &\rightarrow r' < 0 & \textcircled{1} \\ r = r_0 &\rightarrow r' = 0 & \textcircled{2} \\ r < r_0 &\rightarrow r' > 0 & \textcircled{3} \end{aligned}$$

① Espirales que se cierran

②  $r(t) = r_0 \quad \forall t$  es solución

③  $r < r_0 \rightarrow r' > 0 \rightarrow$  espirales que se abren



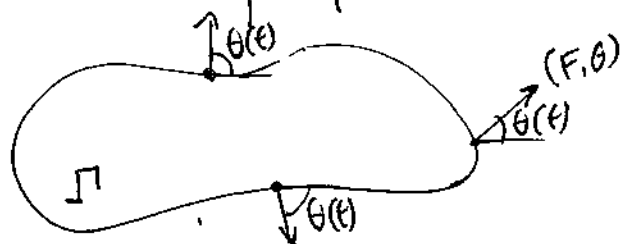
demostración del teorema que enunciaron ayer:

Índice de un campo de una curva plana

$(F, G)$  campo continuo

$\Gamma = \{\gamma(t), t \in [0, T]\}$  curva cerrada simple en  $\mathbb{R}^2$

( $\Gamma$  no tiene por qué ser una trayectoria de ningún sistema)



Supongamos  $(F, G) \neq (0, 0) \forall$  punto de  $\Gamma$

$\gamma(t) = (x(t), y(t))$ ,  $t \in [0, T]$

$(F(x(t), y(t)), G(x(t), y(t))) \neq (0, 0) \forall t \in [0, T]$

$\theta(t) \equiv$  ángulo que forma  $(F, G)$  con la parte del eje horizontal.

Obs:  $\theta(t)$  bien definido sobre  $\Gamma$  por ser  $(F, G) \neq (0, 0)$

\*  $\theta(t)$  no depende de la longitud de  $(F, G)$ , así que podríamos normalizar y usar  $\left( \frac{F}{\sqrt{F^2+G^2}}, \frac{G}{\sqrt{F^2+G^2}} \right)$  en vez de  $(F, G)$

\*  $(F, G) = (\sqrt{F^2+G^2} \cos \theta, \sqrt{F^2+G^2} \sin \theta)$

\*  $(F, G)$  continuo  $\implies \theta$  continuo.

\*  $\Gamma$  cerrada  $\implies (F(\gamma(0)), G(\gamma(0))) = (F(\gamma(T)), G(\gamma(T)))$

\*  $\cos(\theta(0)) = \cos(\theta(T))$  y  $\sin(\theta(0)) = \sin(\theta(T))$

Conclusión:

$$\theta(T) = \theta(0) - 2(K)\pi \quad (K \in \mathbb{Z})$$

↓  
Índice del campo  $(F, G)$  a lo largo  
de la curva  $\Gamma \equiv \text{Ind}_{(F, G)} \Gamma$

### Ejemplos:

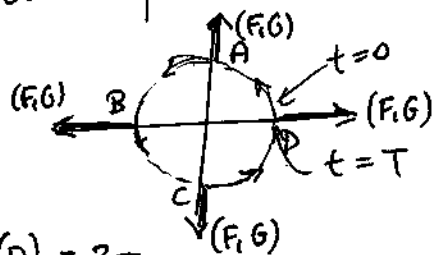
1)  $(F, G) = (0, 1)$

$$\theta(t) = \frac{\pi}{2} \quad \forall t \Rightarrow \text{Ind}_{(F,G)} \Gamma = 0$$

$$\frac{\pi}{2} = \frac{\pi}{2} + 2k\pi$$

En general, el índice es 0 si el campo es constante.

2)  $(F, G) = (x, y) \quad \Gamma = x^2 + y^2 = r^2$



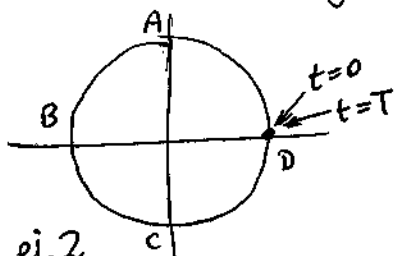
$$\theta(0) = 0, \quad \theta(A) = \frac{\pi}{2}, \quad \theta(B) = \pi, \quad \theta(C) = \frac{3\pi}{2}, \quad \theta(D) = 2\pi$$

$$\Rightarrow \text{Ind}_{(x,y)}(x^2 + y^2 = r^2) = 1 \quad \forall r$$

3)  $(F, G) = \left( \frac{x}{\sqrt{x^2 + y^2}}, \frac{y}{\sqrt{x^2 + y^2}} \right)$

la circunferencia no está centrada en el origen.

Aún así da lo mismo que en el ej. 2



$$\left. \begin{array}{l} \theta(0) = 0 \\ \theta(A) = \frac{\pi}{2} \\ \theta(B) = \pi \\ \theta(C) = \frac{3\pi}{2} \\ \theta(D) = 2\pi \end{array} \right\} \Rightarrow \text{Ind} = 1$$

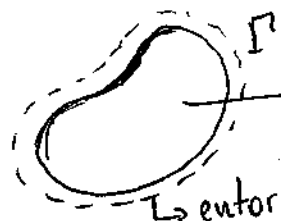
\* Si la trayectoria no contiene al "punto crítico", el índice tiene que ser 0.

TEOREMA DE POINCARÉ: Si tenemos una trayectoria cerrada, en su interior tiene que haber al menos un punto crítico (lo ha dicho muy por encima, puede estar mal)

LEMA 1:  $\bar{U} = (F, G)$  continuo  $\bar{U}$  normalizado  $\|\bar{U}\|=1$

Si  $\Gamma$  no contiene ni rodea ningún punto crítico  $\Rightarrow \text{Ind}_{\bar{U}} \Gamma = 0$

demonstración



no hay puntos críticos, ni en  $\text{int}(\Gamma)$  ni en  $\partial\Gamma$   
 $\hookrightarrow$  entorno de la curva donde  $\bar{U} \neq (0,0)$

Tomamos el cierre de ese entorno, que es un compacto  $K$  simplemente conexo  $\Gamma \subset K$   $\bar{U}$  continua en  $K$ .

TEOREMA DE POINCARÉ - BENDIXSON: apuntes Antonio

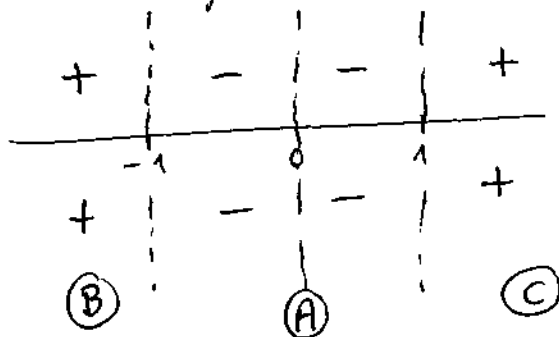
Aplicación: estudiar la existencia de soluciones periódicas.

Ejemplo a:  $\begin{cases} x' = y \\ y' = -y - x^2y + x^3 \end{cases}$

No se puede usar potencial porque  $y'$  depende de  $x$  e  $y$ .  
 $(0,0)$  es punto crítico

Bendixson  $\leadsto$  Signo de  $\frac{\partial F}{\partial x} + \frac{\partial G}{\partial y} = -1 - x^2 < 0 \quad \forall (x,y) \Rightarrow$   
 $\Rightarrow$  Como el signo es constante no puede haber trayectorias cerradas.

Si nos saliera  $-1 + x^2$ :



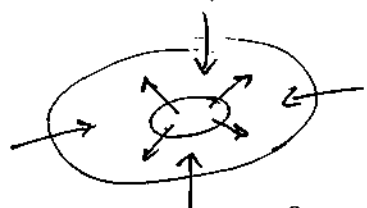
Podemos afirmar que NO puede haber trayectorias cerradas que estén contenidas exclusivamente en  $A, B$  o  $C$ , tiene que intersecar a 2 mínimo (si es que existe)

Ejemplo b: 
$$\begin{cases} x' = y + x^3(2 - e^{x^2+y^2}) \\ y' = -x + y^3(2 - e^{x^2+y^2}) \end{cases}$$

(0,0) punto crítico. Si linealizamos es un centro.

Bendixson  $\rightarrow \frac{\partial F}{\partial x} + \frac{\partial G}{\partial y}$  tiene cambios de signo

Bendixson no nos sirve, tiene cambios de signo la derivada  
Por tanto podría o no haber trayectorias cerradas.



Buscamos una región así

Pasamos a polares: 
$$\begin{cases} r^2 = x^2 + y^2 \\ \tan \theta = y/x \end{cases}$$

$$2rr' = 2xx' + 2yy'$$

$$rr' = x(y + x^3(2 - e^{r^2})) + y(-x + y^3(2 - e^{r^2})) =$$

$$= xy + x^4(2 - e^{r^2}) - xy + y^4(2 - e^{r^2}) =$$

$$= (x^4 + y^4)(2 - e^{r^2}) \stackrel{\substack{x = r \cos \theta \\ y = r \sin \theta}}{=} r^4 (\cos^4 \theta + \sin^4 \theta) (2 - e^{r^2}) \Rightarrow$$

$$\Rightarrow r' = r^3 \underbrace{(\cos^4 \theta + \sin^4 \theta)}_{\substack{\downarrow > 0 \\ \text{no nos cambia el signo}}} \underbrace{(2 - e^{r^2})}_{\text{esto determina el signo}}$$

$r' < 0$  para  $r$  grande  
 $r' > 0$  para  $r$  pequeño } En concreto, el valor límite es  $\sqrt{\ln 2}$

Por Poincaré-Bendixson hay trayectoria cerrada  $\Rightarrow$

$\Rightarrow \exists$  sol. periódica.

Ejemplo C:  $\begin{cases} x'' + x = \epsilon x^2 \\ x(0) = 1 \\ x'(0) = 0 \end{cases} \xrightarrow{\text{sistema}} \begin{cases} x' = y \\ y' = -x + \epsilon x^2 \end{cases} \quad \begin{matrix} x(0) = 1 \\ y(0) = 0 \end{matrix}$

Como  $x'$  depende únicamente de  $y$  e  $y'$  depende únicamente de  $x$  podemos buscar energía:

$$E(x, y) = \frac{1}{2} y^2 + \left( \frac{x^2}{2} - \frac{\epsilon}{3} x^3 \right) \rightarrow \text{integral primera } H(x)$$

Si teníamos  $\begin{cases} x' = y \\ y' = H(x) \end{cases} \rightarrow E(x, y) = \frac{1}{2} y^2 - \int H(x) dx$

Las soluciones son  $E(x, y) = C$ :

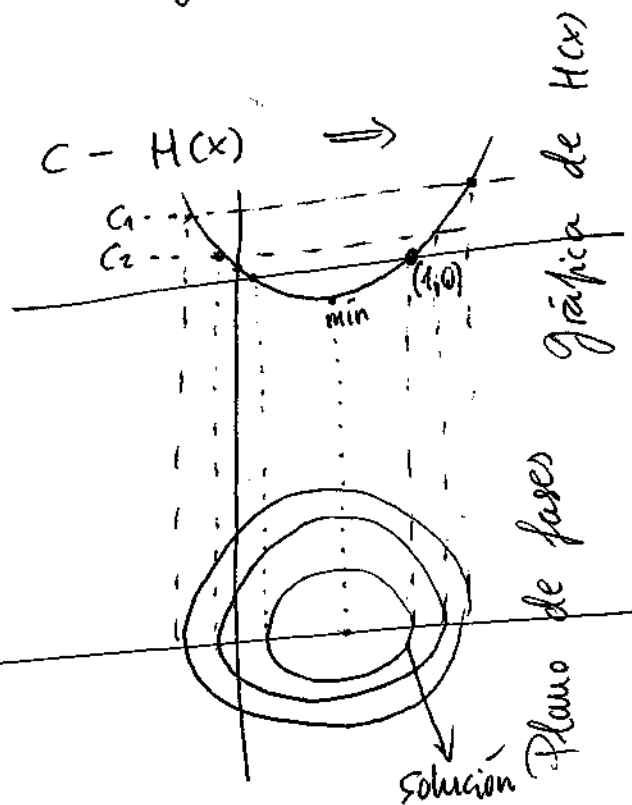
$$\frac{1}{2} y^2 + H(x) = C \Rightarrow \frac{1}{2} y^2 = C - H(x) \Rightarrow$$

$$\Rightarrow y = \pm 2 \sqrt{C - H(x)}$$

$$H(x) = \frac{x^2}{2} - \frac{\epsilon}{3} x^3 = x^2 \left( \frac{1}{2} - \frac{\epsilon}{3} x \right)$$

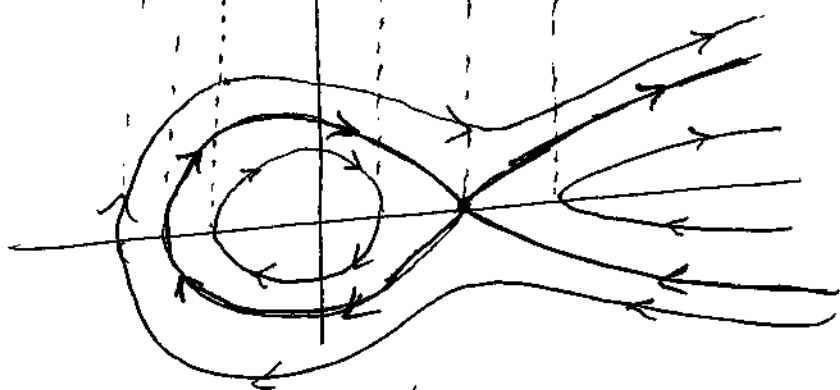
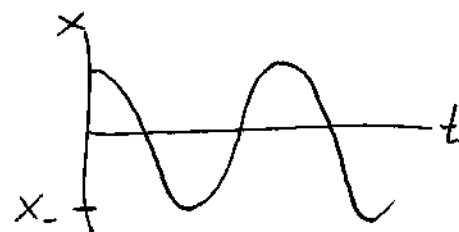
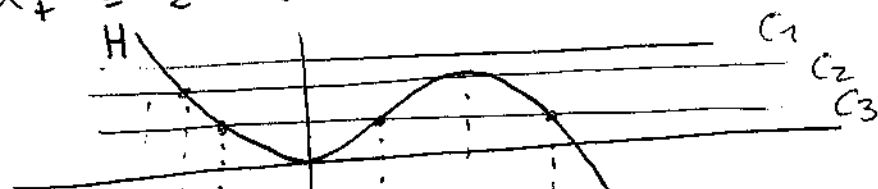
$$H(x) = 0 \iff \begin{cases} x_0 = 0 \\ x_1 = \frac{3}{2\epsilon} \end{cases}$$

Dando varios  $C_i$  podemos hallar todas las soluciones. Pero nos pedia la que pasaba por  $(1, 0)$



$x_m \equiv \min$  de  $H$

$x_+ \equiv 2^\circ$  sol. de  $H(x) = H(1)$  (o el máximo)



La región acotada en la región roja delimita la zona donde hay trayectorias periódicas.



Ejemplo :

$$\begin{cases} x' = x(1 - x^2 - y^2) + xy \\ y' = -x^2 + y(1 - x^2 - y^2) \end{cases}$$

- Puntos críticos
- Linealización
- Comportamiento global

### Puntos críticos

$$\begin{cases} x(1 - x^2 - y^2) + xy = 0 \\ -x^2 + y(1 - x^2 - y^2) = 0 \end{cases} \rightarrow \begin{cases} x(1 - x^2 - y^2 + y) = 0 \\ 1 - x^2 - y^2 + y = 0 \end{cases}$$

$x=0$  (A)  $\rightarrow$  (B)

(A)  $x=0 \Rightarrow y(1 - y^2) = 0 \Leftrightarrow y = 0, 1, -1 \Rightarrow (0, 0), (0, 1), (0, -1)$

(B)  $1 - x^2 - y^2 = -y \Rightarrow -x^2 - y^2 = 0$  imposible si  $x \neq 0$

### Linealización

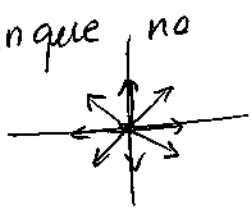
$$F(x, y) = x - x^3 - xy^2 + xy \rightarrow \begin{cases} F_x = 1 - 3x^2 - y^2 + y \\ F_y = -2xy + x \end{cases}$$

$$G(x, y) = -x^2 + y - x^2y - y^3 \rightarrow \begin{cases} G_x = -2x - 2xy \\ G_y = 1 - x^2 - 3y^2 \end{cases}$$

(0, 0)  $\begin{pmatrix} 1 & 0 \\ 0 & 1 \end{pmatrix}$  Autovalor doble  $\lambda = 1 \rightarrow$  autovectores:  $\begin{pmatrix} 1 \\ 0 \end{pmatrix}, \begin{pmatrix} 0 \\ 1 \end{pmatrix}$   
nodo impropio inestable

Sistema linealizado  $\rightarrow \begin{pmatrix} x(t) \\ y(t) \end{pmatrix} = Ae^t \begin{pmatrix} 1 \\ 0 \end{pmatrix} + Be^t \begin{pmatrix} 0 \\ 1 \end{pmatrix} = e^t \begin{pmatrix} A \\ B \end{pmatrix} \Rightarrow$

$\Rightarrow$  trayectorias que salen en todas las direcciones  
En el sist. global se conserva la inestabilidad, aunque no tiene por qué conservar la forma.



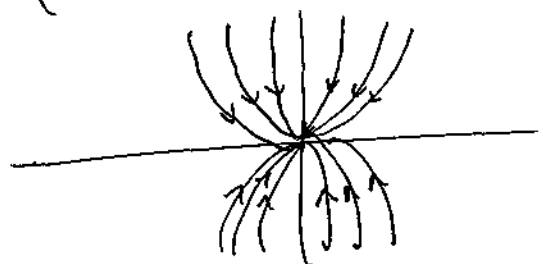
(0, -1)  $\begin{pmatrix} -1 & 0 \\ 0 & -2 \end{pmatrix}$  Autovalores  $\lambda_1 = -1, \lambda_2 = -2$  dos diferentes y neg  $\Rightarrow$  nodo asint. estable

Autovector  $-1 \rightarrow \begin{pmatrix} 1 \\ 0 \end{pmatrix}$

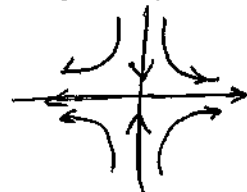
Autovector  $-2 \rightarrow \begin{pmatrix} 0 \\ 1 \end{pmatrix}$

$$\begin{pmatrix} x(t) \\ y(t) \end{pmatrix} = Ae^t \begin{pmatrix} 1 \\ 0 \end{pmatrix} + Be^{-2t} \begin{pmatrix} 0 \\ 1 \end{pmatrix} = e^{-t} \left( A \begin{pmatrix} 1 \\ 0 \end{pmatrix} + e^{-t} B \begin{pmatrix} 0 \\ 1 \end{pmatrix} \right) \xrightarrow{t \rightarrow \infty} e^{-t} A$$

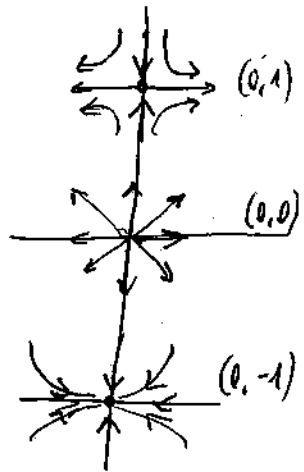
Se conserva en el sistema global



$\begin{pmatrix} 1 & 0 \\ 0 & -2 \end{pmatrix}$  Autovector  $\lambda_1 = 1$  con autovector  $\begin{pmatrix} 1 \\ 0 \end{pmatrix}$   
 Autovector  $\lambda_2 = -2$  con autovector  $\begin{pmatrix} 0 \\ 1 \end{pmatrix}$   
 $\Rightarrow$  punto de silla



Inestable



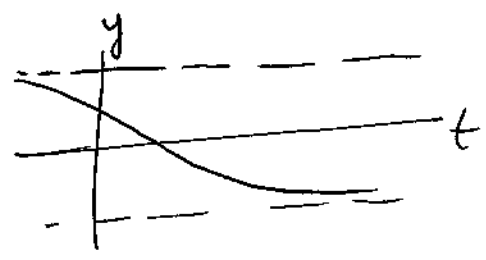
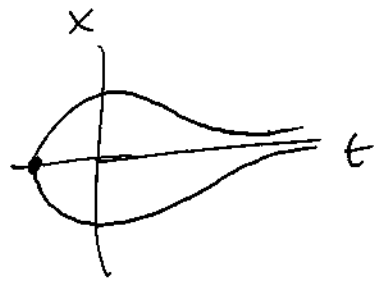
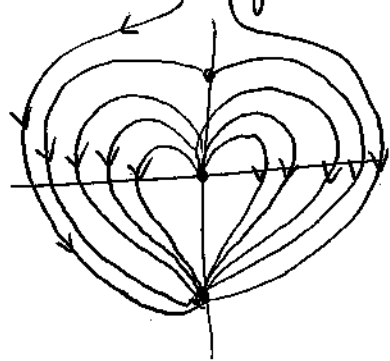
Pasamos ahora a polares:  $r^2 = x^2 + y^2$

$rr' = xx' + yy' = \dots = r^2(1 - r^2) \Rightarrow \boxed{r' = r(1 - r^2)}$

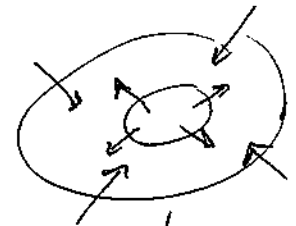
$\tan \theta = y/x$

$\frac{1}{\cos^2 \theta} \theta' = \frac{y'x - x'y}{x^2} = \dots = \frac{-r}{\cos \theta} \Rightarrow \boxed{\theta' = -r \cos \theta}$

Concluimos:  $r=1$  es sol. de la primera ecuación y  $\theta = \pm \frac{\pi}{2}$  para la segunda.



Observación:  $r' = r(1 - r^2)$   
 $< 0$  si  $r > 1$   
 $> 0$  si  $r < 1$



Poincaré-Bendixon: debería haber una trayectoria cerrada  
 ¿Contradicción? No, porque hay puntos críticos en esa región.

Ejemplo 2: 
$$\begin{cases} x' = (x(1-x^2-y^2) - y)(y^2 + (x^2-1)^2) \\ y' = (y(1-x^2-y^2) + x)(y^2 + (x-1)^2) \end{cases}$$

Puntos críticos:

$$(x(1-x^2-y^2) - y)(y^2 + (x^2-1)^2) = 0 \begin{cases} \rightarrow x(1-x^2-y^2) - y = 0 & \textcircled{A} \\ \rightarrow y^2 + (x^2-1)^2 = 0 & \textcircled{B} \end{cases}$$

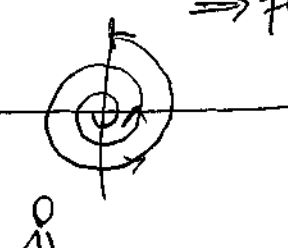
$$\textcircled{B} \Rightarrow \begin{matrix} y=0 \\ x^2=1 \end{matrix} \Rightarrow \begin{matrix} (1,0) \\ (-1,0) \end{matrix} \quad \textcircled{A} \Rightarrow \dots \Rightarrow (0,0)$$

Linealización  $F(x,y) \rightsquigarrow F_x, F_y$   
 $G(x,y) \rightsquigarrow G_x, G_y$

$\boxed{(0,0)}$   $\begin{pmatrix} 1 & -1 \\ 1 & 1 \end{pmatrix} \rightarrow 0 = (1-\lambda)^2 + 1 = \lambda^2 - 2\lambda + 2 \rightarrow \lambda = 1 \pm i$   
 $\Rightarrow$  foco inestable

$\rightarrow \begin{cases} x' = x - y \\ y' = x + y \end{cases}$

$\boxed{(\pm 1, 0)}$   $\begin{pmatrix} 0 & 0 \\ 0 & 0 \end{pmatrix}$



Polares: 
$$\begin{cases} r' = r(1-r^2) \sqrt{r^2 \sin^2 \theta + (r^2 \cos^2 \theta - 1)^2} \\ \theta' = (r^2 \sin^2 \theta + (r^2 \cos^2 \theta - 1)) \end{cases}$$

$\boxed{r=1}$  solución

$$\theta' = \sin^2 \theta + (\cos^2 \theta - 1)^2 \dots$$

Si  $\theta = \theta(r)$  (TF Impl.)

$$\frac{d\theta}{dr} = \frac{d\theta}{dt} \cdot \frac{dt}{dr} \stackrel{\downarrow}{=} \frac{d\theta/dt}{dt/dr} = \frac{1}{r(1-r^2)}$$

$$\frac{d\theta}{dr} = \frac{1}{r(1-r^2)} = \dots = \frac{1}{r} - \frac{1/2}{1+r} + \frac{1/2}{1-r}$$

Integrando  $\rightarrow \theta(r) = \theta_0 + \ln\left(\frac{r}{r_0}\right) - \frac{1}{2} \ln\left(\frac{1+r}{1+r_0}\right) - \frac{1}{2} \ln\left(\frac{1+r}{1-r_0}\right)$

$$\theta(r) \xrightarrow{r \rightarrow 1} \infty$$



# EJEMPLOS DE TRAYECTORIAS

①  $x'' = f(x)$  (la 2ª Ley de Newton es un ejemplo)  
 $f \in C^1(\mathbb{R})$  (también valdría para  $f \in C^1(a,b)$ )

$y = x' \Rightarrow$  lo convertimos en un sistema

Ecuación de las trayectorias:

$$\frac{dx}{dt} = y(t), \quad \frac{dy}{dt} = f(x(t))$$

Trayectoria "y = func. de x"

$$\frac{dy}{dx} = \frac{dy}{dt} \cdot \frac{dt}{dx} = \frac{dy/dt}{dx/dt} = \frac{f(x)}{y} \Rightarrow y dy = f(x) dx \Rightarrow$$

si  $\frac{dx}{dt} \neq 0$   
"y"

$$\Rightarrow \int y dy - \int f(x) dx = 0$$

Si  $V(x)$  es una primitiva de  $-f(x)$  (es decir  $V'(x) = -f(x)$ ):

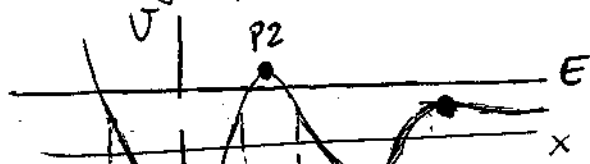
$$\frac{y^2}{2} + V(x) = cte = E$$

$\swarrow$  E cinética (masa=1)  
 $\nwarrow$  energía potencial  
 $\uparrow$  energía

↑ sistema conservativo (oso: En dimensión 1 todos lo son)

define y implícitamente en función de x

Por ejemplo, V con el siguiente gráfico:

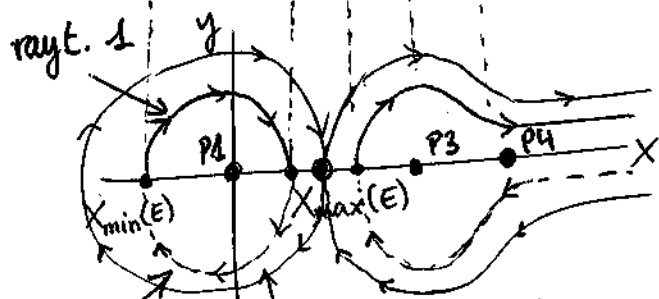


$$\frac{y^2}{2} + V(x) = E$$

$$y = \pm \sqrt{2(E - V(x))}$$

las x relevantes son aquellas que cumplen  $V(x) \leq E$  (si  $V(x) > E$  no podemos tomar la raíz)

P1, P2, P3 son puntos críticos



en esta dirección porque  $y' = -V'(x) = f(x)$ . En  $x_{min}$  a la derecha  $V(x)$  decrece  $\Rightarrow y' > 0 \Rightarrow y$  crece.

$$\frac{dy}{dx} = \frac{-2 U'(x)}{2 \sqrt{2(E-U(x))}}$$

en  $x_{\min}, x_{\max}$   $2(E-U(x)) = 0 \Rightarrow$   
 $\Rightarrow$  las partes superior e inferior "pegan" bien.

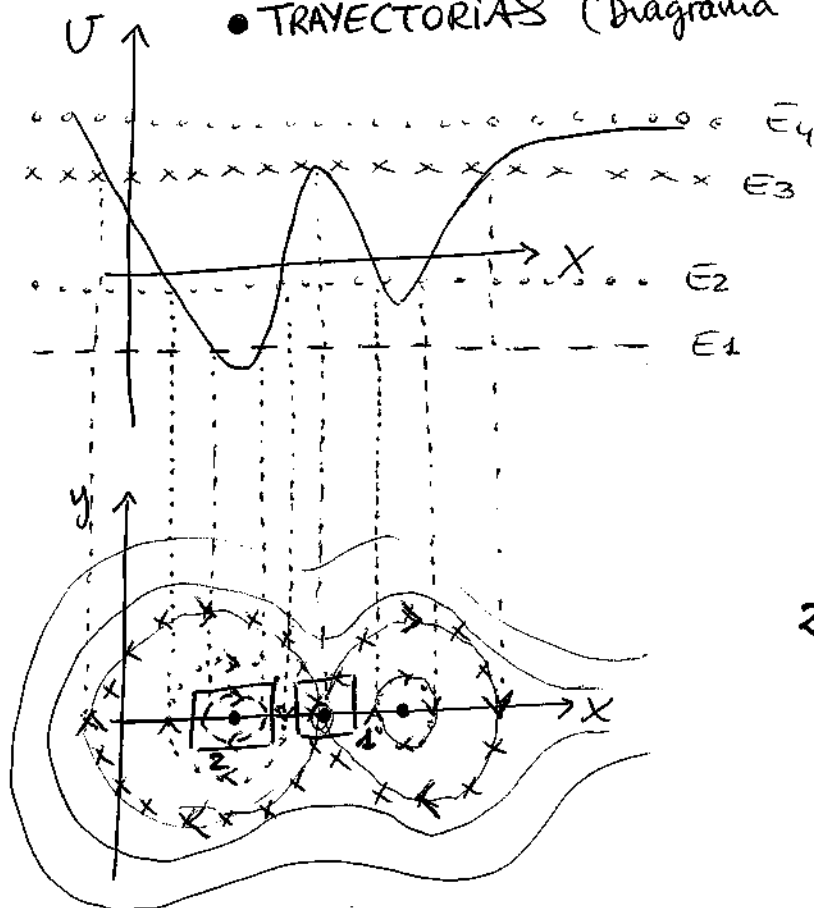
Puntos críticos:

$$x' = y$$

$$y' = f(x) = -U'(x)$$

$$\begin{matrix} x'=0 \\ y'=0 \end{matrix} \Rightarrow \begin{cases} y=0 \\ U'(x)=0 \end{cases}$$

• TRAYECTORIAS (Diagrama de fases)



1  
Puerto o  
punto de silla



2  
Centro

COMENTARIOS: (Importantes)

① Una integral primera de un sistema es una función que es constante sobre cada solución/trayectoria.

Por ejemplo,  $\frac{y^2}{2} + U(x)$  es una integral primera del sistema

$\begin{cases} x' = y \\ y' = -U'(x) \end{cases}$  En dimensión 2 corresponde (esencialmente) a una ecuación implícita para las trayectorias y se pueden encontrar intentando resolver la EDO de las trayectorias  $\frac{dy}{dx} = \frac{g(x,y)}{f(x,y)}$  con  $x' = f$ ,  $y' = g$ . En dimensiones más altas, una integral primera solo da una hipersuperficie en la que están las

trayectorias/soluciones.

Por ejemplo en  $\mathbb{R}^3$ :  $x' = \dots$   
 $y' = \dots$   
 $z' = \dots$

$h(x,y,z)$  es integral primera  $\Leftrightarrow h(x(t), y(t), z(t)) = \text{cte.}$ , e.d.,  
la trayectoria está  $\{(x,y,z) \in \mathbb{R}^3 : h(x,y,z) = \text{cte}\}$ . Ese  
conjunto es una superficie regular en aquellos puntos en los  
que  $\nabla h \neq 0$ , por lo que se puede despejar una variable  
en términos de las otras dos.

② En el ejemplo aparecen trayectorias cerradas; veremos que  
corresponden a soluciones periódicas.

③ También hemos visto que hay trayectorias que "convergen"  
a un punto crítico.

Veremos que si  $x(t)$  es una solución (de  $x' = F(x)$ ) y  
 $x(t) \xrightarrow[t \rightarrow \infty]{} p$  entonces  $p$  es crítico.

Basta que existan  $t_n \rightarrow \infty$  tal que  $x(t_n) \xrightarrow[n \rightarrow \infty]{} p$

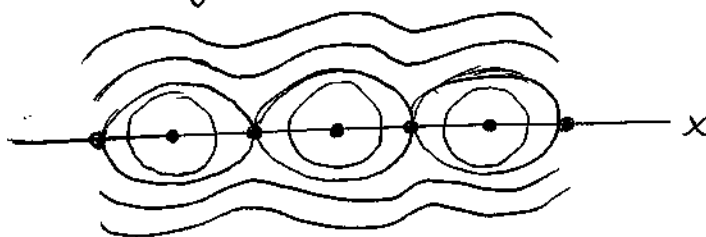
④ Si "ampliamos" con un "super-zoom" zonas del diagrama de  
fases, fuera de un punto crítico se obtienen líneas rectas  
pero en un punto crítico puede haber un puerto o un centro.  
Esto nos va a llevar a estudiar los distintos tipos de  
un punto crítico.

# Ejercicio: PÉNDULO SIMPLE

$$\theta'' = -\frac{g}{L} \sin(\theta)$$

$$\begin{aligned} x &= \theta \\ y &= \theta' \end{aligned} \rightsquigarrow \begin{cases} x' = y \\ y' = -\frac{g}{L} \sin(x) \end{cases}$$

El diagrama de fases es:



## SISTEMAS CONSERVATIVOS EN DIMENSIÓN $> 1$

$$X'' = F(X) \quad \text{DEFINICIÓN: Conservativo} \stackrel{\text{def.}}{=} F = -\nabla U$$

$$F: \Omega \subset \mathbb{R}^d \rightarrow \mathbb{R}^d, \quad U: \Omega \rightarrow \mathbb{R} \quad \text{regular } (C^2)$$

Proposición:  $\underbrace{\frac{|X'(t)|^2}{2}}_{\text{en. cinética}} + \underbrace{U(X(t))}_{\text{en. potencial}} = \text{es constante}$  (e.d.  $\frac{|y|^2}{2} + U(x)$  es una int. primera)

Además,  $|\vec{v}|^2 = \sum v_j^2$ , la norma euclídea

demonstración

$$|\vec{v}|^2 = v \cdot v$$

$$\frac{d}{dt} \left( \underbrace{\frac{|X'(t)|^2}{2}}_{\frac{X' \cdot X'}{2}} + U(X(t)) \right) = \frac{2X' \cdot X''}{2} + \nabla U(X(t)) \cdot X'(t) = X' \left( X'' + \underbrace{\nabla U(X(t))}_{-F(X(t))} \right) \stackrel{\text{solución}}{=} 0$$



Ejemplo:  $x'' = x - x^3 = -U'(x)$  (ED)

$U(x) = \frac{-x^2}{2} - \frac{x^4}{4}$  (par)

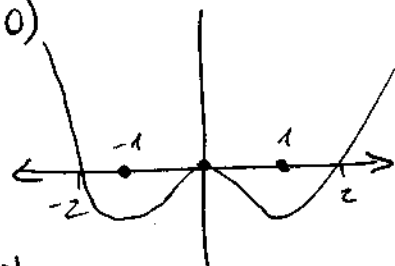
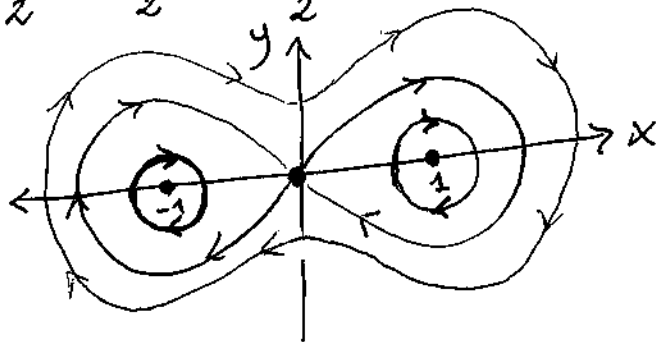
$\begin{cases} x' = y \\ y' = x - x^3 = -U'(x) \end{cases} \xrightarrow{\text{puntos críticos}} \begin{cases} y = 0 \\ x(1-x^2) = 0, \text{ e.d., } x=0 \wedge x=\pm 1 \end{cases}$

$\Rightarrow$  puntos críticos:  $(-1,0)$ ,  $(0,0)$ ,  $(1,0)$

¿trayectorias?

$\frac{y^2}{2} + U(x)$  se conserva en las trayectorias, e.d., las trayectorias están descritas por:

$\frac{y^2}{2} - \frac{x^2}{2} + \frac{x^4}{4} = \text{cte.}$



### COMENTARIOS:

① La simétrica con respecto al eje  $x$  tiene que ver con reversibilidad en  $t$ , e.d.,  $x(t)$  solución de (ED)  $\Rightarrow \Rightarrow \bar{x}(t) \stackrel{\text{def}}{=} x(-t)$  también es solución de (ED).

②  $z = \frac{y^2}{2} - \frac{x^2}{2} + \frac{x^4}{4} \quad (= \frac{y^2}{2} + U(x))$



Las trayectorias son curvas de nivel.

PROPOSICIÓN:  $X' = F(X)$ ,  $F \in C^1(\Omega)$ ,  $\Omega$  abto en  $\mathbb{R}^d$ .  
 Si  $X(t)$  es una solución que da lugar a una trayectoria / curva cerrada entonces es periódica.

## LINEALIZACIÓN DE PUNTOS CRÍTICOS Y CLASIFICACIÓN

$$\begin{aligned} x' &= f(x, y) & (x_0, y_0) \text{ punto crítico} & (f(x_0, y_0) = 0 = g(x_0, y_0)) \\ y' &= g(x, y) \end{aligned}$$

TAYLOR:  $\begin{matrix} 0 \\ \parallel \\ \text{pto. crítico} \end{matrix}$

$$f(x, y) = \underbrace{f(x_0, y_0)}_0 + f_x(x_0, y_0) \underbrace{(x - x_0)}_u + f_y(x_0, y_0) \underbrace{(y - y_0)}_v + R(x, y)$$

donde (suponemos  $f$  es  $C^2$ )  $R(x, y) = O((x - x_0)^2 + (y - y_0)^2)$

$$(x, y) \rightarrow (u, v) \quad (\text{si } x(t), y(t) \rightarrow u(t), v(t))$$

$$u' = au + bv + O(u^2 + v^2)$$

$$v' = cu + dv + O(u^2 + v^2)$$

donde  $\begin{cases} a = f_x(x_0, y_0) \\ b = f_y(x_0, y_0) \\ c = g_x(x_0, y_0) \\ d = g_y(x_0, y_0) \end{cases}$

lo mismo  
que hemos  
hecho pero con  $g$

Ese sistema es: (aprox. si  $|u| \ll 1$ ,  $|v| \ll 1$ )

$$\begin{cases} u' = au + bv \\ v' = cu + dv \end{cases} \rightarrow \text{SISTEMA LINEALIZADO EN EL PUNTO CRÍTICO}$$

Vamos a suponer que  $\begin{vmatrix} a & b \\ c & d \end{vmatrix} \neq 0$ , e.d., el punto crítico es no degenerado.

Eso tiene como consecuencia que el punto crítico  $(x_0, y_0)$  es aislado, e.d., en un entorno de  $(x_0, y_0)$  no hay ningún otro pto. crítico

$$(x, y) \xrightarrow{H} (f(x, y), g(x, y)) \quad \det(DH) \neq 0 \Rightarrow H \text{ es invertible cerca de } (x_0, y_0)$$

Esta claro que  $u=0, v=0$  es el único punto crítico del sistema lineal  $\begin{cases} u' = au + bv \\ v' = cu + dv \end{cases}$  y vamos a estudiar como son sus trayectorias

VISTO:

(s)  $x' = f(x,y)$   
 $y' = g(x,y)$   $(x_0, y_0)$  punto crítico tal que  $\begin{vmatrix} f_x & f_y \\ g_x & g_y \end{vmatrix} \neq 0$  en

(SL)  $x' = ax + by$   $f_x(x_0, y_0) = a$   $g_x(x_0, y_0) = c$   
 $y' = cx + dy$   $f_y(x_0, y_0) = b$   $g_y(x_0, y_0) = d$

PROPOSICIÓN: Las trayectorias de (s) cerca de  $(x_0, y_0)$  tienen el mismo aspecto que las de (SL) en  $(0,0)$ . SALVO  $\lambda_1 = \lambda_2$  (re o  $\lambda_1, \lambda_2$  imaginarios puros (e.d.  $\text{Re}(\lambda_i) = 0$ )).

Si  $\lambda_1, \lambda_2$  podría pasar cualquier tipo de nodo.

Si  $\text{Re}(\lambda_i) = 0$  puede pasar a  $\begin{cases} \text{centro} \\ \text{espiral} \end{cases}$  siempre que

$f, g$  sean analíticas (por ej: polinomios, sen, cos ...)  
 $\rightarrow$  se pueden expresar como la suma de su serie de Taylor.

Ejemplo: Otra cosa que puede pasar en centros.

$$f(x,y) = \begin{cases} -y + x(x^2+y^2) \operatorname{sen}\left(\frac{1}{\sqrt{x^2+y^2}}\right) & \text{si } (x,y) \neq (0,0) \\ 0 & \text{en } (0,0) \end{cases}$$

$$g(x,y) = \begin{cases} x + y(x^2+y^2) \operatorname{sen}\left(\frac{1}{\sqrt{x^2+y^2}}\right) & \text{si } (x,y) \neq (0,0) \\ 0 & \text{en } (0,0) \end{cases}$$

Está claro que son  $C^4$ .

i)  $(0,0)$  es punto crítico ( $f$  y  $g$  se anulan)

ii) El sist. lineal asociado es:  $x' = -y$   
 $y' = x$

Observar que  $(x^2+y^2) \operatorname{sen}\left(\frac{1}{\sqrt{x^2+y^2}}\right) = o(x^2+y^2)$

i) El sistema en polares es:

$$r = \sqrt{x^2 + y^2} \quad \left( r(t) = \sqrt{x(t)^2 + y(t)^2} \right)$$

$$r' = \frac{1}{2\sqrt{x^2 + y^2}} (2xx' + 2yy') = \frac{1}{r} \left( x(-y + xr^2 \sin(\frac{1}{r})) + y(x + yr^2 \sin(\frac{1}{r})) \right)$$

$$\xrightarrow{\left( \begin{smallmatrix} x \\ y \end{smallmatrix} \right) \cdot \left( \begin{smallmatrix} x' \\ y' \end{smallmatrix} \right)} = \frac{1}{r} (x^2 + y^2) r^2 \sin(\frac{1}{r}) = r^3 \sin(\frac{1}{r})$$

Con esto basta, como veremos ...

$\theta = \arctan\left(\frac{y}{x}\right)$  (si  $x \neq 0$ , cualquier  $\arctan(\cdot) \leadsto$  dos de ellas se diferencian en constantes)

$\theta' = \frac{1}{1 + (y/x)^2} \cdot \left( \frac{y'}{x} - \frac{y}{x^2} \cdot x' \right) \Rightarrow$

$\frac{d}{dt} \Rightarrow \theta' = \frac{1}{x^2 + y^2} (xy' - yx')$

$\xrightarrow{\text{mult. por } x^2 \text{ en num \& den}} \frac{xy' - yx'}{x^2 + y^2} \xrightarrow{\text{sustituimos } \begin{smallmatrix} x' \\ y' \end{smallmatrix}} = \frac{x^2 + y^2}{x^2 + y^2} = 1$

$\uparrow$  irrelevante cuando derivamos

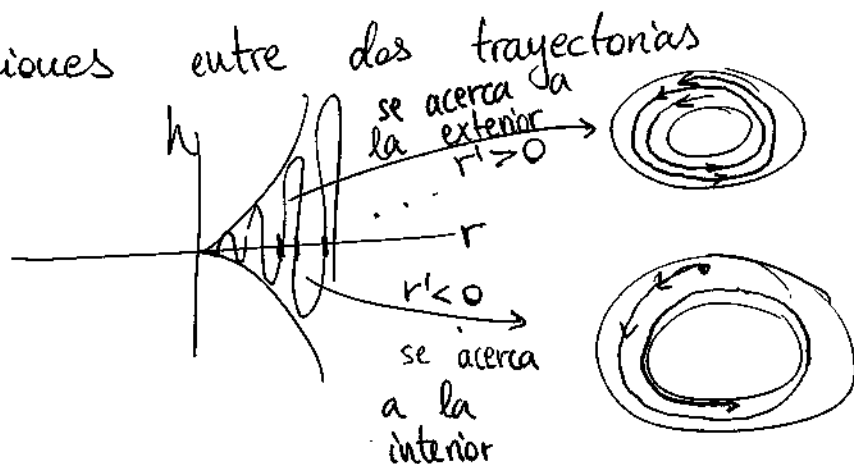
iv) Si  $r_n = \frac{1}{n\pi}$ ,  $\sin\left(\frac{1}{r_n}\right) = \sin(n\pi) = 0 \quad n \in \mathbb{N}$

e.d.  $r(t) = r_n \leadsto r' = 0$  es solución.

$\theta(t) = t \quad (\theta' = 1)$  sucesión de trayectorias cerradas  $\bigcap_n$  con  $\bigcap_n \searrow (0,0)$

v) ¿Cómo son las soluciones entre dos trayectorias cerradas consecutivas?

$$\begin{cases} r' = r^3 \sin(1/r) = h(r) \\ \theta' = 1 \end{cases}$$



# ESTABILIDAD DE PUNTOS CRÍTICOS

$$\begin{aligned} (s) \quad x' &= f(x,y) \\ y' &= g(x,y) \end{aligned}$$

$$p = (x_0, y_0)$$

punto crítico (e.d.  $f(x_0, y_0) = g(x_0, y_0) = 0$ )  
"no-singular"

$$\begin{vmatrix} f_x(p) & f_y(p) \\ g_x(p) & g_y(p) \end{vmatrix} \neq 0$$

¿Estabilidad de (s) en p?

Para los casos en el que el sistema lineal asociado a (s) en p tiene el mismo aspecto que el de (s) podemos concluir estabilidad en los casos pertinentes.

$$e^{\lambda t} \xrightarrow{t \rightarrow \infty} +\infty \text{ si } \lambda > 0, \quad e^{\lambda t} \xrightarrow{t \rightarrow \infty} 0 \text{ si } \lambda < 0,$$

~~Si  $\text{Re}(\lambda_i) < 0$~~

Resumen:

i) Si  $\text{Re}(\lambda_i) < 0$  ( $i=1,2$ )  $\Rightarrow$  estable (asintóticamente estable)  
(caso  $\lambda_1, \lambda_2$  reales está ahí)

ii) Si al menos uno! un autovalor tiene parte real  $> 0$  (incluye el caso que sea real) entonces es inestable.

iii) CASO MALO:  $\text{Re}(\lambda_i) = 0$   $\rightarrow$  centro para (SL)  
 $i=1,2$

Lo que vamos a ver es un enfoque que mira directamente a (s) [VALE PARA TODOS LOS CASOS]. Enfoque debido a LYAPUNOV.

Idea: intentar encontrar una función  $E(x,y)$  que se comporte como una "energía" en la que " $p$ " es el punto de energía mínima, y tal que la "energía" se mantiene o decrece a lo largo de las trayectorias (cercanas a " $p$ ")

Recordar:  $p = (x_0, y_0)$  pto. crítico para  $(s, \dot{s}) \in C^1$  en entorno de  $p$

DEFINICIÓN:

①  $E$  es DEFINIDA POSITIVA  $\iff \exists r_0 > 0$  tal que

$$E : B(p, r_0) \longrightarrow \mathbb{R} \equiv \{ q \in \mathbb{R}^2 : \|q - p\| < r_0 \}$$

norma euclídea

y:

- i)  $E$  es  $C^1$

ii)  $E(p) = 0$

iii)  $E(q) > 0$  si  $q \neq p$

②  $E$  es semidefinida positiva  $\iff$  "lo mismo" con

iii)  $E(q) \geq 0$  si  $q \neq p$ .

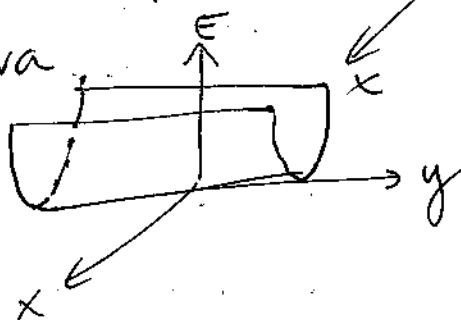
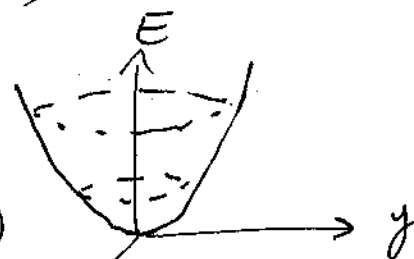
③ y ④  $E$  es DEFINIDA (SEMIDEFINIDA) NEGATIVA  $\iff$

"lo mismo" pero  $E(q) < 0$  ( $E(q) \leq 0$ ).

Ejemplo:

$E = x^2 + y^2 \longrightarrow$  definida positiva para  $(0,0)$

$E = x^2 \longrightarrow$  semidefinida positiva para  $(0,0)$



$\underbrace{(x \ y) \begin{pmatrix} \alpha & \beta \\ \beta & \gamma \end{pmatrix} \begin{pmatrix} x \\ y \end{pmatrix}}_{(*)}$  es definida positiva si  $\begin{pmatrix} \alpha & \beta \\ \beta & \gamma \end{pmatrix}$  lo es.

Se puede ver fácilmente:

(\*) def. pos. sii los autovalores  $\begin{pmatrix} \alpha & \beta \\ \beta & \gamma \end{pmatrix}$  son ambos pos

Otro ejemplo:

$E = x^2 + \sin^2(y)$  definida positiva en  $(0,0)$

Comentario: Las  $E$  que son def. positivas para  $p$  van a ser las "energías".

Pregunta: ¿en qué se convierte la idea de que la energía se mantiene o decrece en las trayectorias?

$$e(t) \stackrel{\text{def.}}{=} E(\underbrace{x(t), y(t)}_{(*)})$$

$$(*) \Leftrightarrow \frac{d}{dt} e(t) \leq 0$$

↑ solución de (s)

$$\begin{aligned} \frac{d}{dt} e(t) &= E_x(x(t), y(t)) x'(t) + E_y(x(t), y(t)) y'(t) = \\ &= (E_x f + E_y g)(x(t), y(t)) \stackrel{??}{\leq} 0 \end{aligned}$$

Basta que  $(E_x f + E_y g) \leq 0$  para cualquier punto  $(x, y)$  cerca de  $p$ .

### Proposición (sobre la estabilidad):

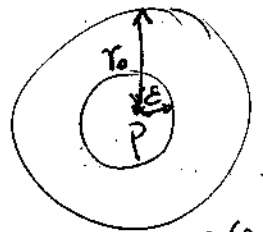
Si existe  $E$  definida positiva en  $p$  y además  $E_x f + E_y g$  es semidefinida negativa en  $p$  ( $E \in C^2$ ) entonces  $p$  es estable para (s), es decir,  $\forall \varepsilon > 0 \exists \delta > 0$  tal que si  $\|(x(t_0), y(t_0)) - p\| < \delta$ , entonces  $\|(x(t), y(t)) - p\| < \varepsilon \quad \forall t \geq t_0$ .

#### demostración

$$E: B(p, r_0) \longrightarrow \mathbb{R}$$

Dado  $\varepsilon > 0$  ¿ $\exists \delta$  como en el enunciado?

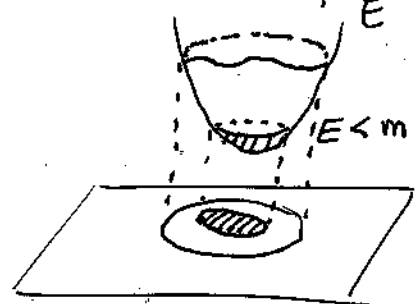
Podemos suponer  $\varepsilon < r_0$ .



i) Sea  $m = \min_{\partial B(p, \varepsilon)} E$  existe (por ser  $E$  continua y  $\partial B(p, \varepsilon)$  compacto) y  $m > 0$  pues  $E$  solo se anula en  $p$  y es mayor que cero fuera (en particular en  $\partial B(p, \varepsilon)$ ).

ii)  $E(p) = 0$  cont.  $\Rightarrow \exists \delta > 0$  tal que

$$E(q) < m \quad \text{si} \quad \|q - p\| < \delta.$$



iii) Si  $(x(t_0), y(t_0)) \in B(p, \delta)$  entonces  $(x(t), y(t)) \in B(p, \varepsilon) \quad \forall t \geq t_0$

Definición: Una función  $E$  como la de la proposición se denomina FUNCIÓN DE LYAPUNOV (DÉBIL) para (s) en  $p$ .



PROPOSICIÓN: Si en las hipótesis del resultado anterior cambiamos  $E_x f + E_y g$  semidefinida negativa por definida negativa, entonces  $p$  es asintóticamente estable, e.d.,  $\exists \delta_0$  tal que si  $(x(t_0), y(t_0)) \in B(p, \delta_0)$  entonces  $(x(t), y(t))$  converge a  $p$  cuando  $t \rightarrow \infty$ .

### Razón

Tomamos  $\varepsilon_0$  tal que las hipótesis sobre  $E_x f + E_y g$  se cumplen en  $\overline{B}(p, \varepsilon_0)$ . Por la proposición anterior  $\exists \delta_0$  tal que  $(x(t_0), y(t_0)) \in B(p, \delta_0) \Rightarrow (x(t), y(t)) \in B(p, \varepsilon_0)$ .

Con  $e(t)$  como antes,  $e(t) \xrightarrow{t \rightarrow \infty} 0$  pues de lo contrario pasaría lo siguiente:



- $e(t)$  decrece

- Si no converge a 0, entonces la trayectoria se queda en un anillo.

Como  $E_x f + E_y g$  es continua, no se anula en el anillo, y es  $< 0$  en él, entonces  $\exists \gamma > 0$  tal que  $E_x f + E_y g \leq -\gamma < 0$  en el anillo.

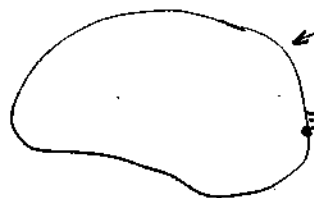
Entonces si  $t > t_0$ :  $e(t) = e(t_0) + \int_{t_0}^t \underbrace{\frac{d}{dt} e(s)}_{-\gamma} ds \leq$

$\leq e(t_0) - \gamma(t - t_0) \xrightarrow{t \rightarrow \infty} -\infty$  contradicción con que  $e(t) \geq 0$

DEFINICIÓN: Una  $E$  como en esta proposición se llama FUNCIÓN DE LYAPUNOV FUERTE.

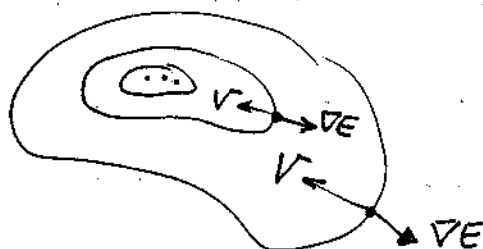
## Interpretación geométrica

conjunto de nvl de  $E$   $E=h$   $\{(x,y): E(x,y)=h\}$



$\nabla E$  perpendicular a la frontera

$$E_x f + E_y g = \underbrace{\begin{bmatrix} f \\ g \end{bmatrix}}_{\text{"V"}} \cdot \underbrace{\begin{bmatrix} E_x \\ E_y \end{bmatrix}}_{\nabla E}$$



Si  $V \cdot \nabla E < 0 \Rightarrow V$  apunta hacia el interior

Si en  $\{E \leq h\}$  se cumplen las hipótesis de  $E$  def. positiva en  $p$ , y  $E_x f + E_y g$  def. negativa en  $p$ , entonces cualquier solución a (s) que comience en  $\{E \leq h\}$  converge a  $p$  ("es atraída por  $p$ "). Es decir, está en la "cuenca de atracción de  $p$ ".

Ejercicio: Usando las mismas ideas (en especial

$$e(t) = e(t_0) + \int_{t_0}^t \frac{d}{dt} e(s) ds, \text{ donde } \frac{d}{dt} e(s) = E_x f + E_y g)$$

demostrar que si suponemos que  $E$  está definida en todo  $\mathbb{R}^2$  y cumple las hipótesis de la 2ª prop. y además  $E(q) \rightarrow \infty$  cuando  $\|q\| \rightarrow \infty$  entonces todas las trayectorias convergen a  $p$ .

(En las condiciones de la 1ª prop.  $\rightarrow$  cualquier trayectoria es acotada)

Ejemplo: Encontrar  $\alpha$  tal que  $x^2 + \alpha y^2$  es una función de Lyapunov <sup>fuerte</sup> para el sistema  $\begin{cases} x' = y - \sin^3(x) \\ y' = -4x - \sin^3(y) \end{cases}$  en el punto  $(0,0)$ .

Observar que  $(0,0)$  es un punto crítico y el sist. linealizado tiene matriz:

$$\begin{pmatrix} 0 & 1 \\ -4 & 0 \end{pmatrix} \quad \begin{pmatrix} x' = y \\ y' = -4x \end{pmatrix}$$

$\hookrightarrow$  autovalores  $= \pm \sqrt{2} i \rightarrow$  centro.

$\alpha > 0 \Rightarrow x^2 + \alpha y^2$  definida positiva

$$\begin{aligned} E_x f + E_y g &= 2x(y - \sin^3(x)) + 2\alpha y(-4x + \sin^3(y)) = \\ &= \underbrace{(2 - 8\alpha)xy}_{\substack{\alpha \text{ tal que} \\ 2 - 8\alpha = 0 \Rightarrow \alpha = \frac{1}{4}}} - \underbrace{2x \frac{y^3}{x^3}}_{\frac{y^3}{x^4}} - \underbrace{2\alpha y \frac{y^3}{y^4}}_{\frac{y^3}{y^4}} \end{aligned}$$

$$E_x f + E_y g = -2x^4 \left( \frac{\sin(x)}{x} \right)^3 - \frac{1}{2} y^4 \left( \frac{\sin(y)}{y} \right)^3$$

necesitamos que esto sea  $\leq$  que algo.

Pero  $\frac{\sin(u)}{u} \approx 1$  cerca de  $u=0 \Rightarrow$

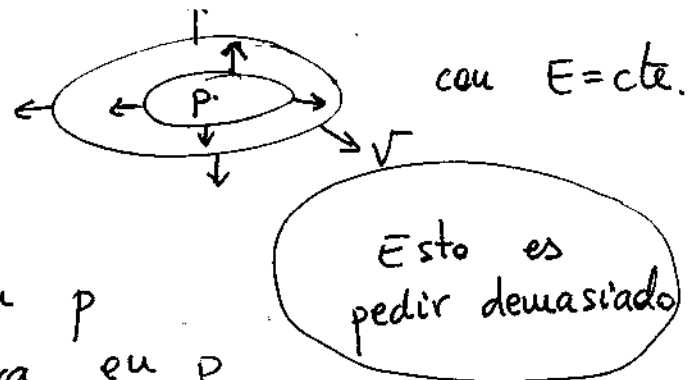
$$\Rightarrow E_x f + E_y g \leq -\underset{\substack{\uparrow \\ c < 0}}{c} (x^4 + y^4) \text{ definida negativa.}$$

$$E = x^2 + \frac{y^2}{4} \text{ porque } \alpha = \frac{1}{4}$$

La pregunta ahora es estimar el  $h$  más grande tal que el  $E \leq h$ ,  $E_x f + E_y g$  sea def. negativa.

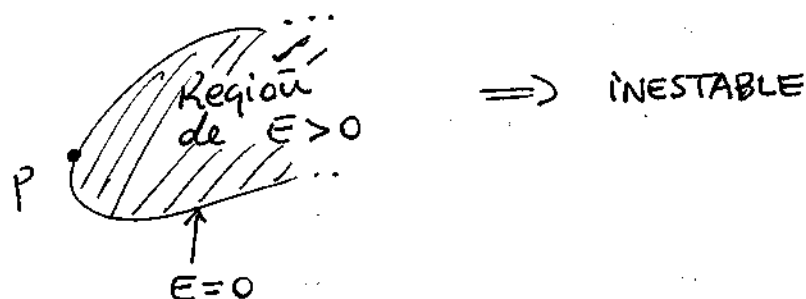
## Observaciones

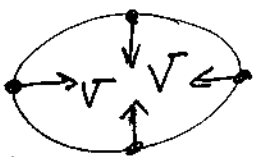
- ① Si el comportamiento es que el punto es inestable.



Hipótesis:  $E$  definida positiva en  $p$   
 $E_x f + E_y g$  definida positiva en  $p$   
 $\nabla E \cdot V > 0$

Bastaría:  $E \in C^1$   
 $E_x f + E_y g > 0$  en  $\mathbb{R}$



- ②  curva cerrada simple cualquiera tal que  $V = \begin{pmatrix} f \\ g \end{pmatrix}$  apunta hacia adentro, entonces las trayectorias que comienzan dentro permanecen dentro (no se pueden escapar).

# TRAYECTORIAS CERRADAS (es decir, soluciones periódicas)

$$(s) \quad \begin{cases} x' = f(x,y) \\ y' = g(x,y) \end{cases} \quad f, g \in C^1 \text{ en } \mathbb{R}^2 \text{ (en una bola) } \quad \text{Ⓢ}$$

## PROPOSICIÓN: (CRITERIO DE BENDIXSON)

Sea  $\Omega \subset \mathbb{R}^2$  abierto, convexo y simplemente conexo.

Si  $(f_x + g_y)(x,y) \neq 0 \quad \forall (x,y) \in \Omega$ .

Entonces no existe ninguna trayectoria cerrada de (s) que esté completamente contenida en  $\Omega$ .

demonstración (reducción al absurdo)

Supongamos que existe  $\leadsto C$

$$i) \int_{\Omega} (f_x + g_y) dx dy \neq 0$$



curva  
cerrada  
simple

Razón: •  $f_x + g_y$  continua

•  $\Omega$  convexo

•  $f_x + g_y$  no se anula en  $C$ .

Entonces  $f_x + g_y > 0$  en  $\Omega$  ( $< 0$  en  $\Omega$ ).

$$\Rightarrow \int_{\Omega} (f_x + g_y) dx dy > 0 \quad (< 0).$$

$$ii) \int_C (f dy - g dx) \stackrel{\text{simpl. conexo}}{=} \pm \int_{\Omega} (f_x + g_y) dx dy \neq 0, \text{ e.d.,}$$

$$\int_C (f dy - g dx) \neq 0.$$

$$iii) \int_C f dy - g dx = \int_0^T \underbrace{f(x(t), y(t))}_{\text{sol. (s)}} \underbrace{y'(t) dt}_{g(x(t), y(t))} - \int_0^T \underbrace{g(x(t), y(t))}_{\text{sol. (s)}} \underbrace{x'(t) dt}_{f(x(t), y(t))} =$$
$$= \int_0^T \underbrace{(fg - gf)}_0 dt = 0 \quad \text{contradicción}$$

Ejemplo: péndulo amortiguado

$$x'' = -\sin(x) - ax' \quad a > 0$$

Sistema:  $x' = y$   $y' = -\sin(x) - ay$

$f_x + g_y = -a < 0 \quad \checkmark$

Ejercicio: comprobar que el ej. 11 lista 7 lo cumple.

Comentario: se puede dar una versión del criterio más general (pero igual de difícil de aplicar)

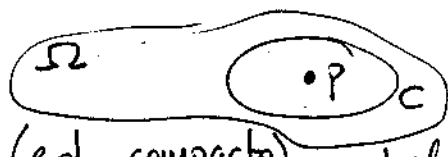
Si  $h(x,y)$  no se anula, las trayectorias de  $x' = f$  y  $y' = g$  son las mismas. (la edo  $\frac{dy}{dx} = \frac{hg}{hf} = g/f$ )

Eso quiere decir que en las condiciones del criterio si  $\exists h \in C^1$  que no se anula en  $\Omega$  y  $(hf)_x + (hg)_y$  tampoco se anula, entonces (s) no tiene trayectorias cerradas contenidas en  $\Omega$ .

### PROPOSICIÓN (POINCARÉ - BENDIXON):

Sean  $f, g \in C^1(\Omega)$ ,  $\Omega$  dominio (o región) en  $\mathbb{R}^2$  (abto., conexo)  
con  $(s) := \begin{cases} x' = f(x,y) \\ y' = g(x,y) \end{cases}$

a) Si  $\Omega$  es además simplemente conexo y  $C$  es una trayectoria cerrada contenida en  $\Omega$  entonces  $C$  "encierra" un punto crítico de (s).



b) Sea  $R \subset \Omega$  cerrado y acotado (e.d. compacto), tal que:

- $R$  no contiene puntos críticos de (s).
- Existe una trayectoria  $C$  que comienza en  $R$  y se mantiene en  $R$ . ( $(x(t), y(t))$  solución de (s) tal que  $(x(t), y(t)) \in R$  con  $t_0 \leq t \leq \infty$ ).

Entonces ocurre una de las siguientes cosas:

- $C$  es una trayectoria cerrada.

- $C$  converge en espiral a una trayectoria cerrada

En cualquier caso,  $\exists$  trayectoria cerrada.

Observación: forma habitual de intentar aplicar b):

Buscar  $R$  tal que



$$V = \begin{bmatrix} x \\ y \end{bmatrix}$$

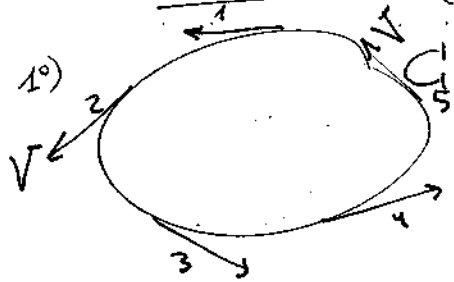
que  $V$  apunte hacia adentro.

← atrapa las trayectorias

demonstración (no muy formal)

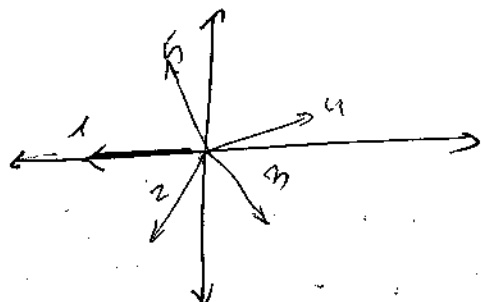
(A)

1°)

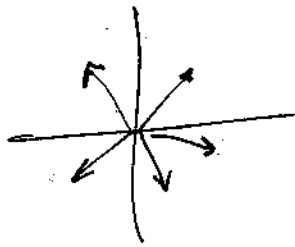


$V$  tangente a la trayectoria de  $C$  porque es solución.

Acaba dando una vuelta el vector tangente.



2°)



Sigue dando una vuelta si  $\odot$  está cerca de  $C$

Si no nos "topamos" con un punto crítico llegamos a esto  $\odot$

Por continuidad la cero vuel

Conclusión, tiene que haber un punto crítico.

(B) No demostrable con nuestros conocimientos.

## Ejemplos de Poincaré-Bendixon

$$\begin{aligned}x' &= 4x + 4y - x(x^2 + y^2) \\ y' &= -4x + 4y - y(x^2 + y^2)\end{aligned}$$

Ejercicio :  $(0,0)$  es el único punto crítico.

Tiene una trayectoria cerrada rodeando el  $(0,0)$

Vamos a intentar curvas  $x^2 + y^2 = r_0^2$  (e.d. círculos)

$$\rightarrow \vec{v} = \begin{bmatrix} x \\ y \end{bmatrix} \quad \vec{v} \cdot \vec{v} = \dots = 4x^2 + 4y^2 - (x^2 + y^2)^2 = 4r^2 - r^4$$

$\parallel$   
 $x^2 + y^2$  con  $r^2 = x^2 + y^2$

$$\Rightarrow \vec{v} \cdot \vec{v} = r^2(4 - r^2) \begin{cases} < 0 & \text{si } r^2 > 4 \Rightarrow r > 2 \\ > 0 & \text{si } r^2 < 4 \Rightarrow r < 2 \end{cases}$$

$\left( \begin{array}{l} \text{elegido a ojo} \\ r_0 = 3/2 \end{array} \right) \rightarrow \vec{v} \cdot \vec{v} > 0 \rightarrow \vec{v} \text{ apunta al exterior.}$   
(cualquier cosa  $< 2$ )

$r_0 = 5/2 \rightarrow \vec{v} \cdot \vec{v} < 0 \rightarrow \vec{v} \text{ apunta al interior}$

Entonces existe una trayectoria cerrada en

$$R = \{(x,y) : \frac{9}{4} < x^2 + y^2 < \frac{25}{4}\}$$

Comentario: para esto No se necesita P-B, 'se ve' por el cálculo anterior que  $r=2$  es una trayectoria cerrada, de hecho,  $\vec{v} \cdot \vec{v} = 0$  en ella.

$$\checkmark \text{ En polares el sistema es: } \begin{cases} r' = r(4 - r^2) \rightarrow r=2 \\ \theta' = 4 \rightarrow \theta \text{ va de } \infty \text{ a } -\infty \end{cases}$$

$\checkmark$  Recordatorio para pasar a polares:

$$\begin{aligned}r r' &= x x' + y y' \\ r^2 \theta' &= x y' - y x'\end{aligned} \quad \left( \begin{array}{l} \text{y sustit. por } x = r \cos \\ y = r \sin \\ \text{después} \end{array} \right)$$



$$(2) \quad x' = y + \frac{x}{4}(1 - 2(x^2 + y^2))$$

$$y' = -x + \frac{y}{2}(1 - (x^2 + y^2))$$

Ejercicio: ver que  $(0,0)$  es el único punto crítico

Demostrar que tiene una trayectoria (solución) cerrada, es decir, solución periódica.

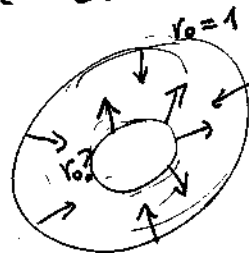
Probamos con círculos:  $x^2 + y^2 = r_0^2$

$$V = \begin{bmatrix} x \\ y \end{bmatrix}, \quad r \cdot V = x f + y g = \frac{x^2}{4}(1 - 2r^2) + \frac{y^2}{2}(1 - r^2)$$

$$C = \frac{r^2 \cos^2 \theta}{4}(1 - 2r^2) + \frac{r^2 \sin^2 \theta}{2}(1 - r^2)$$

Si elegimos  $r_0 > 1$ , entonces  $\underbrace{\frac{x^2}{4}(1 - 2r^2)}_{< 0} + \underbrace{\frac{y^2}{2}(1 - r^2)}_{< 0} < 0$

pues si  $x^2 + y^2 = r_0^2 > 1$ , no pueden anularse a la vez  $x$  e  $y$ , e.d., uno de los dos términos en  $\frac{x^2}{4}(1 - 2r^2) + \frac{y^2}{2}(1 - r^2)$  es  $< 0$  (y el otro  $\leq 0$ )



Ahora necesitamos  $r_0 < 1$  tal que  $r \cdot V > 0$

en  $x^2 + y^2 = r_0^2$ .  $\xrightarrow{\text{esto implica}} 1 - 2r_0^2 > 0$  y  $\xrightarrow{\text{esto}} 1 - r_0^2 > 0 \Rightarrow r_0 = \frac{1}{\sqrt{2}}$

Con  $r_0$  tal que  $1 - 2r_0^2 > 0$  y  $1 - r_0^2 > 0 \Rightarrow r_0 = \frac{1}{\sqrt{2}}$

Hay una trayectoria cerrada en  $R_\varepsilon = \{(x,y) : \frac{1}{\sqrt{2}} - \varepsilon < \sqrt{x^2 + y^2} < \frac{1}{\sqrt{2}} + \varepsilon\}$

( $\Rightarrow$ ) trayectoria cerrada en  $R = \{(x,y) : \frac{1}{\sqrt{2}} \leq x^2 + y^2 \leq 1\}$

Ayer:  $x' = y + \frac{x}{4}(1 - 2(x^2 + y^2))$

$$y' = -x + \frac{y}{2}(1 - (x^2 + y^2))$$

Trayectoria cerrada en  $R = \{(x,y) : \frac{1}{2} \leq x^2 + y^2 \leq 1\}$

(0,0) es el único punto crítico. i) ¿De qué tipo es?

SL) como estamos cerca del (0,0)  $\begin{cases} x' = y + \frac{x}{4} \\ y' = -x + \frac{y}{2} \end{cases}$  (el resto de los términos son de grado  $\geq 2$ )

Autovalores:

$$\begin{pmatrix} 1/4 & 1 \\ -1 & 1/2 \end{pmatrix} \quad \left(\frac{1}{4} - \lambda\right)\left(\frac{1}{2} - \lambda\right) + 1 = 0 \Rightarrow \lambda^2 - \frac{3}{4}\lambda + \frac{9}{8} = 0$$

$$\lambda = \frac{\frac{3}{4} \pm \sqrt{\left(\frac{3}{4}\right)^2 - 4 \cdot \frac{9}{8}}}{2} = \frac{3}{8} \pm \sqrt{-\frac{7}{8}} = \alpha \pm i\beta \quad \alpha > 0$$

→ espiral inestable

ii) ¿Qué pasa dentro y fuera? Recordemos:  $r^2 = x^2 + y^2$   
 $\theta = \arctan \frac{y}{x}$

Derivando el recuadro  $\rightarrow$   $\begin{cases} rr' = xx' + yy' \\ r^2\theta' = xy' - yx' \end{cases} \Rightarrow$

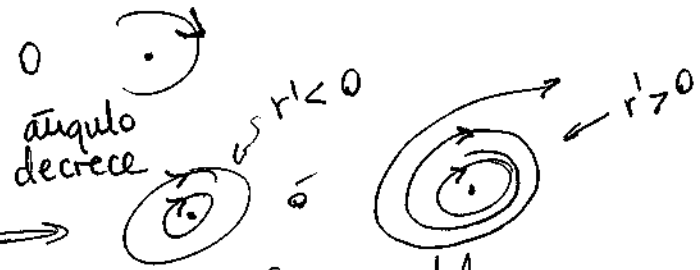
$$\Rightarrow \begin{cases} rr' = \dots = \frac{x^2}{4}(1 - 2r^2) + \frac{y^2}{2}(1 - r^2) = \frac{r^2 \cos^2 \theta}{4}(1 - 2r^2) + \\ + \frac{r^2 \sin^2 \theta}{2}(1 - r^2) \Rightarrow r' = \frac{r \cos^2 \theta}{4}(1 - 2r^2) + \frac{r \sin^2 \theta}{2}(1 - r^2) \end{cases}$$

$$\begin{cases} r^2\theta' = -(x^2 + y^2) + \frac{xy}{2}(1 - r^2) - \frac{xy}{4}(1 - r^2) \Rightarrow \\ \Rightarrow \theta' = -1 + \frac{\sin \theta \cos \theta}{4}(2(1 - r^2) - (1 - 2r^2)) = -1 + \frac{\sin \theta \cos \theta}{4} = \\ = -1 + \frac{\sin 2\theta}{8} \end{cases}$$

observación: a) de aquí se puede ver que no hay más puntos críticos porque  $\theta' \neq 0$  no se anula.

b) Como  $\theta' \leq -7/8 \Rightarrow$  como  $\theta' < 0$

Como  $\theta' \leq -7/8 < 0 \Rightarrow \Rightarrow \theta$  va de  $\infty$  a  $-\infty$ .



\* Con polares los argumentos solo valen fuera del origen.

Si  $r > 1 \leadsto r' < 0$   
 $1 - r^2 < 0$   
 $1 - 2r^2 < 0$

Ejemplo



En polares: 
$$\begin{cases} r' = r(1-r^2) [r^2 \sin^2 \theta + (r^2 \cos^2 \theta - 1)^2] \\ \theta' = r^2 \sin^2 \theta + (r^2 \cos^2 \theta - 1)^2 \end{cases}$$

Puntos críticos (ignorando el  $(0,0)$ ) corresponde a  $\begin{cases} r' = 0 \\ \theta' = 0 \end{cases} \rightarrow \underline{r=1}$

Si  $r=1: F=0$

$G=0 \Leftrightarrow r^2 \sin^2 \theta + (r^2 \cos^2 \theta - 1)^2 = 0 \Leftrightarrow$   
 $\Leftrightarrow \begin{cases} r \sin \theta = 0 \rightarrow \theta = n\pi \Rightarrow \cos \theta = \pm 1 \\ r^2 \cos^2 \theta = 1 \Rightarrow r=1 \end{cases}$

$\Rightarrow$  puntos críticos  $(-1,0), (0,1)$  (y el  $(0,0)$ )

Afirmación:  $r=1, 0 < \theta < \pi$  es trayectoria

$r=1 \rightarrow r'=0 \rightarrow$  se cumple la 1ª ecuación

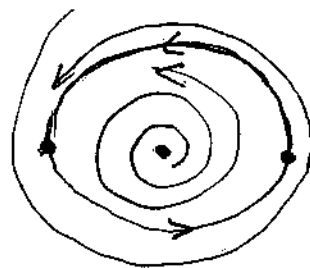
$\theta' = \overset{r=1}{\downarrow} \sin^2 \theta + \overset{1-r^2}{\uparrow} (\cos^2 \theta - 1)^2 \rightarrow$  ¿corresponde a una solución que va de 0 a  $\pi$ ?

$\theta(t) \rightarrow \begin{cases} 0 & \text{cuando } t \rightarrow -\infty \\ \pi & \text{cuando } t \rightarrow +\infty \end{cases}$

Ejemplo:

$$r' = r(1-r^2)(r^2 \sin^2 \theta + (r^2 \cos^2 \theta - 1)^2)$$

$$\theta' = r^2 \sin^2(\theta) + (r^2 \cos^2 \theta - 1)^2$$



① En cartesianas  $(x, y)$ :

$$x' = [x(1 - (x^2 + y^2)) - y][y^2 + (x^2 - 1)^2]$$

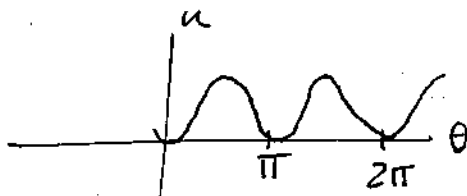
$$y' = [y(1 - (x^2 + y^2)) + x][y^2 + (x^2 - 1)^2]$$

② Puntos críticos:  $(0,0)$ ,  $(-1,0)$ ,  $(1,0)$

③ Trayectorias con  $r(t) \equiv 1$ .

i)  $r(t) \equiv 1 \Rightarrow \underbrace{r'}_0 = \underbrace{r(1-r^2)}_0 (\dots)$  se satisface

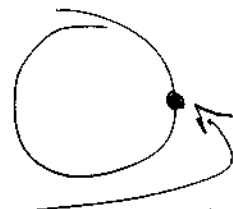
ii)  $r(t) \equiv 1$ , la ecuación para  $\theta(t)$  es  $\theta' = \sin^2 \theta + (\cos^2 \theta - 1)^2$  (eq)  
Con cualquier solución de esa ecuación obtenemos una trayectoria



$$\sin^2 \theta + (\cos^2 \theta - 1)^2 = 0 \Leftrightarrow \begin{cases} \sin^2 \theta = 0 \text{ y } \cos^2 \theta - 1 = 0 \end{cases} \Leftrightarrow \sin \theta = 0$$

1º)  $\theta(t) \equiv 0$  es solución

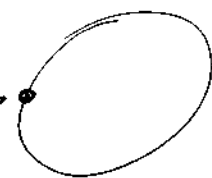
$r(t) \equiv 1$   
 $\theta(t) \equiv 0$  nos da de solución esta



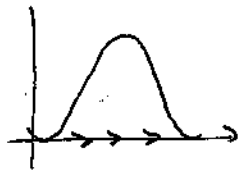
(la trayectoria es el pto. crítico  $(1,0)$ )

2º)  $\theta(t) \equiv \pi$

$r(t) \equiv 1$   
 $\theta(t) \equiv \pi$  nos da el pto. equilibrio  $(-1,0) \rightarrow$



3<sup>o</sup>)  $\theta_1(t)$  sol. de (ECB) con  $\theta_1: (-\infty, \infty) \rightarrow \mathbb{R}$  definida en todo  $\mathbb{R}$  por el "resultado básico de prolongabilidad".



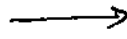
$\theta_1$  crece (estrict.)  $(\theta_1'(t) = \sin^2 \theta_1(t) + (\cos^2 \theta_1(t) - 1)^2 > 0$

$$\theta_1(-\infty) = 0$$

$$\theta_1(\infty) = \pi$$

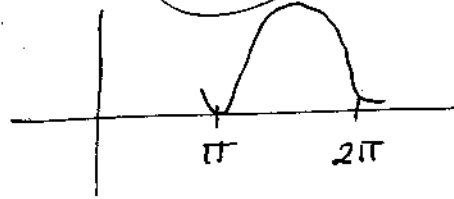
$$r(t) \equiv 1$$

$$\theta(t) \equiv \theta_1(t)$$



4<sup>o</sup>) Lo mismo con  $\theta_2(t)$

$$\theta_2(-\infty) = \pi, \quad \theta_2(\infty) = 2\pi$$



iii) Las trayectorias exteriores al "policiclo" convergen en espiral al policiclo cuando  $t \rightarrow \infty$ .



Razón: • necesitamos ver que  $r(t) \rightarrow 1$  (si  $r(0) > 1$ )  
• necesitamos también ver que  $\theta(t) \xrightarrow{t \rightarrow \infty} \infty$

Observación:  $r^2 \sin^2 \theta + (r^2 \cos^2 \theta - 1)^2 > 0$  si  $r > 1$

(Si  $r^2 \sin^2 \theta = 0 \Rightarrow \cos^2 = 1 \Rightarrow r^2 \cos^2 \theta - 1 > 0$ )

Consecuencia: Como  $\theta'(t) = r^2 \sin^2 \theta(t) + (r^2 \cos^2 \theta(t) - 1)^2$  entonces  $\theta(t)$  crece, y como  $r' = r(1 - r^2)$  entonces  $r(t)$  decrece

Eso garantiza que  $r(t)$  converge cuando  $t \rightarrow \infty$ .  
 $\theta(t)$  converge cuando  $t \rightarrow \infty$

Afirmación:  $\lim_{t \rightarrow \infty} r(t) = 1$ ;  $\lim_{t \rightarrow \infty} \theta(t) = \infty$

demostración: mientras  $r(t) > 1$ , se tiene  $r'(t) < 0 \Rightarrow$   
 $\Rightarrow$  sigue decreciendo

La EDO de las trayectorias en polares es:

$$\frac{d\theta}{dr} = \frac{\theta'}{r'} = \frac{1}{r(1-r^2)}$$

## Ejemplo: péndulo amortiguado

$$x'' = -\sin(x) - ax' \quad a > 0 \text{ pequeño}$$

$a=0$  es el péndulo ordinario

$$x' = y$$

$$y' = -\sin(x) - ay$$

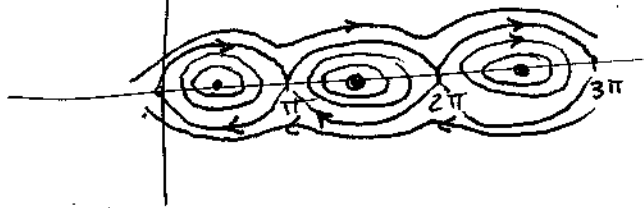
Recordatorio:  $a=0$

potencial

$$x'' = f(x) \longrightarrow V(x) \text{ tal que } V' = -f$$

$$\text{trayectorias: } \frac{y^2}{2} + V(x) = \text{cte.}$$

péndulo  $V = -\cos(x)$ , por ejemplo puntos críticos  $(n\pi, 0)$



Observación:  $E(x, y) = \frac{y^2}{2} + 1 - \cos(x)$  es una función de Lyapunov para  $(0, 0)$  ( $\leadsto (2K\pi, 0)$ )

### 1. Puntos críticos:

$$y=0 \longrightarrow -\sin(x) - ay = 0 \Rightarrow \sin(x) \Rightarrow x = n\pi \quad n \in \mathbb{Z}$$
$$\boxed{(n\pi, 0), n \in \mathbb{Z}}$$

Aproximación lineal cerca de  $(n\pi, 0)$ :

$$\begin{pmatrix} 0 & 1 \\ (-1)^{n+1} & -a \end{pmatrix}$$

$\uparrow$   
 $-\cos(n\pi)$

• Si  $n$  es par:  $\begin{pmatrix} 0 & -1 \\ -1 & -a \end{pmatrix} \rightarrow \text{autovalores:}$

$$(-\lambda)(-a-\lambda)+1=0$$

$$\lambda^2 + a\lambda + 1 = 0 \Rightarrow$$

$$\Rightarrow \lambda = \frac{-a \pm \sqrt{a^2 - 4}}{2}$$

$$\text{Si } a < 2 \rightarrow \frac{-a \pm i\sqrt{4-a^2}}{2}$$

( $a$  pequeño)

espiral estable

$$\bullet \text{ Si } n \text{ es impar: } \lambda = \frac{-a \pm \sqrt{a^2 + 4}}{2} \rightarrow \begin{matrix} \text{uno } \oplus \\ \text{uno } \ominus \end{matrix} \Rightarrow$$

$\Rightarrow$  punto de silla

2. Consideramos:  $E(x, y) = \frac{y^2}{2} + 1 - \cos(x)$

$E(0, 0) = E(2K\pi, 0) = 0$  y positiva cerca de estos puntos.

Sea  $(x(t), y(t))$  una solución para (PA)  $\rightarrow$  péndulo amortiguado  
 $e(t) \stackrel{\text{def.}}{=} E(x(t), y(t))$

$$e'(t) = E_x x' + E_y y' = \underbrace{-\alpha y(t)^2}_{\leq 0} \quad \text{y} \quad < 0 \text{ si } y(t) \neq 0$$

3. Supongamos que  $(x(t), y(t))$  no corresponde a una trayectoria de equilibrio  $\begin{pmatrix} x(t) \equiv n\pi \\ y(t) \equiv 0 \end{pmatrix}$

Entonces  $(x(t), y(t)) \neq (n\pi, 0) \quad \forall t \quad \forall n \in \mathbb{Z}$ .

(Razón: trayectorias disjuntas)

Afirmación:  $e(t) \searrow$  para todo  $t < \infty$ .

Razón: si  $y(t) = 0$  en algún instante, como  $x(t_0) \neq n\pi \quad \forall n \in \mathbb{Z}$ .

$$V = \begin{bmatrix} 0 \\ -\sin(x(t_0)) \\ 0 \end{bmatrix} \neq \begin{bmatrix} 0 \\ 0 \\ 0 \end{bmatrix} \quad \uparrow \downarrow$$

$y(t)$  vuelve a ser  $\neq 0$   
para todo  $t_0 < t < t_0 + \varepsilon \Rightarrow$   
 $\Rightarrow e(t)$  vuelve a decrecer.

Consecuencia  $y(t) \xrightarrow{t \rightarrow \infty} 0$  porque  $e(t) \searrow$  y  $y \geq 0 \Rightarrow$

$$\Rightarrow e(t) \searrow c \Rightarrow e'(t) \rightarrow 0.$$

"  
 $-\alpha y(t)^2$

4.  $x(t) \xrightarrow{t \rightarrow \infty} \hat{c}$  Razón:  $e(t) = \frac{y(t)^2}{2} + 1 - \cos(x(t)) \searrow c$

Entonces  $\cos(x(t)) \xrightarrow{t \rightarrow \infty} 1 - c \Rightarrow x(t) \rightarrow \hat{c}$ .

$$5. \quad x'(t) = y(t) \xrightarrow{t \rightarrow \infty} 0$$

$$y'(t) = -\underset{\substack{\downarrow \\ -\sin(\hat{c})}}{\sin(x(t))} - a \underset{\substack{\downarrow t \rightarrow \infty \\ 0}}{y(t)}$$

$$\sin(\hat{c}) = 0 \Rightarrow \hat{c} = n\pi, n \in \mathbb{Z}$$

$$\Rightarrow (x(t), y(t)) \longrightarrow (n\pi, 0)$$